

ՀԱՅԱՍՏԱՆԻ ԳԵՏՈՒԹՅՈՒՆՆԵՐԻ ԱԶԳԱՅԻ ԱԿԱԴԵՄԻ
НАЦИОНАЛЬНАЯ АКАДЕМИЯ НАУК АРМЕНИИ
NATIONAL ACADEMY OF SCIENCE OF ARMENIA

ISSN 0321-1339

*ԶԵԿՈՒՅՑ ՆԵՐ
ДОКЛАДЫ
REPORTS*

Համար
Том
Volume

121 № 4

Ереван

2021
Երևան

Yerevan

ANNE 199

ՀԱՅԱՍՏԱՆԻ ՀԱՆՐԱՊԵՏՈՒԹՅԱՆ ԳԻՏՈՒԹՅՈՒՆՆԵՐԻ ԱԶԳԱՅԻՆ ԱԿԱԴԵՄԻԱ

ՀԵԿՈՒՅՑՆԵՐ

LUSNR 121

№ 4



«ԳԱԱ «ԳԻՏՈՒԹՅՈՒՆ» ՀՐԱՏԱՐԱԿՉՈՒԹՅՈՒՆ
ԵՐԵՎԱՆ 2021

НАЦИОНАЛЬНАЯ АКАДЕМИЯ НАУК РЕСПУБЛИКИ АРМЕНИЯ
NATIONAL ACADEMY OF SCIENCES OF ARMENIA

ДОКЛАДЫ
REPORTS

ТОМ 121
VOLUME

№ 4

ИЗДАТЕЛЬСТВО "ГИТУТЮН" НАН РА
ЕРЕВАН 2021

Հիմնադրվել է 1944 թ.: Լույս է տեսնում տարին 4 անգամ

Основан в 1944 г. Выходит 4 раза в год

Founded in 1944. Published quarterly

Գլխավոր խմբագիր՝ ակադեմիկոս Ռ. Ս. ՄԱՐՏԻՐՈՍՅԱՆ

Խմբագրական խորհուրդ՝ ակադեմիկոս Գ. Ե. ԲԱՐԴԱՌՅԱՆ, ակադեմիկոս Վ. Ս. ԶԱԿԱՐՅԱՆ, ակադեմիկոս Լ. Ա. ԹԱՎԱԴՅԱՆ, ՀՀ ԳԱԱ քղբ. անդամ Ռ. Ս. ՇՈՒԿՈՒՐՅԱՆ, ակադեմիկոս Է. Մ. ԿԱԶԱՐՅԱՆ, ՀՀ ԳԱԱ քղբակից անդամ Լ. Ռ. ՄԱՆՎԵԼՅԱՆ (գլխ. խմբագրի տեղակալ), ակադեմիկոս Յու. Շ. ՇՈՒԿՈՒՐՅԱՆ, Գ.Ա.ԱԲՐԱՀԱՄՅԱՆ (պատ. քարտուղար)

Главный редактор академик Р. М. МАРТИРОСЯН

Редакционная коллегия: чл.-кор. НАН РА Р. М. АРУТИОНИАН, академик Г. Е. БАГДАСАРЯН, академик В. С. ЗАХАРЯН, академик Э. М. КАЗАРЯН, чл.-кор. НАН РА Л. Р. МАНВЕЛЯН (зам. главного редактора), академик Л. А. ТАВАДЯН, академик Ю. Г. ШУКУРЯН, Г. А. АБРАХАМЯН (отв. секретарь)

Editor-in-chief academician R. M. MARTIROSYAN

Editorial Board: corresponding member of NAS RA R. M. AROUTIUNIAN, academician G. E. BAGDASARIAN, academician E. M. KAZARYAN, corresponding member of NAS RA L. R. MANVELYAN (associate editor), academician Yu. H. SHOUKOURIAN, academician L. A. TAVADYAN, academician V. S. ZAKARYAN, G. A. ABRAHAMYAN (executive secretary)

Խմբագրության հասցեն՝ 0019, Երևան 19, Մարշալ Բագրամյան պող. 24գ

Адрес редакции: 0019, Ереван 19, просп. Маршала Баграмяна 24г

Communication links: address – 24g Marshal Bagramian Ave., Yerevan, 0019, Armenia

Phone:(37410)56-80-67 URL:<http://elib.sci.am> e-mail: rnas@sci.am

© НАН РА. Президиум. 2021

© Издательство “Гитутюн”

НАН РА. 2021

Հայաստանի ԳԱԱ Զեկույցներ

Հատոր 121, N 4 2021

Հրատ. պատվեր N 1116

Խմբագրումը և սրբագրումը՝
Ա.Ապիյան, Ա. Մահակյան

Համակարգչային էջադրումը՝ Վ. Պապյանի

Ստորագրված է տպագրության
03.09.2021

Ծավալը՝ 5,25 տպ. մամուչ: Տպաքանակը՝ 150: Գինը՝ պայմանագրային:
ՀՀ ԳԱԱ «Գիտություն» իրատարակչության տպարան
Երևան, Մարշալ Բաղրամյան պող. 24

ԲՈՎԱՆԴԱԿՈՒԹՅՈՒՆ

ՍԱԹԵՄԱՏԻԿԱ

Հ. Ս. Գրիգորյան, Ա. Հ. Քամայան, Գ. Ա. Կիրակոսյան – Կտոր առ կտոր անընդհատ մատրիցային սիմվոլով Հ-վիներ – Հոպֆի օպերատորները աստիճանային կշռով լիբեզյան տարածություններում	259
---	-----

ՄԵԽԱՆԻԿԱ

Ս. Ս. Միկրարյան – Անսեղմելի մածուցիկ հերուկով լցված կիսահարթության համար Լամքի տիպի խնդրի լուծման մասին	267
---	-----

ԱՌԱՋԱԿԱՆՈՒԹՅԱՆ ՏԵՍՈՒԹՅՈՒՆ

Լ. Ա. Աղալովյան, Մ. Լ. Աղալովյան, Տ. Վ. Զարարյան – Կոշտ հենարանի վրա դրված երկշերտ օրթոտրոպ սալի եռաչափ դինամիկական խառը խնդրի լուծման մասին	279
--	-----

ԿԵՆՍԱԲԱՆՈՒԹՅՈՒՆ

Մ. Կ. Զախարյան, Կ. Ա. Ավետիկովա, Զ. Հ. Գեկորյան, Ա. Մ. Մեղրակյան – Հայաստանում հիվանդներից անջատված ոչ տիֆոնիդ սամլնելաների իզույամների արտազատման պոմպերը	288
--	-----

ԲՆԱՊԱՀՊԱՆՈՒԹՅՈՒՆ

Ռ. Մ. Հարությունյան, Ռ. Ե. Ավայան, Ա. Լ. Արթյանց, Է. Ա. Աղաջանյան, Բ. Կ. Գարրիելյան – Սևանա լճից ջրի նմուշների կենսաթեսավորում ջրի ծաղկման ժամանակ և ցեղլիտով մշակումից հետո մողելային թեստ օրյեկտի կիրառմամբ	294
---	-----

ԲՈՒՍԱԲԱՆՈՒԹՅՈՒՆ

Ժ. Ա. Հակոբյան, Ա. Գ. Ղուկասյան, Ժ. Հ. Հովակիմյան – Արարատյան հարթավայրի ռելիկտային աղակալած ձահիճների պահպանման խնդիրները և էկոլոգաֆիտոցենոտիկ գնահատականը	302
---	-----

Ժ. Հ. Վարդանյան, Ն. Ն. Սուրարյան, Ա. Ա. Գրիգորյան – Ցեղային կոմալերսի մեթոդով դենդրոհավաքածուների ստեղծման առանձնահատկությունները և դրանց հետագա հարստացման հեռանկարները Հայաստանի բուսաբանական այգիներում	310
---	-----

Ժ. Հ. Հովակիմյան, Գ. Մ. Ֆայվուշ, Ժ. Հ. Վարդանյան – Հայաստանի դենդրոֆլորայի որոշ հազվագյուտ ռելիկտային ներկայացուցիչների էկոլոգիական հարմարվողականությունը <i>in situ</i> և <i>ex situ</i> պայմաններում	321
--	-----

Ա. Մ. Հայրապետյան, Ա. Հ. Սուրարյան – Նոր տվյալներ Հայաստանի ֆլորայի (Iridaceae) <i>Gladiolus kotschyanus</i> Boiss ծաղկափոշու մորֆոլոգիայի վերաբերյալ	333
---	-----

ՖԻԶԻՈԼՈԳԻԱ

Տ. Կ. Հարությունյան – Բազոլատերալ ամիգրալի նեյրոններում գրգիչ և արգելակիչ սինապտիկ գործընթացների հարաբերակցությունը ինֆրալիմքիկ կեղսի ակտիվացման պայմաններում	340
---	-----

ԲԱՆԱՐԾՈՒԹՅՈՒՆ

Ա. Մ. Մահակյան – Ազաթանգեղոսի խմբագրությունների տիպաբանություն	346
--	-----

СОДЕРЖАНИЕ

МАТЕМАТИКА

- Г. С. Григорян, А. Г. Камалян, Г. А. Киракосян – Операторы \mathcal{L} -Винера–Хопфа с кусочно-непрерывным матричным символом в лебеговых пространствах со степенным весом* 259

МЕХАНИКА

- С. М. Мхитарян – О решении плоской задачи типа Ламба для полуплоскости, заполненной несжимаемой вязкой жидкостью* 267

ТЕОРИЯ УПРУГОСТИ

- Л. А. Агаловян, М. Л. Агаловян, Т. В. Закарян – О решении трёхмерной динамической смешанной задачи двухслойных ортотропных пластин, лежащих на жесткой подстилке* 279

БИОЛОГИЯ

- М. К. Захарян, К. А. Аветикова, З. У. Геворгян, А. М. Седракян – Эффлюкс системы изолятов нетифоидных сальмонелл, выделенных от больных в Армении* 288

ЭКОЛОГИЯ

- Р. М. Арутюнян, Р. Э. Авалин, А. Л. Атоянц, Э. А. Агаджанян, Б. К. Габриелян – Биотестируние водных проб оз. Севан в период цветения воды и после обработки цеолитом с применением модельного тест-объекта* 294

БОТАНИКА

- Ж. А. Акопян, А. Г. Гукасян, Ж. О. Овакимян – Эколого-фитоценотическая оценка и задачи сохранения реликтовых засоленных болот Араатской равнины* 302

- Ж. А. Варданян, Н. Н. Мурадян, А. А. Григорян – Особенности создания дендроколлекций методом родовых комплексов в ботанических садах Армении и перспективы дальнейшего их обогащения* 310

- Ж. О. Овакимян, Г. М. Файущ, Ж. А. Варданян – Экологическая приспособляемость некоторых редких реликтовых представителей дендрофлоры Армении в условиях *in situ* и *ex situ** 321

- А. М. Айрапетян, А. Г. Мурадян – Новые данные к морфологии пыльцы *Gladiolus kotschyanus* Boiss. (Iridaceae) флоры Армении* 333

ФИЗИОЛОГИЯ

- Т. К. Арутюнян – Соотношение возбудительных и тормозных синаптических процессов в нейронах базолатеральной амигдалы при активации инфрагиппокампальной коры* 340

ФИЛОЛОГИЯ

- А. С. Саакян – Типология редакций Агафангела* 346

C O N T E N T S

MATHEMATICS

- H. S. Grigoryan, A. G. Kamalyan, G. A. Kirakosyan – \mathcal{L} -Wiener – Hopf Operators with Piecewise Continuous Matrix-Valued Symbol on Lebesgue Spaces with Power Weight* 259

MECHANICS

- S. M. Mkhitaryan – On Solving a Plane Lamb-Type Problem for a Half-Plane Filled with an Incompressible Viscous Fluid* 267

ELASTICITY THEORY

- L. A. Aghalovyan, M. L. Aghalovyan, T. V. Zakaryan – On the Solution of the Three-Dimensional Dynamic Mixed Problem of Two-Layer Orthotropic Plates Lying on a Rigid Litter* 279

BIOLOGY

- M. K. Zakharyan, K. A. Arakelova, Z. U. Gevorgyan, A. M. Sedrakyan – Efflux Pumps in Non-Typhoidal Salmonella Isolates Recovered from Patients in Armenia* 288

ECOLOGY

- R. M. Aroutiounian, R. E. Aalyan, A. L. Atoyan, E. A. Agajhanyan, B. K. Gabrielyan – Biotoxins of Water Samples from Lake Sevan during Water Bloom and after Treatment with Zeolite Using a Model Test Object* 294

BOTANY

- J. A. Akopian, A. G. Ghukasyan, Zh. H. Hovakimyan – Ecological-Phytocenotic Assessment and the Issues of Conservation of the Ararat Valley Relic Salt Marshes* 302
Zh. H. Vardanyan, N. N. Muradyan, A. A. Grigoryan – Features of Creating Dendrological Collections by the Method of Generic Complexes in the Botanical Gardens of Armenia and Prospects for Further Their Enrichment 310
*Zh. H. Hovakimyan, G. M. Fayush, Zh. H. Vardanyan – Ecological Adaptability of Some Rare Relict Representatives of Armenian Dendroflora in *in situ* and *ex situ* Conditions ...* 321
*A. M. Hayrapetyan, A. H. Muradyan – New Data to the Pollen Morphology of *Gladiolus kotschyanus* Boiss. (Iridaceae) of the Flora of Armenia* 333

PHYSIOLOGY

- T. K. Harutyunyan – The Ratio of Excitable and Inhibitory Synaptic Processes in Basolateral Amygdala Neurons by Activation of Infralimbic Cortex.....* 340

PHYLOGENY

- A. S. Sahakyan – Typology of Editions of Agathangelos* 346

МАТЕМАТИКА

УДК 517.9

Г. С. Григорян¹, А. Г. Камалян², Г. А. Киракосян³

Операторы \mathcal{L} -Винера – Хопфа с кусочно-непрерывным матричным символом в лебеговых пространствах со степенным весом

(Представлено академиком А. Б. Нерсесяном 4/X 2021)

Ключевые слова: безотражательный потенциал, оператор \mathcal{L} -Винера – Хопфа, матричный символ, оператор Фредгольма.

1. Введение. Понятия операторов \mathcal{L} -свертки и \mathcal{L} -Винера – Хопфа введены в [1]. В основе определения этих операторов лежит понятие спектрального преобразования оператора \mathcal{L} , самосопряженного в $L_2(\mathbb{R})$ и порожденного дифференциальным выражением

$$(\ell y)(x) = -y''(x) + \nu(x)y(x), \quad x \in \mathbb{R}, \quad (1.1)$$

где

$$\int_{-\infty}^{\infty} (1 + |x|)\nu(x)dx < \infty. \quad (1.2)$$

Операторы \mathcal{L} -свертки и \mathcal{L} -Винера – Хопфа в случае нулевого потенциала совпадают с классическими оператором свертки и оператором Винера – Хопфа. Для потенциалов $\nu \neq 0$ наиболее простую структуру операторы \mathcal{L} -Винера – Хопфа имеют, когда ν является безотражательным потенциалом, т.е. имеет представление

$$\nu(x) = -2 \frac{d^2}{dx^2} (\ln \Delta(x)), \quad (1.3)$$

где

$$\Delta(x) = \det \left[\delta_{ij} + \frac{m_i \exp(-(\lambda_i + \lambda_j)x)}{\lambda_i + \lambda_j} \right]_{i,j=1,\dots,N}, \quad (1.4)$$

δ_{ij} – символ Кронекера, λ_k , m_k ($k = 1, \dots, N$) – положительные числа, причем $\lambda_k \neq \lambda_j$ при $i \neq j$. В [2-5] изучены свойства фредгольмовости, полуфредгольмовости и обратимости операторов \mathcal{L} -Винера – Хопфа в случае безотражательного потенциала. Оператор $A: X \rightarrow Y$, где X, Y – банаховы пространства, называется фредгольмовым, если его образ замкнут (т.е. $\text{Im } A = \overline{\text{Im } A}$) и конечномерны его ядро $\ker A := \{x \in X; Ax = 0\}$ и коядро $\text{Coker } A := \frac{Y}{\text{Im } A}$. Число $\text{Ind } A := \dim \ker A - \dim \text{Coker } A$ называется индексом оператора A .

Ниже для линейного пространства (алгебры) X через X^n ($X^{n \times n}$) обозначается множество всех вектор-столбцов порядка n (матриц порядка $n \times n$) с элементами из X . Для линейного оператора $A: X \rightarrow Y$ (X, Y – линейные пространства) оператор $\text{diag}(A, \dots, A): X^n \rightarrow Y^n$ также будем обозначать через A . Через $m(a)$ будем обозначать действующий в функциональных пространствах оператор умножения на функцию (матриц-функцию) $a: m(a)y = ay$. Пусть $\dot{\mathbb{R}} = \mathbb{R} \cup \{\infty\}$ и $\bar{\mathbb{R}} = \mathbb{R} \cup \{\pm\infty\}$ соответственно одноточечная и двухточечная компактификации \mathbb{R} . Через $PC := PC(\mathbb{R})$ будем обозначать алгебру кусочно-непрерывных функций на $\dot{\mathbb{R}}$, т.е. функций a , для которых в каждой точке $x_0 \in \dot{\mathbb{R}}$ существуют пределы $a(x_0 - 0) := \lim_{x \rightarrow x_0 - 0} a(x)$, $a(x_0 + 0) := \lim_{x \rightarrow x_0 + 0} a(x)$, причем $a(\infty - 0) := a(+\infty) = \lim_{x \rightarrow +\infty} a(x)$, $a(\infty + 0) := a(-\infty) = \lim_{x \rightarrow -\infty} a(x)$.

Пусть ρ – степенной вес, т.е. вес вида

$$\rho(x) = |x + i|^{\mu_\infty} |x|^{\mu_0} \prod_{j=1}^m |\alpha - \beta_j|^{\mu_j},$$

где $\mu_\infty, \mu_0, \mu_j, \beta_j \in \mathbb{R}$, $j = 1, \dots, n$, а $L_p(E, \rho)$, $1 < p < \infty$, – лебегово пространство с нормой

$$\|f\|_{p, \rho} := \left(\int_E |f(x)|^p \rho^p(x) dx \right)^{1/p},$$

где E либо \mathbb{R} , либо $\mathbb{R}_\pm = \{\pm x > 0; x \in \mathbb{R}\}$. Далее предполагается, что

$$\mu, \mu_0, \dots, \mu_m \in \left(-\frac{1}{p}; \frac{1}{q} \right),$$

где $\mu := \mu_\infty + \mu_0 + \mu_1 + \dots + \mu_m$, а $1/p + 1/q = 1$. Заметим, что это условие является необходимым и достаточным, чтобы ρ был весом Макенхаунта, т.е. удовлетворяло условию A_p :

$$\sup \left(\frac{1}{|I|} \int_I \rho(x)^p dx \right)^{1/p} \left(\frac{1}{|I|} \int_I \rho(x)^{-q} dx \right)^{1/q} < \infty,$$

где I пробегает все ограниченные интервалы вещественной переменной \mathbb{R} , а $|I|$ – длина интервала I (см., например, [6]). Важную роль в дальнейшем играют числа $\nu_\infty = 1/q - \mu$, $\nu_0 = 1/p + \mu_0$.

В [7] получен критерий фредгольмовости и вычислен индекс матричного оператора Винера – Хопфа в пространствах $L_p^n(\mathbb{R}_+, \rho)$ в случае кусочно-непрерывного символа.

В данной работе мы распространяем эти результаты на операторы \mathcal{L} -Винера – Хопфа в случае произвольного безотражательного потенциала.

2. Оператор \mathcal{L} -Винера – Хопфа. Рассмотрим дифференциальное выражение ℓ (см. (1.1)) с потенциалом v , удовлетворяющим (1.3), (1.4). Условие (1.2) выполняется автоматически. Собственные значения самосопряженного оператора Штурма – Лиувилля \mathcal{L} , порожденного дифференциальным выражением ℓ , совпадают с числами $\lambda_1, \dots, \lambda_N$ (см., например, [8]). Ортонормальная система собственных функций $\varphi_1, \dots, \varphi_N$ однозначно определяется системой линейных уравнений

$$\varphi_k(x) + \sum_{s=1}^N m_k m_s \frac{e^{-(\lambda_k + \lambda_s)x}}{\lambda_k + \lambda_s} \varphi_s(x) = m_k e^{-\lambda_k x}, \quad k = 1, \dots, N; x \in \mathbb{R}.$$

Рассмотрим функции

$$u^-(x, \lambda) = t(\lambda) e^{i\lambda x} \left(1 - \sum_{k=1}^N \frac{m_k e^{-\lambda_k x}}{\lambda_k - i\lambda} \varphi_k(x) \right),$$

$$u^+(x, \lambda) = e^{-i\lambda x} \left(1 - \sum_{k=1}^N \frac{m_k e^{-\lambda_k x}}{\lambda_k + i\lambda} \varphi_k(x) \right), \quad x, \lambda \in \mathbb{R},$$

где коэффициент прохождения $t(\lambda)$ определяется равенством

$$t(\lambda) = \prod_{k=1}^N \frac{\lambda + i\lambda_k}{\lambda - i\lambda_k}.$$

Функции $u^\mp(x, \lambda)$ при каждом $\lambda \in \mathbb{R} \setminus \{0\}$ являются ограниченными решениями уравнения $\ell y = \lambda^2 y$ и порождают интегралы

$$(U_\mp y)(\lambda) = \int_{-\infty}^{\infty} u^\mp(x, \lambda) y(x) dx, \quad \lambda \in \mathbb{R},$$

которые сходятся по норме $L_2(\mathbb{R})$. Эти интегралы определяют ограниченные операторы $U_\mp: L_2(\mathbb{R}) \rightarrow L_2(\mathbb{R})$ (см. [1, 3, 8]).

Под спектральным преобразованием оператора \mathcal{L} мы понимаем оператор

$$U := m(\chi_+) U_- + m(\chi_-) J U_+ : L_2(\mathbb{R}) \rightarrow L_2(\mathbb{R}),$$

где χ_+ (χ_-) – характеристическая функция \mathbb{R}_+ (\mathbb{R}_-), а $J: L_2(\mathbb{R}) \rightarrow L_2(\mathbb{R})$ – оператор, действующий по формуле $(Jy)(x) = y(-x)$. Оператор U удовлетворяет равенствам

$$U^*U = I - P, \quad UU^* = I,$$

где I – единичный оператор, а P – ортогональный проектор на подпространство $\text{span}\{\varphi_1, \dots, \varphi_n\}$. Кроме того, на всюду плотном в $L_2(\mathbb{R})$ множестве имеет место равенство $ULU^* = m(\lambda^2)$.

Будем считать, что $v = 0$ также является безотражательным потенциалом, соответствующим случаю $N = 0$. В этом случае оператор $U = U_\pm$ и совпадает с преобразованием Фурье $F: L_2(\mathbb{R}) \rightarrow L_2(\mathbb{R})$:

$$(Fy)(\lambda) = \frac{1}{\sqrt{2\pi}} \int_{-\infty}^{\infty} e^{i\lambda x} y(x) dx.$$

Функцию $a \in L_\infty(\mathbb{R})$ назовем U -мультиликатором в $L_p(\mathbb{R}, \rho)$, если для каждого $y \in L_2(\mathbb{R}) \cap L_p(\mathbb{R}, \rho)$ функция $U^*m(a)Uy$ также принадлежит $L_2(\mathbb{R}) \cap L_p(\mathbb{R}, \rho)$ и кроме того при некотором постоянном $c > 0$ неравенство

$$\|U^*m(a)U\|_{p,\rho} \leq c\|y\|_{p,\rho}$$

имеет место одновременно для всех $y \in L_2(\mathbb{R}) \cap L_p(\mathbb{R}, \rho)$. Оператор $U^*m(a)U$ допускает непрерывное продолжение до действующего на $L_p(\mathbb{R}, \rho)$ ограниченного оператора, который мы будем обозначать через $W_L^0(a)$ и называть оператором \mathcal{L} -свертки на $L_2(\mathbb{R}, \rho)$ с символом a .

Множество U -мультиликаторов будем обозначать через $\mathcal{M}_{p,\rho,\mathcal{L}}$. Поскольку при $v = 0$ оператор U совпадает с преобразованием Фурье F , то в этом случае класс U -мультиликаторов совпадает с классом мультиликаторов Фурье $\mathcal{M}_{p,\rho}$ (см. [6]). Справедливо следующее утверждение.

Лемма 2.1. *Пусть v – безотражательный потенциал и \mathcal{L} – соответствующий самосопряженный оператор, порожденный дифференциальным выражением (I.1). Тогда справедливо включение $\mathcal{M}_{p,\rho} \subset \mathcal{M}_{p,\rho,\mathcal{L}}$.*

Пусть теперь $a \in \mathcal{M}_{p,\rho,\mathcal{L}}^{n \times n}$. Тогда оператор $U^*m(a)U$ допускает непрерывное продолжение до ограниченного оператора, действующего на $L_p^n(\mathbb{R}, \rho)$, который мы также будем обозначать через $W_L^0(a)$ и называть оператором \mathcal{L} -свертки с матричным символом a .

Определим операторы $\pi_+^0: L_p(\mathbb{R}_+, \rho) \rightarrow L_p(\mathbb{R}, \rho)$, $\pi_+: L_p(\mathbb{R}, \rho) \rightarrow L_p(\mathbb{R}_+, \rho)$ по формулам $(\pi_+y)(x) = y(x)$, $x \in \mathbb{R}_+$,

$$(\pi_+^0y)(x) = \begin{cases} y(x) & x \in \mathbb{R}_+ \\ 0 & x \in \mathbb{R}_- \end{cases}.$$

Пусть $a \in \mathcal{M}_{p,\rho,\mathcal{L}}^{n \times n}$. Оператор $W_L(a) := \pi_+ W_L^0(a) \pi_+^0: L_p^n(\mathbb{R}_+, \rho) \rightarrow L_p^n(\mathbb{R}_+, \rho)$, $1 < p < \infty$, будем называть оператором \mathcal{L} -Винера – Хопфа с символом a .

3. Фредгольмовость оператора \mathcal{L} -Винера – Хопфа. Класс мультиликаторов Фурье $\mathcal{M}_{p,\rho}$ (см. [7]) является банаховой алгеброй с нормой

$$\|a\|_{\mathcal{M}} := \|W^0(a)\|_{\mathcal{B}(L_p(\mathbb{R}, \rho))}.$$

Функции из PC , имеющие ограниченную вариацию, принадлежат $\mathcal{M}_{p,\rho}$. Через $PC_{p,\rho}$ обозначим замыкание всех функций PC , имеющих ограниченную вариацию в банаховой алгебре $\mathcal{M}_{p,\rho}$, а через $C_{p,\rho}(\bar{\mathbb{R}})$ обозначим алгебру $PC_{p,\rho} \cap C(\bar{\mathbb{R}})$. Имеет место включение $PC_{p,\rho} \subset PC$ (см. [6]).

Пусть $\nu \in (0,1)$, $z_1, z_2 \in \mathbb{C}$. Множество

$$\mathcal{A}(z_1, z_2; \nu) := \left\{ \frac{z_2 e^{2\pi(x+iv)} - z_1}{e^{2\pi(x+iv)} - 1} ; x \in \bar{\mathbb{R}} \right\}$$

является дугой окружности, соединяющей точки z_1 и z_2 .

Пусть $a \in PC^{n \times n}$ и $a = (a_{ij})_{ij=1}^n$. Определим матриц-функцию $a_{p,\rho}: \dot{\mathbb{R}} \times \bar{\mathbb{R}} \rightarrow \mathbb{C}^{n \times n}$ по формуле

$$a_{p,\rho}(x, \xi) = \frac{-1}{e^{2\pi\xi(x+iv)} - 1} a(x-0) + \frac{e^{2\pi(\xi+iv)}}{e^{2\pi\xi(x+iv)} - 1} a(x+0),$$

где $x \in \dot{\mathbb{R}}$, $\xi \in \bar{\mathbb{R}}$ и $\nu = \begin{cases} \nu_\infty & x \in \mathbb{R} \\ \nu_0 & x = \infty \end{cases}$. Образ каждой из компонент $(a_{ij})_{p,\rho}$ является непрерывной кривой в комплексной плоскости, поскольку в точке разрыва $x \in \dot{\mathbb{R}}$ существенного образа a_{ij} точки $a_{ij}(x-0)$ и $a_{ij}(x+0)$ соединяются дугой $\mathcal{A}(a_{ij}(x-0), a_{ij}(x+0); \nu) = \{(1-\eta)a_{ij}(x-0) + \eta a_{ij}(x+0); \eta \in \mathcal{A}(0,1; \nu)\}$. В частности, образ функции $\det a_{p,\rho}$ также является непрерывной замкнутой естественным образом ориентированной кривой в результате добавления к существенному образу $\det a_{p,\rho}$ кривых $\{\det((1-\eta)a(x-0) + \eta a(x+0)); \eta \in \mathcal{A}(0,1; \nu)\}$, соединяющих в точках разрывов $\det a(x)$, точки $\det a(x-0)$ и $\det a(x+0)$, $x \in \dot{\mathbb{R}}$. Это обстоятельство позволяет в случае $\det a_{p,\rho}(x, \xi) \neq 0$ ($x \in \dot{\mathbb{R}}$, $\xi \in \bar{\mathbb{R}}$) корректным образом определить целое число $\text{wind}(\det a(x))$, равное количеству оборотов вокруг нуля точки $\det a_{p,\rho}(x, \xi)$.

Теорема 3.1. Пусть ν – безотражательный потенциал, $a \in (PC_{p,\rho})^{n \times n}$. Тогда оператор $W_L(a)$ фредгольмов в пространстве $L_p^n(\mathbb{R}_+, \rho)$ тогда и только тогда, когда

$$\det a_{p,\rho}(x, \xi) \neq 0 \text{ при всех } x \in \dot{\mathbb{R}}, \xi \in \bar{\mathbb{R}}.$$

При выполнении этого условия

$$\text{Ind } W_L(a) = \text{wind}(\det a_{ij}). \tag{3.1}$$

В случае, когда $\det a$ имеет лишь конечное число разрывов, формула (3.1) может быть записана в более прозрачной форме.

Пусть $x_1 < x_2 < \dots < x_m$ – все конечные точки разрыва функции $\det a$. Добавив к ним $x_0 := -\infty$, $x_{m+1} := +\infty$, и определим интервалы $\ell_k := [x_k, x_{k+1}]$, $k = 0, \dots, m$. Под непрерывным аргументом $\det a$ на ℓ_k мы понимаем произвольную непрерывную на ℓ_k функцию $\arg(\det a)$,

удовлетворяющую на ℓ_k равенству $\det a(x) = |\det a(x)|e^{i \arg(\det a(x))}$. Очевидно, что числа

$$\begin{aligned}\text{ind}_{\ell_0} a &:= \arg a(x_1 - 0) - \arg a(-\infty) \\ \text{ind}_{\ell_k} a &:= \arg a(x_{k+1} - 0) - \arg a(x_k + 0), \quad k = 1, \dots, m-1, \text{ и} \\ \text{ind}_{\ell_m} a &:= \arg a(+\infty) - \arg a(x_m + 0)\end{aligned}$$

не зависят от выбора непрерывных аргументов. Формула (3.1) в данном случае принимает вид

$$\begin{aligned}\text{Ind } W_L(a) &= mn\nu_\infty + n\nu_0 - \sum_{k=0}^m \text{ind}_{\ell_k}(\det a) - \\ &- \sum_{k=1}^m \sum_{s=1}^n \left\{ \nu_\infty + \frac{1}{2\pi} \arg \xi_s(x_k) \right\} - \sum_{s=1}^n \left\{ \nu_0 + \frac{1}{2\pi} \arg \xi_s(\infty) \right\},\end{aligned}$$

где $\xi_1(x_k), \dots, \xi_n(x_k)$ — все собственные значения матрицы $a^{-1}(x_k - 0)a(x_k + 0)$ ($k = 1, \dots, m$); $\xi_1(\infty), \dots, \xi_m(\infty)$ — все собственные значения матрицы $a^{-1}(\infty - 0)a(\infty + 0)$, а через $\{\eta\}$ обозначена дробная часть действительного числа η . Переформулируем теперь теорему 3.1 в случае непрерывного на $\bar{\mathbb{R}}$ символа.

Теорема 3.2. Пусть v — безотражательный потенциал и $a \in (C_{p,\rho}(\bar{\mathbb{R}}))^{n \times n}$. Тогда оператор $W_L(a)$ фредгольмов в пространстве $L_p^n(\mathbb{R}_+, \rho)$ тогда и только тогда, когда $\det a_{p,\rho}(x) \neq 0$ для всех $x \in \bar{\mathbb{R}}$, а числа

$$\nu_0 + \frac{1}{2\pi} \arg \xi_j, \quad j = 1, \dots, n$$

не являются целыми ни при одном собственном значении ξ_i матрицы $a^{-1}(\infty - 0)a(\infty + 0)$.

В случае, когда оператор $W_L(a)$ фредгольмов, справедливо равенство

$$\begin{aligned}\text{Ind } W_L(a) &= \arg(\det a)(-\infty) - \arg(\det a)(+\infty) + n\nu_0 \\ &- \sum_{j=1}^n \left\{ \nu_0 + \frac{1}{2\pi} \arg \xi_j \right\},\end{aligned}$$

где $\arg(\det a)$ — непрерывный на $\bar{\mathbb{R}}$ аргумент функции $\det a$.

¹Институт механики НАН РА

²Институт математики НАН РА

³Ереванский государственный университет

e-mails: hrayrgrigor@gmail.com¹, kamalyan_armen@yahoo.com², grigor.kirakosyan.99@gmail.com

Г. С. Григорян, А. Г. Камалян, Г. А. Киракосян

Операторы \mathcal{L} -Винера – Хопфа с кусочно-непрерывным матричным символом в лебеговых пространствах со степенным весом

Понятия операторов \mathcal{L} -свертки и \mathcal{L} -Винера – Хопфа вводится заменой преобразования Фурье в определении оператора свертки, оператором сплетающий оператор Штурма – Лиувилля с оператором умножения. Рассматривается случай когда потенциал оператора Штурма – Лиувилля является безотражательным, а символ оператора \mathcal{L} -Винера – Хопфа кусочно-непрерывной матрица-функцией. Получены критерииfredгольмовости и формула для индекса в лебеговых пространствах со степенным весом.

Հ. Ս. Գրիգորյան, Ա. Հ. Քամալյան, Գ. Ա. Կիրակոսյան

Կտոր առ կտոր անընդհատ մատրիցային սիմվոլով \mathcal{L} -Վիներ – Հոպֆի օպերատորները աստիճանային կշռով լեբեզյան տարածություններում

Փաթեթի օպերատորի սահմանման մեջ, Ֆուրիեի ձևափոխությունը փոխարինելով օպերատորով, որը միահյուսում է Շտուրմ – Լյուվիլի և բազմապատկման օպերատորները, ներմուծված է \mathcal{L} -փաթեթի և \mathcal{L} -Վիներ – Հոպֆի օպերատորների գաղափարը: Դիտարկվում է դեպք, երբ Շտուրմ – Լյուվիլի օպերատորի պոտենցիալը չանդրադառնող է, իսկ \mathcal{L} -Վիներ – Հոպֆի օպերատորի սիմվոլը կտոր առ կտոր անընդհատ մատրիցա-ֆունկցիա է: Աստիճանային կշռով լեբեզյան տարածություններում ստացված են ֆրեդհոլմության հայտանիշ և ինդեքսի բանաձև:

H. S. Grigoryan, A. G. Kamalyan, G. A. Kirakosyan

\mathcal{L} -Wiener – Hopf Operators with Piecewise Continuous Matrix-Valued Symbol on Lebesgue Spaces with Power Weight

The concepts of \mathcal{L} -convolution operator and \mathcal{L} -Wiener – Hopf operator is introduced by changing the Fourier operator in the definition of the convolution operator to the operator intertwining the Sturm – Liouville operator \mathcal{L} with the multiplication operator. It is considered the case when the potential of Sturm – Liouville operator is reflectionless and the symbol of the \mathcal{L} -Wiener – Hopf operator is a piecewise continuous matrix-function. Fredholm criteria and index-formulas on Lebesgue spaces with power weight are obtained.

Литература

1. Камалян А. Г., Спятковский И. М. – Матем. заметки. 2018. Т. 104. Вып. 3. С. 407–421.
2. Камалян А. Г., Караканян М. И., Оганесян А. О. – Изв. НАН Армении. Математик. 2018. Т. 53. № 3. С. 21–27.
3. Hasanyan D., Kamalyan A., Karakhanyan M., Spitkovsky I.M. – Springer Proceedings in Mathematics & Statistics. 2019. V. 291. P. 175–197.
4. Asatryan H. A., Kamalyan A. G., Karakhanyan M. I. – Reports NAS of Armenia. 2019. V. 119. № 1. P. 22–28.

5. *Asatryan H. A., Kamalyan A. G., Karakhanyan M. I.* – Reports NAS of Armenia. 2019. V. 119. № 2. P. 103–109.
6. *Böttcher A., Karlovich Y. I., Spitkovsky I. M.* – Convolution Operators and Factorization of Almost Periodic Matrix Functions. Basel, Birkhäuser. 2002.
7. *Schneider R.* – J. Integral Equations. 1985. V. 9. P. 135–152.
8. *Фаддеев Л. Д.* – Итоги науки и техники. Сер. Современные проблемы мат. 1974. Т. 3, С. 93–180.

МЕХАНИКА

УДК 539.3

Член-корреспондент НАН РА С. М. Мхитарян

О решении плоской задачи типа Ламба для полуплоскости, заполненной несжимаемой вязкой жидкостью

(Представлено 22/X 2021)

Ключевые слова: стационарное течение, несжимаемая вязкая жидкость, смешанная граничная задача, число Рейнольдса.

Введение. Осьсимметрическая граничная задача Ламба для полупространства, заполненного идеальной жидкостью, при стационарном потенциальном течении жидкости через круглое отверстие в плоском жестком экране [1] имеет теоретическое и практическое значение. Эта задача в цилиндрической системе координат математически формулируется как смешанная граничная задача теории классического потенциала, когда на круге границы полупространства задано значение потенциала, а на остальной части границы полупространства вне круга нормальная производная потенциала обращается в ноль. Решение этой задачи Ламба, первоначально рассмотрено в [1] в системе ортогональных криволинейных координат, в дальнейшем применением дуальных интегральных уравнений существенно упрощено в [2]. Плоский аналог задачи Ламба для полуплоскости рассмотрен в [3].

В настоящей статье рассматривается плоская задача типа Ламба для полуплоскости, заполненной несжимаемой вязкой жидкостью, при стационарном течении жидкости и на своей границе контактирующей с абсолютно жестким экраном в виде двух сдвинутых друг относительно друга полу бесконечных тонких пластин-стержней, которые образуют между собой отверстие в виде отрезка конечной длины. Предполагается, что скорости в жидкости настолько малы, что силами инерции можно пренебречь по сравнению с силами трения, что имеет место при больших динамических или кинематических коэффициентах вязкости, т.е. при малых числах Рейнольдса. Это предположение позволяет линеаризовать конституционные нелинейные дифференциальные уравнения Навье – Стокса. Далее для линеаризованной системы уравнений Навье – Стокса в полуплоскости рассматривается смешанная граничная задача типа задачи Лам-

ба, когда на границе полуплоскости под жестким экраном компоненты вертикальных и горизонтальных скоростей равны нулю, а на отверстие – отрезка заданы компоненты нормальных и касательных напряжений. Решение этой линейной граничной задачи для полуплоскости методом интегрального преобразования Фурье сначала сведено к решению по отдельности двух сингулярных интегральных уравнений (СИУ), а затем – к решению по отдельности двух гиперсингулярных интегральных уравнений (ГСИУ). Методом обращения СИУ и методом ортогональных многочленов Чебышева построены замкнутые (точные) решения определяющих ГСИУ. Получены явные выражения напряжений под жестким экраном. Рассмотрен частный случай.

Результаты исследования обсуждаемой задачи могут быть использованы в оценках мощности и других характеристик нефтяных скважин и смежных отраслях.

Постановка задачи и вывод основных уравнений. Пусть нижнее полупространство $y < 0$, отнесенное к правой прямоугольной системе координат $Oxyz$, наполнено несжимаемой вязкой жидкостью, обладает плотностью $\rho = \text{const}$ и динамическим коэффициентом вязкости μ . Пусть далее жидкость находится в режиме стационарного течения и на своей границе $y = 0$ контактирует с абсолютно жестким тонким экраном в виде двух сдвинутых друг относительно друга полу бесконечных тонких пластин $\omega_+ = \{y = 0; a \leq x \leq \infty; -\infty < z < \infty\}$ и $\omega_- = \{y = 0; -\infty < x \leq -a; -\infty < z < \infty\}$, образующих между собой отверстие в форме бесконечной в обоих направлениях полосы $\omega = \{y = 0; -a \leq x \leq a; -\infty < z < \infty\}$ на границе полупространства. Компоненты скоростей в жидкости по координатным осям Ox, Oy, Oz обозначим через u, v, w , давление – через p , а массовые силы по осям – через X, Y, Z . Будем считать, что картина распределения этих величин одинакова во всех плоскостях, ортогональных и оси Oz , т.е. они не зависят от координаты z и $w = 0$:

$$u = u(x, y); v = v(x, y); w = 0; p = p(x, y); X = X(x, y); Y = Y(x, y); Z = Z(x, y).$$

Кроме того будем считать, что массовые силы отсутствуют, а скорости настолько малы, что силами инерции по отношению к силам трения можно пренебречь. Тогда, приняв во внимание стационарность течения вязкой жидкости, в конституционных нелинейных дифференциальных уравнениях Навье – Стокса можно пренебречь членами, зависящими от временной координаты t , а также нелинейными конвективными членами [4, 5]. В результате в базовой плоскости Oxy линеаризованная система дифференциальных уравнений в частных производных Навье – Стокса примет вид

$$\left\{ \frac{\partial p}{\partial x} = \mu \left(\frac{\partial^2 u}{\partial x^2} + \frac{\partial^2 u}{\partial y^2} \right); \frac{\partial p}{\partial y} = \mu \left(\frac{\partial^2 v}{\partial x^2} + \frac{\partial^2 v}{\partial y^2} \right) \quad (y < 0; -\infty < x < \infty); \right. \quad (1)$$

уравнение неразрывности – вид

$$\frac{\partial u}{\partial x} + \frac{\partial v}{\partial y} = 0 \quad (y < 0; -v < x < \infty), \quad (2)$$

а закон Стокса – вид

$$\sigma_y = -p + 2\mu \frac{\partial v}{\partial y}; \tau_{yx} = \mu \left(\frac{\partial u}{\partial y} + \frac{\partial v}{\partial x} \right); \quad (3)$$

где σ_y и τ_{yx} – соответственно, компоненты нормальных и касательных напряжений.

В связи со сделанными предположениями или принятыми гипотезами отметим, что так как силы инерции пропорциональны квадрату скорости, а силы трения пропорциональны первой степени скорости, то очевидно, что движения с преобладающей ролью сил трения возникают при очень малых скоростях или, в более общем случае, при очень малых числах Рейнольдса. Такие движения вязкой жидкости, при которых число Рейнольдса весьма мало ($Re < 1$), называются ползучими движениями [4].

Для уравнения (1) – (3) в полуплоскости $y \leq 0$ рассмотрим следующую смешанную граничную задачу типа задачи Ламба:

$$u(x, y)|_{y=-0} = v(x, y)|_{y=-0} = 0(|x| > a); \sigma_y|_{y=-0} = f(x); \tau_{yx}|_{y=-0} = g(x) (|x| < a); \quad (4)$$

$$u \rightarrow 0, v \rightarrow 0 \quad \text{при} \quad x^2 + y^2 \rightarrow \infty,$$

где $f(x)$ и $g(x)$ – предварительно заданные функции.

Приступив к решению граничной задачи (1) – (4), отметим, что давление $\rho(x, y)$ в полуплоскости $y < 0$ удовлетворяет уравнению Лапласа [4]:

$$\Delta p = \frac{\partial^2 p}{\partial x^2} + \frac{\partial^2 p}{\partial y^2} = 0 \quad (-\infty < x < \infty; -\infty < y < 0). \quad (5)$$

Решение указанной граничной задачи построим методом интегрального преобразования Фурье. С этой целью введем обозначения

$$\sum(x) = \sigma_y|_{y=-0} = \begin{cases} f(x) (|x| < a); \\ \sigma(x) (|x| > a); \end{cases} \quad T(x) = \tau_{yx}|_{y=-0} = \begin{cases} g(x) (|x| < a); \\ \tau(x) (|x| > a) \end{cases}$$

и трансформанты Фурье

$$\{\bar{u}(\lambda, y); \bar{v}(\lambda, y); \bar{p}(\lambda); \bar{\Sigma}(\lambda); \bar{T}(\lambda)\} = \int_{-\infty}^{\infty} \{u(x, y); v(x, y); p(x); \sum(x); T(x)\} e^{i\lambda x} dx.$$

Сначала рассмотрим вспомогательную граничную задачу для уравнений (1), (2) и (5) при граничных условиях

$$\sigma_y|_{y=-0} = \sum(x); \tau_{yx}|_{y=-0} = T(x) \quad (-\infty < x < \infty). \quad (6)$$

Приняв во внимание закон Стокса (3), к этим уравнениям и условиям применим интегральное преобразование Фурье. В результате в трансформантах Фурье для обыкновенных дифференциальных уравнений придем к следующей граничной задаче:

$$\begin{cases} \mu \left(\frac{d^2 \bar{u}}{dy^2} - \lambda^2 \bar{u} \right) = -i\lambda \bar{p}, \quad \mu \left(\frac{d^2 \bar{v}}{dy^2} - \lambda^2 \bar{v} \right) = \frac{d \bar{p}}{dy} \quad (y < 0); \\ \frac{d \bar{v}}{dy} - i\lambda \bar{u} = 0 \quad (y < 0); \quad \frac{d^2 \bar{p}}{dy^2} - \lambda^2 \bar{p} = 0 \quad (y < 0); \\ \left. \left(-\bar{p} + 2\mu \frac{d \bar{v}}{dy} \right) \right|_{y=0} = \bar{\Sigma}(\lambda); \quad \left. \mu \left(\frac{d \bar{u}}{dy} - i\lambda \bar{v} \right) \right|_{y=0} = \bar{T}(\lambda). \end{cases} \quad (7)$$

Исчезающее на бесконечности решение четвертого уравнения из (7) имеет вид

$$\bar{p}(\lambda, y) = A e^{|\lambda| y} \quad (y \leq 0).$$

Это решение подставим в правые части первых двух уравнений системы (7):

$$\frac{d^2 \bar{u}}{dy^2} - \lambda^2 \bar{u} = -\frac{i\lambda A}{\mu} e^{|\lambda| y}; \quad \frac{d^2 \bar{v}}{dy^2} - \lambda^2 \bar{v} = -\frac{|\lambda| A}{\mu} e^{|\lambda| y} \quad (y < 0).$$

Общие решения этих дифференциальных уравнений представляются формулами

$$\bar{u}(\lambda, y) = C e^{|\lambda| y} - \frac{iA}{2\mu} \text{sign}\lambda y e^{|\lambda| y}; \quad \bar{v}(\lambda, y) = D e^{|\lambda| y} + \frac{A}{2\mu} y e^{|\lambda| y} \quad (y \leq 0), \quad (8)$$

где A, C и D – пока неизвестные постоянные. Выражения (8) подставим в третье уравнение системы (7). В результате получим следующее соотношение между этими постоянными: $A = 2\lambda\mu(iC - D \text{sign}\lambda)$.

Далее выражение постоянной A подставим в (8):

$$\bar{u}(\lambda, y) = [C - i\lambda(iC - D)y] e^{|\lambda| y}; \quad \bar{v}(\lambda, y) = [D + |\lambda|(iC - D)y] e^{|\lambda| y} \quad (y \leq 0). \quad (9)$$

Постоянные C и D определяются из граничных условий – из последних двух уравнений системы (7):

$$D = \frac{\bar{\Sigma}(\lambda)}{2|\lambda|\mu}; \quad C = \frac{\bar{T}(\lambda)}{2|\lambda|\mu}.$$

Из (9) находим

$$\bar{v}(\lambda, -0) = D = \frac{\bar{\Sigma}(\lambda)}{2|\lambda|\mu}; \quad \bar{u}(\lambda, -0) = \frac{\bar{T}(\lambda)}{2|\lambda|\mu}. \quad (10)$$

Первое уравнение из (10) запишем в виде

$$-2\mu i\lambda \bar{v}(\lambda, -0) = -i\bar{\Sigma}(\lambda) \text{sign}\lambda \quad (-\infty < \lambda < \infty)$$

и применим к нему обратное преобразование Фурье. После элементарных преобразований получим

$$v'(x) = \frac{1}{2\pi\mu} \int_{-\infty}^{\infty} \frac{\Sigma(s) ds}{s - x} \quad (-\infty < x < \infty),$$

где интеграл при $s=x$ понимается в смысле главного значения по Коши. Отсюда по формуле обращения Гильберта получим следующее ключевое уравнение:

$$\Sigma(x) = -\frac{2\mu}{\pi} \int_{-a}^a \frac{v'(s)ds}{s-x} \quad (-\infty < x < \infty). \quad (11)$$

Здесь принято во внимание, что согласно (4) $v(x, y)|_{y=0} = v(x, -0) \equiv 0$ при $|x| > a$.

Вполне аналогичным образом из второго уравнения (10) получим второе ключевое уравнение поставленной задачи

$$T(x) = -\frac{2\mu}{\pi} \int_{-a}^a \frac{u'(s)ds}{s-x} \quad (-\infty < x < \infty); \quad u'(x) = \frac{du(x, -0)}{dx}. \quad (12)$$

Рассматривая ключевое уравнение (11) на интервале $(-a, a)$, относительно $v'(x)$ получим определяющее СИУ поставленной задачи:

$$\frac{1}{\pi} \int_{-a}^a \frac{v'(s)ds}{s-x} = -\frac{f(x)}{2\mu} \quad (-a < x < a); \quad (13)$$

притом по свойству непрерывности скоростей $v(\pm a) = 0$.

Рассматривая же ключевое уравнение (11) на лучах $|x| > a$, находим нормальные напряжения под жестким экраном

$$\sigma_y|_{y=0} = \sigma(x) = -\frac{2\mu}{\pi} \int_{-a}^a \frac{v'(s)ds}{s-x} \quad (|x| > a). \quad (14)$$

Здесь, конечно, считается что $v'(x)$ уже найдено из решения СИУ (13).

Вполне аналогичным образом исходя из второго ключевого уравнения (12) придём ко второму определяющему СИУ задачи:

$$\frac{1}{\pi} \int_{-a}^a \frac{u'(s)ds}{s-x} = -\frac{g(x)}{2\mu}; \quad u(\pm a) = 0 \quad (-a < x < a), \quad (15)$$

после решения которого касательные напряжения под плоским экраном определим по формуле

$$\tau_{yx}|_{y=0} = \tau(x) = -\frac{2\mu}{\pi} \int_{-a}^a \frac{u'(s)ds}{s-x} \quad (|x| > a). \quad (16)$$

В определяющем СИУ (13) произведем интегрирование по частям и примем во внимание условия $v(\pm a) = 0$. Получим следующее ГСИУ:

$$\frac{1}{\pi} \int_{-a}^a \frac{v(s)ds}{(s-x)^2} = -\frac{f(x)}{2\mu} \quad (-a < x < a), \quad (17)$$

где интеграл при $s = x$ понимается в смысле Адамара:

$$Hv = \lim_{\varepsilon \rightarrow 0} \left[\int_{-a}^{x-\varepsilon} \frac{v(s)ds}{(s-x)^2} + \int_{x+\varepsilon}^a \frac{v(s)ds}{(s-x)^2} - \frac{v(x+\varepsilon) + v(x-\varepsilon)}{\varepsilon} \right].$$

Обращаем СИУ (13):

$$v'(x) = \frac{1}{2\pi\mu\sqrt{a^2-x^2}} \int_{-a}^a \frac{\sqrt{a^2-s^2}f(s)ds}{s-x} + \frac{C}{\sqrt{a^2-x^2}} \quad (C = const, -a < x < a), \quad (18)$$

а затем проинтегрируем обе части этого равенства. Воспользовавшись выражением интеграла из [6], получим

$$\begin{aligned} v(x) = & \frac{1}{4\pi\mu} \int_a^a \ln \frac{a^2-xs+\sqrt{(a^2-x^2)(a^2-s^2)}}{a^2-xs-\sqrt{(a^2-x^2)(a^2-s^2)}} f(s)ds + \\ & + C \arcsin\left(\frac{x}{a}\right) + C_1 (-a \leq x \leq a). \end{aligned} \quad (19)$$

Вследствие условий $v(\pm a) = 0$ отсюда сразу следует, что $C = C_1 = 0$.

Следовательно, (18) примет вид

$$v'(x) = \frac{1}{2\pi\mu\sqrt{a^2-x^2}} \int_{-a}^a \frac{\sqrt{a^2-s^2}f(s)ds}{s-x} \quad (-a < x < a). \quad (20)$$

(20) подставим в (14) и произведем преобразования:

$$\begin{aligned} \sigma(x) = & -\frac{1}{\pi^2} \int_{-a}^a \frac{ds}{(s-x)\sqrt{a^2-s^2}} \int_{-a}^a \frac{\sqrt{a^2-t^2}f(t)dt}{t-s} = -\frac{1}{\pi^2} \int_{-a}^a \sqrt{a^2-t^2}f(t)dt \int_{-a}^a \frac{ds}{(s-x)(t-s)\sqrt{a^2-s^2}} = \\ = & -\frac{1}{\pi^2} \int_{-a}^a \frac{\sqrt{a^2-t^2}f(t)dt}{t-x} \int_{-a}^a \left(\frac{1}{s-x} + \frac{1}{t-s} \right) \frac{ds}{\sqrt{a^2-s^2}} \quad (|x| > a). \end{aligned}$$

Отсюда, приняв во внимание известный интеграл из [7] (с.175, ф-ла (21)), находим

$$\sigma(x) = \frac{sign x}{\pi\sqrt{x^2-a^2}} \int_{-a}^a \frac{\sqrt{a^2-s^2}f(s)ds}{s-x} \quad (|x| > a). \quad (21)$$

Изложенным способом из (15) и (16) получаются соответствующие (19) – (21) формулы для $u(x), u'(x)$ и $\tau(x)$. Очевидно, что эти формулы сразу получаются также из (19) – (20), если в них формально заменить, соответственно, $v(x)$ на $u(x), v'(x)$ на $u'(x), \sigma(x)$ на $\tau(x)$, а $f(x)$ на $g(x)$.

Введем также в рассмотрение расход жидкости через сечения отверстия жесткого экрана за единицу времени в вертикальном направлении

$$Q(x) = \int_{-a}^a v(s)ds \quad (-a \leq x \leq a). \quad (22)$$

В полученных основных уравнениях введем безразмерные координаты и величины

$$\begin{aligned}\xi &= x/a, \eta = s/a, v_0(\xi) = v(a\xi)/V; f_0(\xi) = f(a\xi)/2\rho V^2; \\ \sigma_0(\xi) &= \sigma(a\xi)/2\rho V^2; \tau_0(\xi) = \tau(a\xi)/2\rho V^2; Q_0(\xi) = Q(a\xi)/aV \\ \text{Re} &= aV/v; v = \mu/\rho; u_0(\xi) = u(a\xi)/v; g_0(\xi) = g(a\xi)/2\rho V^2.\end{aligned}$$

где V – эталонная скорость, например, скорость жидкости в центре отверстия жесткого экрана, т.е. в начале координат 0, Re – число Рейнольдса, ρV^2 – динамическое давление, а v – кинетический коэффициент вязкости. В результате ГСИУ (17) примет вид

$$\frac{1}{\pi} \int_{-1}^1 \frac{v_0(\eta) d\eta}{(\eta - \xi)^2} = -\text{Re} \cdot f_0(\xi) \quad (-1 < \xi < 1; v_0(\pm 1) = 0); \quad (23)$$

формула (19), где $C = C_1 = 0$, – вид

$$v_0(\xi) = \frac{\text{Re}}{2\pi} \int_{-1}^1 \ln \frac{1 - \xi\eta + \sqrt{(1 - \xi^2)(1 - \eta^2)}}{1 - \xi\eta - \sqrt{(1 - \xi^2)(1 - \eta^2)}} f_0(\eta) d\eta; \quad (24)$$

формула (21) – вид

$$\sigma_0(\xi) = \frac{\text{Re} \cdot \text{sign} \xi}{\pi \sqrt{\xi^2 - 1}} \int_{-1}^1 \frac{\sqrt{1 - \eta^2} f_0(\eta) d\eta}{\eta - \xi} \quad (|\xi| > 1). \quad (25)$$

Отсюда, как выше, формальной заменой $f_0(\xi)$ на $g_0(\xi), v_0(\xi)$ на $u_0(\xi), \sigma_0(\xi)$ на $\tau_0(\xi)$ получаются соответствующие уравнения для $u_0(\xi)$ и $\tau_0(\xi)$.

Во введенных безразмерных величинах формула (22) преобразуется к виду

$$Q_0(\xi) = \int_{-1}^{\xi} v_0(\eta) d\eta \quad (-1 \leq \xi \leq 1). \quad (26)$$

Решение определяющего ГСИУ (23) и определение через него характеристики задачи. Решение этого ГСИУ методом обращения СИУ (13) относительно $v'(x)$ в безразмерных величинах представлено формулой (24). Однако для вычисления характеристик обсуждаемой задачи удобнее построить решение ГСИУ (23) методом ортогональных многочленов Чебышева. С этой целью решение ГСИУ представим в форме бесконечного ряда

$$v_0(\xi) = \sqrt{1 - \xi^2} \sum_{n=1}^{\infty} X_n U_{n-1}(\xi) \quad (-1 \leq \xi \leq 1)$$

с неизвестными коэффициентами, где $U_{n-1}(\xi)$ – многочлены Чебышева второго рода. Далее этот ряд подставим в ГСИУ (23), поменяем порядок суммирования и интегрирования, а затем воспользуемся известным соотношением [8, 9]

$$\frac{1}{\pi} \int_{-1}^1 \frac{U_{n-1}(\eta) \sqrt{1-\eta^2} d\eta}{\eta - \xi} = -n U_{n-1}(\xi) \quad (-1 < \xi < 1; \quad n = 1, 2, \dots).$$

Получим

$$\sum_{n=1}^{\infty} n X_n U_{n-1}(\xi) = \operatorname{Re} f_0(\xi) \quad (-1 < \xi < 1).$$

Отсюда из условий ортогональности многочленов $U_{n-1}(\xi)$ находим

$$X_n = \frac{f_n}{n} \operatorname{Re} f_0; \quad f_n = \frac{2}{\pi} \int_{-1}^1 f_0(\xi) U_{n-1}(\xi) \sqrt{1-\xi^2} d\xi \quad (n = 1, 2, \dots). \quad (27)$$

Следовательно,

$$v_0(\xi) = \operatorname{Re} \sqrt{1-\xi^2} \sum_{n=1}^{\infty} \frac{f_n}{n} U_{n-1}(\xi) \quad (-1 \leq \xi \leq 1). \quad (28)$$

Теперь на основании (28) по формуле (26) вычислим безразмерный расход вязкой жидкости через сечения отверстия в жестком экране $\mathcal{Q}_0(\xi)$. После элементарных операций будем иметь

$$\begin{aligned} \mathcal{Q}_0(\xi) &= \operatorname{Re} \sum_{n=1}^{\infty} \frac{f_n}{n} I_n(\xi) \quad (-1 \leq \xi \leq 1) \\ I_n(\xi) &= \int_{-1}^{\xi} U_{n-1}(\eta) \sqrt{1-\eta^2} d\eta = \begin{cases} \frac{1}{2}(\pi - \arccos \xi) & (n=1); \\ \frac{1}{2} \left[\frac{U_n(\xi)}{n+1} - \frac{U_{n-2}(\xi)}{n-1} \right] & (n=2, 3, \dots) \end{cases} \end{aligned} \quad (29)$$

Пусть, в частности, $f(x) = f_0 = \text{const}$. Тогда $f_0(\xi) = f_0/2\rho V^2 = q_0 = \text{const}$ и, следовательно, из (27) $X_1 = \operatorname{Re} f_0 = \operatorname{Re} q_0$, $f_n = 0$ ($n = 2, 3, \dots$), а из (28)

$$v_0(\xi) = \operatorname{Re} q_0 \sqrt{1-\xi^2} \quad (-1 \leq \xi \leq 1).$$

В итоге из (29) в данном частном случае

$$\mathcal{Q}_0(\xi) = \frac{q_0}{2} \operatorname{Re} (\pi - \arccos \xi) \quad (-1 \leq \xi \leq 1). \quad (30)$$

Перейдем к вычислению $\sigma_0(\xi)$ по формуле (25). Сначала эту формулу преобразуем следующим образом:

$$\begin{aligned} \sigma_0(\xi) &= \frac{\operatorname{Re} \cdot \operatorname{sign} \xi}{\pi \sqrt{\xi^2 - 1}} \int_{-1}^1 \frac{\sqrt{1-\eta^2} f_0(\eta) d\eta}{\eta - \xi} \quad (|\xi| > 1) = \frac{\operatorname{Re} \cdot \operatorname{sign} \xi}{\pi \sqrt{\xi^2 - 1}} \int_{-1}^1 \frac{(1-\eta^2) f_0(\eta) d\eta}{(\eta - \xi) \sqrt{1-\eta^2}} = \\ &= \frac{\operatorname{Re} \cdot \operatorname{sign} \xi}{\pi \sqrt{\xi^2 - 1}} \left[\int_{-1}^1 \frac{f_0(\eta) d\eta}{(\eta - \xi) \sqrt{1-\eta^2}} - \int_{-1}^1 \frac{(\eta^2 - \xi^2) f_0(\eta) d\eta}{(\eta - \xi) \sqrt{1-\eta^2}} - \xi^2 \int_{-1}^1 \frac{f_0(\eta) d\eta}{(\eta - \xi) \sqrt{1-\eta^2}} \right]. \end{aligned}$$

Итак,

$$\sigma_0(\xi) = -\frac{\operatorname{Re} \cdot \operatorname{sign} \xi}{\pi \sqrt{\xi^2 - 1}} \left[(\xi^2 - 1) \int_{-1}^1 \frac{f_0(\eta) d\eta}{(\eta - \xi) \sqrt{1 - \eta^2}} + \int_{-1}^1 \frac{\eta f_0(\eta) d\eta}{\sqrt{1 - \eta^2}} + \xi \int_{-1}^1 \frac{f_0(\eta) d\eta}{\sqrt{1 - \eta^2}} \right] \quad (|\xi| > 1). \quad (31)$$

Далее воспользуемся интегральными соотношениями [10]

$$\frac{1}{\pi} \int_{-1}^1 \ln \frac{1}{|\xi - \eta|} \frac{T_n(\eta) d\eta}{\sqrt{1 - \eta^2}} = \begin{cases} \frac{1}{n} \left[H(\xi) + (-1)^n H(-\xi) \right] \left(|\xi| - \sqrt{\xi^2 - 1} \right)^n & (n = 1, 2, \dots) \quad (|\xi| > 1); \\ \ln \left(2 \left(|\xi| - \sqrt{\xi^2 - 1} \right) \right) & (n = 0), \end{cases}$$

где $T_n(\xi)$ – многочлены Чебышева первого рода, а $H(\xi)$ – функция Хевисайда. Продифференцировав обе части этих соотношений по ξ , после элементарных преобразований придем к следующим соотношениям:

$$\frac{1}{\pi} \int_{-1}^1 \frac{T_n(\eta) d\eta}{(\eta - \xi) \sqrt{1 - \eta^2}} = \begin{cases} -\frac{\operatorname{sign} \xi}{\sqrt{\xi^2 - 1}} \left[H(\xi) + (-1)^n H(-\xi) \right] \left(|\xi| - \sqrt{\xi^2 - 1} \right)^n & (n = 1, 2, \dots) \quad (|\xi| > 1); \\ 1 & (n = 0). \end{cases} \quad (32)$$

Функцию $f_0(\xi)$ разложим в ряд по многочленам Чебышева $T_n(\xi)$:

$$f_0(\xi) = \sum_{n=0}^{\infty} a_n T_n(\xi); \quad a_0 = \frac{1}{\pi} \int_{-1}^1 \frac{f_0(\eta) d\eta}{\sqrt{1 - \eta^2}}; \quad a_n = \frac{1}{\pi} \int_{-1}^1 \frac{f_0(\eta) T_n(\eta) \lambda \eta}{\sqrt{1 - \eta^2}} d\eta \quad (n = 1, 2, \dots); \quad (-1 < \xi < 1). \quad (33)$$

Далее ряд (33) представим в (31) и примем во внимание соотношения (32). После элементарных преобразований окончательно получим

$$\sigma_0(\xi) = -\operatorname{Re} \left\{ a_0 \frac{|\xi| - \sqrt{\xi^2 - 1}}{\sqrt{\xi^2 - 1}} + \frac{a_1}{2} \frac{\operatorname{sign} \xi}{\sqrt{\xi^2 - 1}} - \sum_{n=1}^{\infty} a_n \left[H(\xi) + (-1)^n H(-\xi) \right] \left(|\xi| - \sqrt{\xi^2 - 1} \right)^n \right\} \quad (|\xi| > 1).$$

Отсюда в указанном частном случае имеем

$$\sigma_0(\xi) = -\frac{q_0 \operatorname{Re}}{\sqrt{\xi^2 - 1}} \left(|\xi| - \sqrt{\xi^2 - 1} \right) \quad (|\xi| > 1). \quad (34)$$

В табл. 1 по формуле (30) приведены значения безразмерного расхода жидкости $Q_0(\xi)$, а на рис. 1 по формуле (34) построены графики изменения безразмерных нормальных напряжений $-\sigma_0(\xi)$ с обратным знаком под жестким экраном при различных числах Рейнольдса. В обоих случаях принято $q_0 = 1$.

Таблица 1
Значения $Q_0(\xi)$

ξ Re	-1	-0.8	-0.6	-0.4	-0.2	0	0.2	0.4	0.6	0.8	1
0.3	0	0.0967	0.1391	0.1739	0.2054	0.2356	0.2658	0.2973	0.3321	0.3747	0.4712
0.5	0	0.1609	0.2318	0.2898	0.3423	0.3927	0.443	0.4956	0.5536	0.6245	0.7854
0.8	0.	0.2574	0.3709	0.4637	0.5478	0.6283	0.7089	0.7929	0.8857	0.9992	1.2566

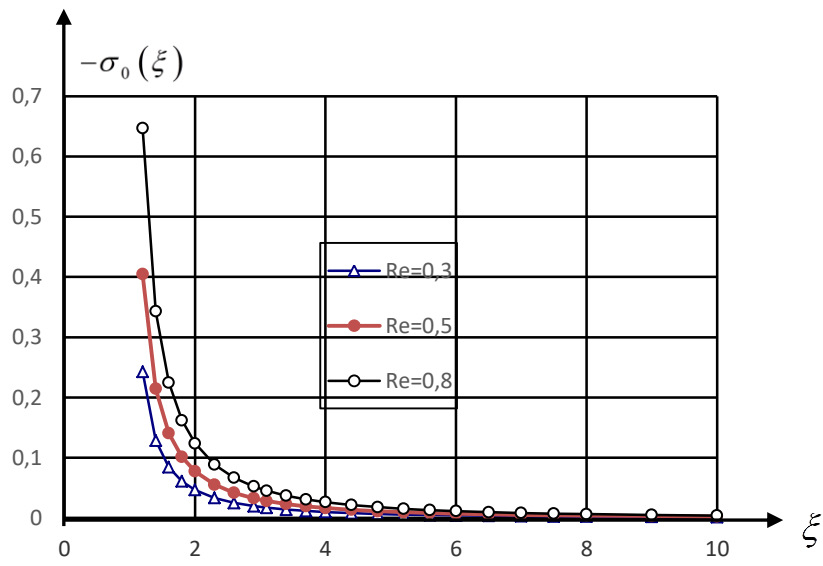


Рис. 1.

Заключение. Из изложенных результатов вытекает, что в рассмотренной граничной задаче типа Ламба при малых числах Рейнольдса, когда происходит ползучее движение вязкой несжимаемой жидкости, горизонтальные и вертикальные компоненты скоростей, а также нормальные и касательные напряжения не взаимодействуют между собой. Поэтому для их определения порознь получаются два уравнения.

Институт механики НАН РА
Национальный университет архитектуры и строительства Армении
e-mail: smkhitayan39@rambler.ru

Член-корреспондент НАН РА С. М. Мхитарян

О решении плоской задачи типа Ламба для полуплоскости, заполненной несжимаемой вязкой жидкостью

Рассматривается плоская задача типа задачи Ламба о стационарном течении вязкой несжимаемой жидкости в полуплоскости, на своей границе контактирующей с жестким экраном в форме двух сдвинутых друг относительно друга полубесконечных пластин-стержней, которые образуют между собой отверстие в форме отрезка конечной длины. Предполагается, что скорости в жидкости настолько малы, что силами инерции можно пренебречь по отношению к силам трения, что имеет место при малых числах Рейнольдса. Такой подход позволяет линеаризовать систему линейных дифференциальных уравнений Навье – Стокса. При помощи интегрального преобразования Фурье смешанная граничная задача для этих линеаризованных уравнений сведена по отдельности к сингулярным интегральным уравнениям или гиперсингулярным интегральным уравнениям. Построены их замкнутые (точные) решения. Характеристики рассматриваемой задачи представлены явными формулами, обсужден частный случай.

ՀՀ ԳԱԱ թղթակից անդամ U. U. Մխիթարյան

**Անսեղմելի մածուցիկ հեղուկով լցված կիսահարթության համար
Լամբի տիպի խնդրի լուծման մասին**

Դիտարկվում է անսեղմելի մածուցիկ հեղուկով լցված և իր եզրագծով բացարձակ կոշտ էկրանին հպվող կիսահարթության համար Լամբի տիպի եզրային խնդրի: Էկրանն ունի միմյանց նկատմամբ տեղաշարժված երկու բացարձակ կոշտ սալ-ձողերի տեսք, որոնք կազմում են վերջավոր երկարության միջակայք, իսկ հեղուկի շարժումը ստացիոնար է: Ենթադրվում է, որ հեղուկի արագություններն այնքան փոքր են, որ շվման ուժերն իներցիայի ուժերի նկատմամբ գերազանցող են, և հետևաբար վերջինները կարելի է արհամարհել առաջնների նկատմամբ: Այս դեպքում Ռեյնոլդսի թիվը բավականաչափ փոքր է, որը նաևյէ – Ստորոտ ոչ գծային դիֆերենցիալ հավասարումների համակարգը գծայնացնելու հնարավորություն է տալիս: Գծայնացված հավասարումների համար Լամբի տիպի խառը եզրային խնդրի լուծումը Ֆուրիեի ինտեգրալ ձևափոխության օգնությամբ բերվում է սինգուլյար ինտեգրալ հավասարման, իսկ այնուհետև իիվերսինգուլյար ինտեգրալ հավասարման լուծման, որոնք թույլատրում են փակ լուծումներ: Խնդրի բնութագրիչներն արտահայտվում են բացահայտ տեսքի բանաձևերով, դիտարկված է մասնավոր դեպք:

Corresponding member of NAS RA S. M. Mkhitaryan

On Solving a Plane Lamb-Type Problem for a Half-Plane Filled with an Incompressible Viscous Fluid

We consider a plane Lamb-type problem on the stationary flow of a viscous incompressible fluid in a half-plane that at its boundary is in contact with a rigid screen in the form of two semi-infinite plate-rods shifted relative to each other, which form between themselves a hole in the form of a segment of finite length. It is assumed that

the velocities in the fluid are so small that the inertial forces can be neglected concerning the friction forces; this occurs at large dynamic or kinematic coefficients of fluid viscosity, i. e. at low Reynolds numbers. This approach allows one to linearize the system of linear differential Navier – Stokes equations. Using the integral Fourier transform, the mixed boundary value problem for these linearized equations is reduced to SIEs or HIEs. The closed (exact) solutions of these SIEs and HIEs are constructed. The characteristics of the problem under consideration are presented by explicit formulas; a particular case is discussed.

Литература

S

1. *Ламб Г.* Гидродинамика. М. Гостехиздат. 1947. М. – Л. 928 с.
2. *Снедон И.* Преобразование Фурье. М. ИЛ. 1955. 668 с.
3. *Варданян Е. В., Мхитарян С. М., Саруханян А. А.* – Доклады НАН РА. 2020. Т. 120. № 4. С. 277–287.
4. *Шлихтинг Г.* Теория пограничного слоя. М. Наука. 1969. 744 с.
5. *Лойцянский Л. Г.* Механика жидкости и газа. М. Наука. 1987. 840 с.
6. *Александров В. М., Мхитарян С. М.* Контактные задачи для тел с тонкими покрытиями и прослойками. М. Наука. 1983. 488 с.
7. *Бейтмен Г., Эрдейи А. и др.* Таблицы интегральных преобразований. Т. 2. М. Наука. 1970. 328 с.
8. *Youn-Sha Chan, Albert C. Fannjiang, Glausio H. Paulino* – International J. of Engineering and Applied Science. 2003. V. 41. P. 683-720.
9. *Mkhitaryan S. M., Mkrtchyan M. S., Kanetzyan E. G.* – The Quarterly J. of Mech. And Appl. Math. V. 73. Issue 1. 2020. P. 51-75.
10. *Мхитарян С. М.* – Доклады НАН РА. Т. 93. № 5. с1992. С. 220-226.

ТЕОРИЯ УПРУГОСТИ

УДК 539.3

Академик Л. А. Агаловян, М. Л. Агаловян, Т. В. Закарян

О решении трёхмерной динамической смешанной задачи двухслойных ортотропных пластин, лежащих на жёсткой подстилке

(Представлено 15/IX 2021)

Ключевые слова: вынужденные колебания, слоистая пластина, асимптотический метод.

Введение. Для решения пространственных статических и динамических задач пластин и оболочек эффективным оказался асимптотический метод решения сингулярно возмущённых дифференциальных уравнений. Решению статических пространственных задач однослойных и многослойных пластин и оболочек посвящены монографии [1-3]. Некоторые классы динамических задач для анизотропных пластин решены в [2,4-6]. В данной работе асимптотическим методом решена трёхмерная смешанная пространственная динамическая задача для двухслойной пластины, лежащей на жёсткой подстилке.

1. Основные уравнения и постановка задачи. Требуется найти в области

$$D = \{(x, y, z) : 0 \leq x \leq a, 0 \leq y \leq b, -h_2 \leq z \leq h_1, h_1 + h_2 = h \ll l, \\ l = \min(a, b)\},$$

занятой двухслойной пластиной (рис.1), решение уравнений движения

$$\frac{\partial \sigma_{xx}^k}{\partial x} + \frac{\partial \sigma_{xy}^k}{\partial y} + \frac{\partial \sigma_{xz}^k}{\partial z} = \rho^k \frac{\partial^2 u^k}{\partial t^2}, \quad \frac{\partial \sigma_{xy}^k}{\partial x} + \frac{\partial \sigma_{yy}^k}{\partial y} + \frac{\partial \sigma_{yz}^k}{\partial z} = \rho^k \frac{\partial^2 v^k}{\partial t^2}, \quad (1) \\ \frac{\partial \sigma_{xz}^k}{\partial x} + \frac{\partial \sigma_{yz}^k}{\partial y} + \frac{\partial \sigma_{zz}^k}{\partial z} = \rho^k \frac{\partial^2 w^k}{\partial t^2}, \quad k = I, II,$$

и соотношений упругости (обобщенный закон Гука) ортотропного тела

$$\begin{aligned}
\frac{\partial u^k}{\partial x} &= a_{11}^k \sigma_{xx}^k + a_{12}^k \sigma_{yy}^k + a_{13}^k \sigma_{zz}^k, \quad \frac{\partial v^k}{\partial y} = a_{12}^k \sigma_{xx}^k + a_{22}^k \sigma_{yy}^k + a_{23}^k \sigma_{zz}^k, \\
\frac{\partial w^k}{\partial z} &= a_{13}^k \sigma_{xx}^k + a_{23}^k \sigma_{yy}^k + a_{33}^k \sigma_{zz}^k, \quad \frac{\partial u^k}{\partial y} + \frac{\partial v^k}{\partial x} = a_{66}^k \sigma_{xy}^k \\
\frac{\partial w^k}{\partial x} + \frac{\partial u^k}{\partial z} &= a_{55}^k \sigma_{xz}^k, \quad \frac{\partial w^k}{\partial y} + \frac{\partial v^k}{\partial z} = a_{44}^k \sigma_{yz}^k
\end{aligned} \tag{2}$$

при следующих граничных условиях на лицевых поверхностях пакета:

$$\begin{aligned}
\sigma_{zz}^I(x, y, h_1, t) &= -\sigma_{zz}^+(x, y, h_1, t) \exp(i\Omega t), \quad \sigma_{xz}^I(x, y, h_1, t) = \sigma_{yz}^I(x, y, h_1, t) = 0, \\
W^{II}(x, y, -h_2, t) &= 0, \quad \sigma_{xz}^{II}(x, y, -h_2, t) = f_1 \sigma_{zz}^{II}(x, y, -h_2, t), \\
\sigma_{yz}^{II}(x, y, -h_2, t) &= f_2 \sigma_{zz}^{II}(x, y, -h_2, t),
\end{aligned} \tag{3}$$

где $\xi = \frac{x}{l}$, $\eta = \frac{y}{l}$, Ω – частота внешнего воздействия, и условиях полного контакта между слоями пакета

$$\begin{aligned}
\sigma_{\alpha z}^I(x, y, 0, t) &= \sigma_{\alpha z}^{II}(x, y, 0, t), \quad \alpha = x, y, z, \\
u^I(x, y, 0, t) &= u^{II}(x, y, 0, t), \quad (u, v, w).
\end{aligned} \tag{4}$$

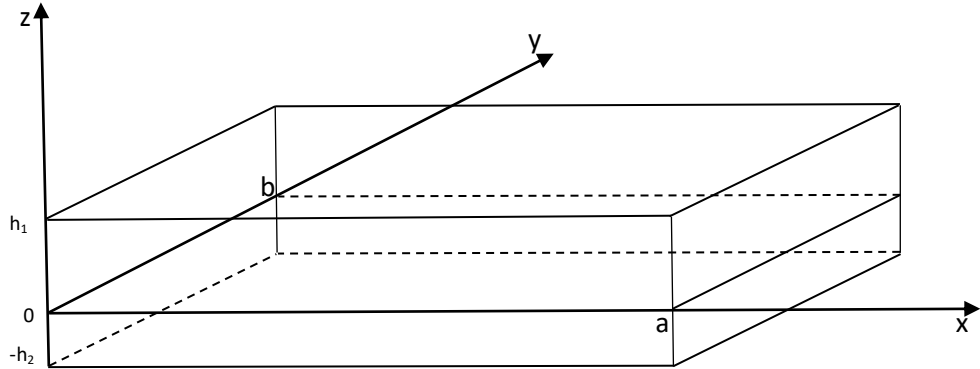


Рис.1

Решение сформулированной задачи будем искать в виде

$$\begin{aligned}
\sigma_{\alpha\beta}^k(x, y, z, t) &= \sigma_{ij}^k(x, y, z) \exp(i\Omega t), \quad \alpha, \beta = x, y, z, \quad i, j = 1, 2, 3, \quad k = I, II. \quad (5) \\
(u^k(x, y, z, t), v^k(x, y, z, t), w^k(x, y, z, t)) &= (u_x^k(x, y, z), u_y^k(x, y, z), u_z^k(x, y, z)) \exp(i\Omega t),
\end{aligned}$$

Перейдя в динамических уравнениях и соотношениях упругости к безразмерным координатам и перемещениям

$$\xi = x/l, \quad \eta = y/l, \quad \zeta = z/h, \quad U = u_x/l, \quad V = u_y/l, \quad W = u_z/l, \quad (6)$$

получим сингулярно возмущенную малым параметром $\varepsilon = h/l$ систему:

$$\begin{aligned} \frac{\partial \sigma_{11}^k}{\partial \xi} + \frac{\partial \sigma_{12}^k}{\partial \eta} + \varepsilon^{-1} \frac{\partial \sigma_{13}^k}{\partial \zeta} + \varepsilon^{-2} \rho^k \Omega_*^2 U^k &= 0, \quad \frac{\partial \sigma_{12}^k}{\partial \xi} + \frac{\partial \sigma_{22}^k}{\partial \eta} + \varepsilon^{-1} \frac{\partial \sigma_{23}^k}{\partial \zeta} + \varepsilon^{-2} \rho^k \Omega_*^2 V^k = 0, \\ \frac{\partial \sigma_{13}^k}{\partial \xi} + \frac{\partial \sigma_{23}^k}{\partial \eta} + \varepsilon^{-1} \frac{\partial \sigma_{33}^k}{\partial \zeta} + \varepsilon^{-2} \rho^k \Omega_*^2 W^k &= 0, \quad \frac{\partial U^k}{\partial \xi} = a_{11}^k \sigma_{11}^k + a_{12}^k \sigma_{22}^k + a_{13}^k \sigma_{33}^k, \\ \frac{\partial V^k}{\partial \eta} = a_{12}^k \sigma_{11}^k + a_{22}^k \sigma_{22}^k + a_{23}^k \sigma_{33}^k, \quad \varepsilon^{-1} \frac{\partial W^k}{\partial \zeta} &= a_{13}^k \sigma_{11}^k + a_{23}^k \sigma_{22}^k + a_{33}^k \sigma_{33}^k, \\ \frac{\partial V^k}{\partial \xi} + \frac{\partial U^k}{\partial \eta} = a_{66}^k \sigma_{12}^k, \quad \frac{\partial W^k}{\partial \xi} + \varepsilon^{-1} \frac{\partial U^k}{\partial \zeta} &= a_{55}^k \sigma_{13}^k, \\ \frac{\partial W^k}{\partial \eta} + \varepsilon^{-1} \frac{\partial V^k}{\partial \zeta} = a_{44}^k \sigma_{23}^k, \quad \Omega_*^2 = H^2 \Omega^2, \quad k &= I, II \end{aligned} \quad (7)$$

Решение системы (7) складывается из решений внешней задачи (I^{out}) и пограничного слоя (I_b), т.е. $I = I^{out} + I_b$.

Решение внешней задачи будем искать в виде

$$\begin{aligned} \sigma_{ij}^{kout} &= \varepsilon^{-1+s} \sigma_{ij}^{k(s)}(\xi, \eta, \zeta), \quad i, j = 1, 2, 3, \quad s = \overline{0, N} \\ (U^{kout}, V^{kout}, W^{kout}) &= \varepsilon^s (U^{k(s)}, V^{k(s)}, W^{k(s)}), \quad k = I, II. \end{aligned} \quad (8)$$

Здесь $s = \overline{0, N}$ (обозначение Эйнштейна) означает, что в (8) по повторяющемуся индексу s происходит суммирование от нуля до числа приближений N . Подставив (8) в (7) и приравняв в каждом уравнении коэффициенты при одинаковых степенях ε , получим следующую непротиворечивую систему для определения коэффициентов $\sigma_{ij}^{k(s)}$, $U^{k(s)}$, $V^{k(s)}$, $W^{k(s)}$:

$$\begin{aligned} \frac{\partial \sigma_{11}^{k(s-1)}}{\partial \xi} + \frac{\partial \sigma_{12}^{k(s-1)}}{\partial \eta} + \frac{\partial \sigma_{13}^{k(s)}}{\partial \zeta} + \rho^k \Omega_*^2 U^{k(s)} &= 0, \quad \frac{\partial \sigma_{12}^{k(s-1)}}{\partial \xi} + \frac{\partial \sigma_{22}^{k(s-1)}}{\partial \eta} + \frac{\partial \sigma_{23}^{k(s)}}{\partial \zeta} + \rho^k \Omega_*^2 V^{k(s)} = 0, \\ \frac{\partial \sigma_{13}^{k(s-1)}}{\partial \xi} + \frac{\partial \sigma_{23}^{k(s-1)}}{\partial \eta} + \frac{\partial \sigma_{33}^{k(s)}}{\partial \zeta} + \rho^k \Omega_*^2 W^{k(s)} &= 0, \quad \frac{\partial U^{k(s-1)}}{\partial \xi} = a_{11}^k \sigma_{11}^{k(s)} + a_{12}^k \sigma_{22}^{k(s)} + a_{13}^k \sigma_{33}^{k(s)}, \\ \frac{\partial V^{k(s-1)}}{\partial \eta} = a_{12}^k \sigma_{11}^{k(s)} + a_{22}^k \sigma_{22}^{k(s)} + a_{23}^k \sigma_{33}^{k(s)}, \quad \frac{\partial W^{k(s)}}{\partial \zeta} &= a_{13}^k \sigma_{11}^{k(s)} + a_{23}^k \sigma_{22}^{k(s)} + a_{33}^k \sigma_{33}^{k(s)}. \end{aligned} \quad (9)$$

$$\frac{\partial V^{k(s-1)}}{\partial \xi} + \frac{\partial U^{k(s-1)}}{\partial \eta} = a_{66}^k \sigma_{12}^{k(s)}, \quad \frac{\partial W^{k(s-1)}}{\partial \xi} + \frac{\partial U^{k(s)}}{\partial \zeta} = a_{55}^k \sigma_{13}^{k(s)}, \quad \frac{\partial W^{k(s-1)}}{\partial \eta} + \frac{\partial V^{k(s)}}{\partial \zeta} = a_{44}^k \sigma_{23}^{k(s)},$$

Из системы (10) все напряжения можно выразить через перемещения по формулам

$$\begin{aligned} \sigma_{13}^{k(s)} &= \frac{1}{a_{55}^k} \left(\frac{\partial U^{k(s)}}{\partial \zeta} + \frac{\partial W^{k(s-1)}}{\partial \xi} \right), \quad \sigma_{23}^{k(s)} = \frac{1}{a_{44}^k} \left(\frac{\partial V^{k(s)}}{\partial \zeta} + \frac{\partial W^{k(s-1)}}{\partial \eta} \right), \\ \sigma_{12}^{k(s)} &= \frac{1}{a_{66}^k} \left(\frac{\partial U^{k(s-1)}}{\partial \eta} + \frac{\partial V^{k(s-1)}}{\partial \xi} \right), \quad \sigma_{11}^{k(s)} = \frac{1}{\Delta^k} \left(-A_{23}^k \frac{\partial W^{k(s)}}{\partial \zeta} + A_{22}^k \frac{\partial U^{k(s-1)}}{\partial \xi} - A_{12}^k \frac{\partial V^{k(s-1)}}{\partial \eta} \right), \quad (10) \\ \sigma_{22}^{k(s)} &= \frac{1}{\Delta^k} \left(-A_{13}^k \frac{\partial W^{k(s)}}{\partial \zeta} - A_{12}^k \frac{\partial U^{k(s-1)}}{\partial \xi} + A_{33}^k \frac{\partial V^{k(s-1)}}{\partial \eta} \right), \\ \sigma_{33}^{k(s)} &= \frac{1}{\Delta^k} \left(A_{11}^k \frac{\partial W^{k(s)}}{\partial \zeta} - A_{23}^k \frac{\partial U^{k(s-1)}}{\partial \xi} - A_{13}^k \frac{\partial V^{k(s-1)}}{\partial \eta} \right), \quad Q^{k(m)} \equiv 0, \text{ при } m < 0, \end{aligned}$$

где

$$\begin{aligned} A_{11}^k &= a_{11}^k a_{22}^k - (a_{12}^k)^2, & A_{12}^k &= a_{12}^k a_{33}^k - a_{23}^k a_{13}^k, & A_{13}^k &= a_{11}^k a_{23}^k - a_{13}^k a_{12}^k, \\ A_{22}^k &= a_{22}^k a_{33}^k - (a_{23}^k)^2, & A_{23}^k &= a_{13}^k a_{22}^k - a_{12}^k a_{23}^k, & A_{33}^k &= a_{11}^k a_{33}^k - (a_{13}^k)^2, \\ \Delta^k &= a_{11}^k A_{22}^k - a_{12}^k A_{12}^k - a_{13}^k A_{23}^k, \end{aligned} \quad (11)$$

а для определения $U^{k(s)}, V^{k(s)}, W^{k(s)}$ получим уравнения

$$\frac{\partial^2 U^{k(s)}}{\partial \zeta^2} + a_{55}^k \rho^k \Omega_*^2 U^{k(s)} = R_U^{k(s)}, \quad R_U^{k(s)} = -a_{55}^k \left(\frac{\partial \sigma_{11}^{k(s-1)}}{\partial \xi} + \frac{\partial \sigma_{12}^{k(s-1)}}{\partial \eta} \right) - \frac{\partial^2 W^{k(s-1)}}{\partial \xi \partial \zeta}, \quad (12)$$

$$\frac{\partial^2 V^{k(s)}}{\partial \zeta^2} + a_{44}^k \rho^k \Omega_*^2 V^{k(s)} = R_V^{k(s)}, \quad R_V^{k(s)} = -a_{44}^k \left(\frac{\partial \sigma_{12}^{k(s-1)}}{\partial \xi} + \frac{\partial \sigma_{22}^{k(s-1)}}{\partial \eta} \right) - \frac{\partial^2 W^{k(s-1)}}{\partial \eta \partial \zeta}, \quad (13)$$

$$\begin{aligned} A_{11}^k \frac{\partial^2 W^{k(s)}}{\partial \zeta^2} + \Delta^k \rho^k \Omega_*^2 W^{k(s)} &= R_W^{k(s)}, \\ R_W^{k(s)} &= -\Delta^k \left(\frac{\partial \sigma_{13}^{k(s-1)}}{\partial \xi} + \frac{\partial \sigma_{23}^{k(s-1)}}{\partial \eta} \right) + A_{23}^k \frac{\partial^2 U^{k(s-1)}}{\partial \xi \partial \zeta} + A_{13}^k \frac{\partial^2 V^{k(s-1)}}{\partial \eta \partial \zeta}. \end{aligned} \quad (14)$$

Решениями этих уравнений являются

$$\begin{aligned}
U^{k(s)} &= C_1^{k(s)}(\xi, \eta) \sin \gamma_1^k \zeta + C_2^{k(s)}(\xi, \eta) \cos \gamma_1^k \zeta + U_\tau^{k(s)}(\xi, \eta, \zeta), \quad \gamma_1^k = \Omega_* \sqrt{\rho^k a_{55}^k}, \\
V^{k(s)} &= C_3^{k(s)}(\xi, \eta) \sin \gamma_2^k \zeta + C_4^{k(s)}(\xi, \eta) \cos \gamma_2^k \zeta + V_\tau^{k(s)}(\xi, \eta, \zeta), \quad \gamma_2^k = \Omega_* \sqrt{\rho^k a_{44}^k}, \\
W^{k(s)} &= C_5^{k(s)}(\xi, \eta) \sin \gamma_3^k \zeta + C_6^{k(s)}(\xi, \eta) \cos \gamma_3^k \zeta + W_\tau^{k(s)}(\xi, \eta, \zeta), \quad \gamma_3^k = \Omega_* \sqrt{\rho^k \Delta^k / A_{11}^k},
\end{aligned} \tag{15}$$

где $U_\tau^{k(s)}, V_\tau^{k(s)}, W_\tau^{k(s)}$ – частные решения уравнений.

Подставив значения $U^{k(s)}, V^{k(s)}, W^{k(s)}$ в формулы (10), для напряжений $\sigma_{13}^{k(s)}, \sigma_{23}^{k(s)}, \sigma_{33}^{k(s)}$ будем иметь

$$\begin{aligned}
\sigma_{13}^{k(s)} &= \Omega_* \sqrt{\rho^k / a_{55}^k} (C_1^{k(s)}(\xi, \eta) \cos \gamma_1^k \zeta - C_2^{k(s)}(\xi, \eta) \sin \gamma_1^k \zeta) + f_{13}^{k(s)}(\xi, \eta, \zeta), \\
\sigma_{23}^{k(s)} &= \Omega_* \sqrt{\rho^k / a_{44}^k} (C_3^{k(s)}(\xi, \eta) \cos \gamma_2^k \zeta - C_4^{k(s)}(\xi, \eta) \sin \gamma_2^k \zeta) + f_{23}^{k(s)}(\xi, \eta, \zeta), \\
\sigma_{33}^{k(s)} &= \Omega_* \sqrt{\rho^k A_{11}^k / \Delta^k} (C_5^{k(s)}(\xi, \eta) \cos \gamma_3^k \zeta - C_6^{k(s)}(\xi, \eta) \sin \gamma_3^k \zeta) + f_{33}^{k(s)}(\xi, \eta, \zeta),
\end{aligned} \tag{16}$$

где

$$\begin{aligned}
f_{13}^{k(s)} &= \frac{1}{a_{55}^k} \left(\frac{\partial U_\tau^{k(s)}}{\partial \zeta} + \frac{\partial W_\tau^{k(s-1)}}{\partial \xi} \right), \quad f_{23}^{k(s)} = \frac{1}{a_{44}^k} \frac{\partial V_\tau^{k(s)}}{\partial \zeta} + \frac{1}{a_{55}^k} \frac{\partial W_\tau^{k(s-1)}}{\partial \eta}, \\
f_{33}^{k(s)} &= \frac{A_{11}^k}{\Delta^k} \frac{\partial W_\tau^{k(s)}}{\partial \zeta} - \frac{1}{\Delta^k} \left(A_{23}^k \frac{\partial U_\tau^{k(s-1)}}{\partial \xi} + A_{13}^k \frac{\partial V_\tau^{k(s-1)}}{\partial \eta} \right).
\end{aligned} \tag{17}$$

Удовлетворив граничным условиям (3) и условиям контакта (4), получим алгебраическую систему относительно $C_j^{k(s)}$. Решив эту систему, получим

$$\begin{aligned}
C_1^{I(s)} &= d_7^{(s)} + b_3 C_1^{II(s)}, \quad C_2^{I(s)} = d_{10}^{(s)} + C_2^{II(s)}, \quad C_3^{I(s)} = d_8^{(s)} + b_4 C_3^{II(s)}, \\
C_4^{I(s)} &= d_{11}^{(s)} + C_4^{II(s)}, \quad C_5^{I(s)} = d_9^{(s)} + b_5 C_5^{II(s)}, \quad C_6^{I(s)} = d_{12}^{(s)} + C_6^{II(s)}, \\
C_5^{II(s)} &= \frac{1}{b_5 B_5^I - B_6^I B_5^H} [d_3^{(s)} - B_5^I d_9^{(s)} + B_6^I d_{12}^{(s)} + B_6^I d_6^{(s)}], \\
C_6^{II(s)} &= d_6^{(s)} + B_5^H C_5^{II(s)}, \quad C_3^{II(s)} = \frac{1}{B_3^H} [d_5^{(s)} + b_2 B_6^H d_6^{(s)} + (b_2 + 1) B_5^H C_5^{II(s)}], \\
C_4^{II(s)} &= \frac{1}{b_4 B_3^I B_4^H + B_3^H B_4^I} [B_3^I b_4 (d_5^{(s)} + b_2 B_6^H d_6^{(s)} + (b_2 + 1) B_5^H C_5^{II(s)}) - d_2^{(s)} - B_4^I d_{11}^{(s)} + B_3^I d_8^{(s)}], \\
C_2^{II(s)} &= \frac{1}{b_3 B_1^I B_2^H + B_2^I B_1^H} [b_3 B_1^I (d_4^{(s)} + b_1 B_6^H d_6^{(s)} + (1 + B_6^H) b_1 B_5^H C_5^{II(s)}) - B_1^H (d_1^{(s)} - B_1^I d_7^{(s)} + B_2^I d_{10}^{(s)})], \\
C_1^{II(s)} &= \frac{1}{B_1^H} [d_4^{(s)} + b_1 B_6^H d_6^{(s)} + (1 + B_6^H) b_1 B_5^H C_5^{II(s)} - B_2^H C_2^{II(s)}],
\end{aligned} \tag{18}$$

где

$$\begin{aligned}
B_1^I &= \cos \gamma_1^I \zeta_1, & B_2^I &= \sin \gamma_1^I \zeta_1, & B_3^I &= \cos \gamma_2^I \zeta_1, & B_4^I &= \sin \gamma_2^I \zeta_1, \\
B_5^I &= \cos \gamma_3^I \zeta_1, & B_6^I &= \sin \gamma_3^I \zeta_1, & B_1^{II} &= \cos \gamma_1^{II} \zeta_2, & B_2^{II} &= \sin \gamma_1^{II} \zeta_2, \\
B_3^{II} &= \cos \gamma_2^{II} \zeta_2, & B_4^{II} &= \sin \gamma_2^{II} \zeta_2, & B_5^{II} &= \cos \gamma_3^{III} \zeta_2, & B_6^{II} &= \sin \gamma_3^{III} \zeta_2,
\end{aligned}$$

$$\begin{aligned}
b_1 &= f_1 \sqrt{\frac{A_{11}^{II} a_{55}^{II}}{\Delta^{II}}}, & b_2 &= f_2 \sqrt{\frac{A_{11}^{II} a_{44}^{II}}{\Delta^{II}}}, & b_3 &= \sqrt{\frac{a_{55}^I \rho^{II}}{a_{55}^{II} \rho^I}}, & b_4 &= \sqrt{\frac{a_{44}^I \rho^{II}}{a_{44}^{II} \rho^I}}, & b_5 &= \sqrt{\frac{A_{11}^{II} \rho^{II} \Delta^I}{A_{11}^I \rho^I \Delta^{II}}} \\
d_1^{(s)} &= -\frac{1}{\Omega_*} \sqrt{a_{55}^I / \rho^I} f_{13}^{I(s)}(\xi, \eta, \zeta_1), & d_2^{(s)} &= -\frac{1}{\Omega_*} \sqrt{a_{44}^I / \rho^I} f_{23}^{I(s)}(\xi, \eta, \zeta_1), \\
d_3^{(s)} &= -\frac{1}{\Omega_*} \sqrt{\frac{\Delta^I}{A_{11}^I \rho^I}} (\sigma_{zz}^{+(s)} + f_{33}^{I(s)}(\xi, \eta, \zeta_1)), & \sigma_{zz}^{+(0)} &= \varepsilon \sigma_{zz}^+, & \sigma_{zz}^{+(s)} &= 0, s \neq 0, \\
d_4^{(s)} &= \frac{1}{\Omega_*} \sqrt{a_{55}^{II} / \rho^{II}} (f_1 f_{33}^{II(s)}(\xi, \eta, -\zeta_2) - f_{13}^{II(s)}(\xi, \eta, -\zeta_2)), \\
d_5^{(s)} &= \frac{1}{\Omega_*} \sqrt{a_{44}^{II} / \rho^{II}} (f_2 f_{33}^{II(s)}(\xi, \eta, -\zeta_2) - f_{23}^{II(s)}(\xi, \eta, -\zeta_2)), & d_6^{(s)} &= -W_\tau^{II(s)}(\xi, \eta, -\zeta_2), \\
d_7^{(s)} &= \frac{1}{\Omega_*} \sqrt{a_{55}^I / \rho^I} (f_{13}^{II(s)}(\xi, \eta, 0) - f_{13}^{I(s)}(\xi, \eta, 0)), \\
d_8^{(s)} &= \frac{1}{\Omega_*} \sqrt{a_{44}^I / \rho^I} (f_{23}^{II(s)}(\xi, \eta, 0) - f_{23}^{I(s)}(\xi, \eta, 0)), \\
d_9^{(s)} &= \frac{1}{\Omega_*} \sqrt{\frac{\Delta^I}{A_{11}^I \rho^I}} (f_{33}^{II(s)}(\xi, \eta, 0) - f_{33}^{I(s)}(\xi, \eta, 0)),
\end{aligned} \tag{19}$$

$$\begin{aligned}
d_{10}^{(s)} &= U_\tau^{II(s)}(\xi, \eta, 0) - U_\tau^{I(s)}(\xi, \eta, 0) & d_{11}^{(s)} &= V_\tau^{II(s)}(\xi, \eta, 0) - V_\tau^{I(s)}(\xi, \eta, 0), \\
d_{12}^{(s)} &= W_\tau^{II(s)}(\xi, \eta, 0) - W_\tau^{I(s)}(\xi, \eta, 0),
\end{aligned}$$

После определения $C_j^{k(s)}$ по формулам (15) определяются компоненты вектора перемещения, а по формулам (10), (16) – все компоненты тензора напряжений.

2. О математически точных решениях внешней задачи. Если функция σ_{zz}^+ является многочленом от ξ, η , итерация обрывается на определённом приближении. В результате будем иметь математически точное решение внешней задачи. В качестве иллюстрации рассмотрим случай, когда $\sigma_{zz}^+ = a_0 + a_1 \xi + a_2 \eta$. Итерация обрывается на приближении $s = 1$. В результате имеем математически точное решение

$$\begin{aligned}
u^k &= l \left(U^{k(0)} + \varepsilon U^{k(1)} \right) \exp(i\Omega t), \quad v^k = l \left(V^{k(0)} + \varepsilon V^{k(1)} \right) \exp(i\Omega t), \quad w^k = l \left(W^{k(0)} + \varepsilon W^{k(1)} \right) \exp(i\Omega t), \\
\sigma_{\alpha\beta}^k &= \left(\varepsilon^{-1} \sigma_{\alpha\beta}^{k(0)} + \sigma_{\alpha\beta}^{k(1)} \right) \exp(i\Omega t), \quad \alpha, \beta = x, y, z, \quad k = I, II. \\
U^{k(0)} &= C_1^{k(0)}(\xi, \eta) \sin \gamma_1^k \zeta + C_2^{k(0)}(\xi, \eta) \cos \gamma_1^k \zeta, \\
V^{k(0)} &= C_3^{k(0)}(\xi, \eta) \sin \gamma_2^k \zeta + C_4^{k(0)}(\xi, \eta) \cos \gamma_2^k \zeta, \\
W^{k(0)} &= C_5^{k(0)}(\xi, \eta) \sin \gamma_3^k \zeta + C_6^{k(0)}(\xi, \eta) \cos \gamma_3^k \zeta. \tag{20}
\end{aligned}$$

$$\begin{aligned}
C_1^{I(0)} &= b_3 C_1^{II(0)}, \quad C_2^{I(0)} = C_2^{II(0)}, \quad C_3^{I(0)} = b_4 C_3^{II(0)}, \quad C_4^{I(0)} = C_4^{II(0)}, \\
C_5^{I(0)} &= b_5 C_5^{II(0)}, \quad C_6^{I(0)} = C_6^{II(0)}, \\
C_5^{II(0)} &= \frac{d_3^{(0)}}{b_5 B_5^I - B_6^I B_5^H}, \quad C_1^{II(0)} = \frac{(1 + B_6^H) b_1 B_5^H C_5^{II(s)}}{B_1^H}, \quad C_2^{II(0)} = \frac{b_3 B_1^I (1 + B_6^H) b_1 B_5^H C_5^{II(s)}}{b_3 B_1^I B_2^H + B_2^I B_1^H}, \\
C_3^{II(0)} &= \frac{(b_2 + 1) B_5^H C_5^{II(0)}}{B_3^H}, \quad C_4^{II(0)} = \frac{B_3^I b_4 (b_2 + 1) B_5^H C_5^{II(s)}}{b_4 B_3^I B_4^H + B_3^H B_4^I}, \quad C_6^{II(0)} = B_5^H C_5^{II(s)}, \\
d_3^{(0)} &= -\frac{\varepsilon}{\Omega_*} \sqrt{\frac{\Delta^I}{A_{11}^I \rho^I}} (a_0 + a_1 \xi + a_2 \eta)
\end{aligned}$$

Напряжения $\sigma_{\alpha\beta}^{k(0)}$ определяются по формулам (10), (16), где

$$f_{13}^{k(0)} = f_{23}^{k(0)} = f_{33}^{k(0)} = 0.$$

Для величин при $s = 1$ имеем

$$\begin{aligned}
U^{k(1)} &= C_1^{k(1)}(\xi, \eta) \sin \gamma_1^k \zeta + C_2^{k(1)}(\xi, \eta) \cos \gamma_1^k \zeta + U_\tau^{k(1)}(\xi, \eta, \zeta), \\
V^{k(1)} &= C_3^{k(1)}(\xi, \eta) \sin \gamma_2^k \zeta + C_4^{k(1)}(\xi, \eta) \cos \gamma_2^k \zeta + V_\tau^{k(1)}(\xi, \eta, \zeta), \tag{21} \\
W^{k(1)} &= C_5^{k(1)}(\xi, \eta) \sin \gamma_3^k \zeta + C_6^{k(1)}(\xi, \eta) \cos \gamma_3^k \zeta + W_\tau^{k(1)}(\xi, \eta, \zeta). \\
U_\tau^{k(1)}(\xi, \eta, \zeta) &= D_1^{k(1)}(\xi, \eta) \sin \gamma_1^k \zeta + D_2^{k(1)}(\xi, \eta) \cos \gamma_1^k \zeta, \\
(U_\tau^{k(1)}, V_\tau^{k(1)}; D_1^{k(1)}, D_3^{k(1)}; D_2^{k(1)}, D_4^{k(1)}; a_{55}^k, a_{44}^k; A_{23}^k, A_{13}^k; a_1, a_2)
\end{aligned}$$

$$\begin{aligned}
D_1^{II(1)} &= \frac{\delta \varepsilon a_1 B_5^H (a_{55}^H A_{23}^H - \gamma_3^H \Delta^H)}{\Delta^H (a_{55}^H \rho^H \Omega_*^2 - (\gamma_3^H)^2)}, \quad D_2^{II(1)} = \frac{\delta \varepsilon a_1 (a_{55}^H A_{23}^H + \gamma_3^H \Delta^H)}{\Delta^H (a_{55}^H \rho^H \Omega_*^2 - (\gamma_3^H)^2)}, \\
D_1^{I(1)} &= b_5 D_1^{II(1)}, \quad D_2^{I(1)} = b_5 D_2^{II(1)}, \quad \delta = -\frac{\sqrt{\Delta^I / A_{11}^I \rho^I}}{(b_5 B_5^I - B_6^I B_5^H) \Omega_*},
\end{aligned}$$

$$\begin{aligned}
W_{\tau}^{k(1)}(\xi, \eta, \zeta) &= D_5^{k(1)}(\xi, \eta) \sin \gamma_1^k \zeta + D_6^{k(1)}(\xi, \eta) \cos \gamma_1^k \zeta + D_7^{k(1)}(\xi, \eta) \sin \gamma_2^k \zeta + D_8^{k(1)}(\xi, \eta) \cos \gamma_2^k \zeta, \\
D_5^{H(1)} &= \left(\frac{\Delta''}{a_{55}''} + A_{23}'' \right) \frac{b_1 b_3 B_1' B_5'' \varepsilon a_1 \delta \gamma_1'' (1 + B_6'')} {(b_3 B_1' B_2'' + B_2' B_1'') (\Delta'' \rho'' \Omega_*^2 - A_{11}'' (\gamma_1'')^2)}, \\
D_6^{H(1)} &= \left(\frac{\Delta''}{a_{55}''} + A_{23}'' \right) \frac{b_1 B_5'' \varepsilon a_1 \delta \gamma_1'' (1 + B_6'')} {B_1'' (\Delta'' \rho'' \Omega_*^2 - A_{11}'' (\gamma_1'')^2)}, \\
D_7^{H(1)} &= \left(\frac{\Delta''}{a_{44}''} + A_{13}'' \right) \frac{b_4 B_3' B_5'' \varepsilon a_2 \delta \gamma_2'' (1 + b_2)} {(b_4 B_3' B_4'' + B_4' B_3'') (\Delta'' \rho'' \Omega_*^2 - A_{11}'' (\gamma_1'')^2)}, \\
D_8^{H(1)} &= \left(\frac{\Delta''}{a_{44}''} + A_{13}'' \right) \frac{B_5'' \varepsilon a_2 \delta \gamma_2'' (1 + b_2)} {B_3'' (\Delta'' \rho'' \Omega_*^2 - A_{11}'' (\gamma_1'')^2)}, \\
D_5^{I(1)} &= D_5^{H(1)}, \quad D_6^{I(1)} = b_3 D_6^{H(1)}, \quad D_7^{I(1)} = D_7^{H(1)}, \quad D_8^{I(1)} = b_4 D_8^{H(1)}.
\end{aligned}$$

Напряжения $\sigma_{\alpha\beta}^{k(1)}$ определяются аналогичным образом.

Институт механики НАН РА
e-mails: lagal@sci.am, mheraghalyan@yahoo.com,
zaqaryantatevik@mail.ru

Академик Л. А. Агаловян, М. Л. Агаловян, Т. В. Закарян

**О решении трёхмерной динамической смешанной задачи
двухслойных ортотропных пластин, лежащих
на жесткой подстилке**

Решена пространственная смешанная динамическая задача теории упругости для двухслойной ортотропной пластиинки. Считается что нижняя кромка пластиинки жёстко закреплена с абсолютно жёстким основанием, а на верхнюю кромку двухслойного пакета действует нормальная нагрузка, гармонически меняющаяся во времени. Асимптотическим методом определены амплитуды вынужденных колебаний, компоненты тензора напряжений. Указаны случаи, когда найденное решение становится математически точным.

Ակադեմիկոս Լ. Ա. Աղալովյան, Մ. Լ. Աղալովյան, Տ. Վ. Զաքարյան

**Կոշտ հենարանի վրա դրված երկշերտ օրթոտրոպ սալերի եռաչափ դինամիկական
խառը խնդրի լուծման մասին**

Ասիմպտոտիկ մեթոդով լուծված է առաձգականության տեսության տարածական դինամիկական խառը եզրային խնդիր երկշերտ սալի համար, որը դրված է կոշտ հենարանի վրա: Կառուցված է իտեռացիոն պրոցես, որը հնարավորություն է ընձեռում որոշելու լարման թենզորի և տեղափոխման վեկտորի բոլոր բաղադրիչները նախօրոք տրված ասիմպտոտիկ ձշությամբ: Նշված են այն դեպքերը, երբ ստացված լուծումը դարնում է մաթեմատիկորեն ճշգրիտ: Բերված է իյուստրացիոն օրինակ:

Academician L. A. Aghalovyan, M. L. Aghalovyan, T. V. Zakaryan

**On the Solution of the Three-Dimensional Dynamic Mixed Problem
of Two-Layer Orthotropic Plates Lying on a Rigid Litter**

The spatial mixed dynamic problem of the theory of elasticity for a two-layer orthotropic plate is solved. It is considered that the lower edge of the plate is rigidly fixed with an absolutely rigid base, while the upper edge of the two-layer package is subject to normal load harmonically varying with time. The amplitudes of forced vibrations and the components of the stress tensor are determined by the asymptotic method. Cases are indicated when the solution becomes mathematically accurate.

Литература

1. Гольденвейзер А.Л. Теория упругих тонких оболочек. М. Наука. Физматлит. 1976. 512 с.
2. Aghalovyan L. A. Asymptotic Theory of Anisotropic Plates and Shells. Singapore. World Scientific Publishing. 2015. 376 p. (Рус. издание: Агаловян Л. А. Асимптотическая теория анизотропных пластин и оболочек. М. Наука. Физматлит. 1997. 414 с.)
3. Агаловян Л.А., Геворкян Р.С. Неклассические краевые задачи анизотропных слоистых балок, пластин и оболочек. Ереван. Гитутюн. 2005. 468 с. (Aghalovyan L. A., Gevorgyan R. S. Nonclassical Boundary-Value Problems of Anisotropic Layered Beams, Plates and Shells. Yer. Gitutyun. 2005. 468 p.)
4. Агаловян Л.А.– Изв. вузов РФ. Северо-Кавказский регион. Естеств. науки. 2000. № 3. С. 8-11.
5. Агаловян Л.А., Закарян Т.В.– Изв. НАН РА. Механика. 2011. Т.64. №2. С.15-25.
6. Саргсян М.З.В кн.:Механика. 2009.Тр. междунар. школы-конф. молодых ученых. Ереван. Изд-во ЕГУАС. 2009. С. 297-303.

BIOLOGY

УДК 577:579.25:579.842.14

**M. K. Zakharyan¹, K. A. Arakelova¹, Z. U. Gevorgyan²,
A. M. Sedrakyan¹**

Efflux Pumps in Non-Typhoidal *Salmonella* Isolates Recovered from Patients in Armenia

(Submitted by corresponding member of NAS RA R. M. Aroutiounian 17/IX 2021)

Keywords: non-typhoidal *Salmonella*, antimicrobial resistance, WGS, efflux pumps, ethidium bromide cartwheel method.

Non-typhoid *Salmonella* (NTS) infection is considered as one of the most frequent foodborne diarrheal diseases that cause morbidity and mortality worldwide [1]. Third-generation cephalosporins for children, and fluoroquinolones for adults are recommended in complicated cases [2]. The emergence and dissemination of resistant bacteria hampers the use of conventional antibiotics, and growing resistance to new antimicrobial (AM) agents as well as widespread dissemination of multidrug-resistance (MDR) among NTS isolates is aggravating the situation and complicated control and treatment of salmonellosis [2].

Active efflux of antibiotics is considered as one of the most important mechanisms of resistance in NTS strains [3]. Efflux pumps (EPs) are proteins localized in plasma membrane in bacterial cell, which are known to efflux a wide range of compounds (antibiotics, dyes, detergents, disinfectants, etc.) from within the bacterial cell to the external environment. Expression of EP is strongly regulated [3].

Salmonellosis is one of the major foodborne infections in Armenia [4]. According to the Statistical Committee of the Republic of Armenia [4] salmonellosis became a leading foodborne bacterial infection in Armenia in 2019 and 2020. In our previous studies the tendency toward the MDR phenotype among the human NTS isolates collected in Armenia was identified [5] and acquired AM resistance genes were characterized based on whole genome sequencing (WGS) data analysis [6]. However, there is a lack of information on the contribution of active efflux mechanisms in the development of AM resistance in human NTS isolates circulating in Armenia. Thus, the main objectives of this work were: (i) *in silico* identification of known EP genes in

MDR and non-MDR NTS isolates recovered from patients in Armenia using WGS data, (ii) exploration of EP activity in these isolates by the Ethidium bromide cartwheel method.

Materials and methods. The study included a total of 44 NTS strains isolated from patients with salmonellosis over the period from 1996 to 2016 at the “National Centre for Infectious Diseases” (MH, Armenia). All the strains isolated from fecal samples confirmed to be *Salmonella enterica* by standard biochemical tests. Serotypes of *Salmonella* were determined using the standard Kauffman-White scheme [7].

Antimicrobial susceptibility determination. Susceptibility to 14 AM agents belonging to 9 different classes was tested according to the guidelines of the Clinical and Laboratory Standards Institute by disk diffusion assays [8]. *Escherichia coli* ATCC 25922 strain was used for quality control. Isolates that were resistant to at least three different classes of AMs were considered as MDR.

WGS and annotation. DNA samples of NTS strains were extracted using MO BIO Laboratories Inc. UltraClean® Microbial DNA Isolation Kit in accordance with the manufacturer’s instructions. WGS of NTS isolates was performed by WGS provider, MicrobesNG (<https://microbesng.uk/>), within the frames of the ISTC project A-2140. Whole genome sequences of 44 isolates of NTS are available in the European Nucleotide Archive database (Project PRJEB36290). Resistance Gene Identifier tool (RGI [9]) was employed for *in silico* prediction of EP genes.

Ethidium bromide cartwheel (EtBrC) method. The EPs activity in NTS isolates was assessed by ethidium bromide EtBrC test as described [10] with slight modification. Briefly, overnight cultures of the bacterial isolates adjusted to 0.5 of a McFarland standard were streaked as cartwheel pattern on freshly prepared Trypticase soy agar (TSA) plates containing concentrations of EtBr ranging from 0.0 to 2.0 mg/L. The TSA plates were incubated at 37°C for 16 hours and then examined under UV light. The minimum concentration of EtBr that produces fluorescence for each isolate was recorded and the TSA-EtBr plates photographed. Isolates without fluorescence indicated EP activity, whereas those that fluoresced lacked EP activity.

Statistical analyses. *P* value (two-tailed) from Fisher’s exact test was calculated to evaluate statistical differences between the compared groups. *P* values ≤ 0,05 were considered to be significant.

Results and discussion. A total of 44 NTS isolates recovered from fecal samples of patients with salmonellosis were included in this study. Of these, 33 isolates (75%) were resistant to 3 or more classes of AMs, i.e., displayed the MDR phenotype. The small set of highly virulent isolates that exhibited a non-MDR phenotype (11 isolates, 25%) was also included in the study for comparative analysis. The most predominant serotype in this study is *S. ser. Typhimurium* (*S. Typhimurium*; 70.45%, 31/44), represented by 25 MDR isolates and 6 non-MDR isolates. The second most represented serotype is *S. ser. Enteritidis* (*S. Enteritidis*): 4 MDR and 3 non-MDR isolates. In addition, 5

isolates belonging to NTS serotypes with lower prevalence in Armenia (2 *S. ser.* Derby, 1 *S. ser.* Kentucky, *S. ser.* Agona, and 1 *S. ser.* Newport isolates) were subjected to WGS given the importance of the AM resistance phenotypes detected.

The most frequent AM resistance profile that includes resistance to ampicillin, amoxicillin-clavulanic acid, ceftriaxone, ceftazidime, and nalidixic acid, was encountered in 48.48% of MDR isolates (16/33). Remarkably, an alarming number of MDR isolates, 12 isolates (36.36%), displayed simultaneous resistance towards third-generation cephalosporins and fluoroquinolones that are most commonly used to treat *Salmonella* infections. Among the 11 non-MDR isolates, 4 isolates (3 *S. Typhimurium* and 1 *S. Enteritidis*) had no resistance to any of the tested AM agents. Resistance to one AM agent was identified in 2 isolates and the remaining 5 non-MDR isolates exhibited resistance to 2 AM agents.

Genomes of all NTS isolates in this study were interrogated for *in silico* prediction of genes encoding for EPs using RGI tool [9]. The presence, diversity and prevalence of EP genes as well as their correlation with the AM resistance phenotype was explored.

The results indicated that all NTS isolates in this study, regardless of serotype and AM resistance phenotype, had the following EPs: AcrAB, AcrD, AcrEF, EmrAB, KpnEF, MdfA, MdsAB, MdtAB, MdtK, MdtM, MsbA, and YojI. The lower prevalence was found for EPs conferring resistance to tetracycline: TetA (13.64%, 6/44) and TetB (15.91%, 7/44). It should be noted, that the presence of TetA or TetB EPs was detected in all tetracycline-resistant isolates (12/12), whereas among susceptible to tetracycline isolates only one isolate (non-MDR *S. ser.* Derby K89) was positive for TetB (1/32, $p<0.0001$). Besides, the presence of the EP encoded by *qacEΔ1* gene that mediates antiseptic resistance was identified in 29.55% of isolates (13/44).

Genomes of all isolates were also inspected for genes encoding for outer membrane proteins. The *tolC* and *mdsC* genes were predicted in all NTS isolates.

The occurrence of genes involved in regulation of EPs was also explored in the genome sequences. According to CARD, the uniform presence of *acrR*, *acrS*, *baeR*, *baeS*, *cpxA*, *crp*, *emrR*, *golS*, *h-ns*, *kdpE*, *marA*, *marR*, *mdtG*, *ramA*, *rsmA*, and *sdiA* was identified in all NTS isolates, irrespectively of their AM resistance phenotype. Besides, the high prevalence was observed for *soxR* and *soxS* genes that were detected in all but one isolates (97.73%, 43/44). Notably, the *tetR* gene was found in all isolates that were positive for *tetA* or *tetB* genes.

The efflux activity of NTS isolates was assessed by the ability to pump out EtBr out of the cell. The results indicated that *E. coli* ATCC 25922 strain (negative control) demonstrated maximum fluorescence, starting with the lowest concentration of EtBr, 0.5 mg/L (Fig. 1, J). All NTS isolates in this study showed well distinguishable EPs activity compared to the negative control strain at all EtBr concentrations used. The results are summarized and

the representative fluorescence patterns of clinical NTS isolates (MDR and non-MDR) that were identified are presented in Fig. 1.

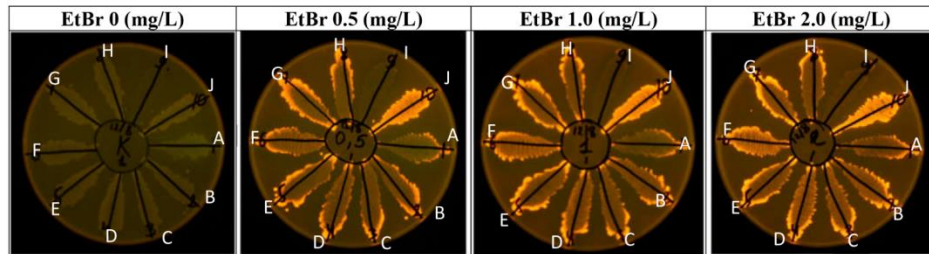


Fig. 1. Determination of efflux activity of NTS isolates by EtBrC method: A, B, C, and I – MDR *S. Typhimurium*; D, E – non-MDR *S. Typhimurium*; F – non-MDR *S. Derby* K89; G – MDR *S. Enteritidis*, H – non-MDR *S. Enteritidis*; J – *E. coli* ATCC25922 strain (negative control).

It should be emphasized that we detected two MDR *S. Typhimurium* isolates showing overexpression of EPs. These isolates did not fluoresce at all concentrations of EtBr used (Fig. 1, I). On the contrary, we detected non-MDR *S. ser. Derby* K89 isolate, displaying higher fluorescence, compared to all other NTS isolates at EtBr concentrations 1.0 mg/L and 2.0 mg/L (Fig. 1, F). However, the latter isolate did not reach the fluorescence level of the negative control strain even at the high concentrations of EtBr. The most common phenotype of fluorescence (Fig. 1; A-E, G, and H) was identified in 41 isolates of NTS: 31 MDR and 10 non-MDR. The subsequent experiments were performed to avoid differences in fluorescence levels due to variability in growth rate among NTS isolates. In brief, all NTS isolates were grown (16 h, 37°C) in TSA broth containing the same EtBr concentrations as in EtBrC test. The cell number in all bacterial suspensions was adjusted to 4.0 of a McFarland standard and 1 ml of each suspension was spined and the pellets were resuspended in an equal volume of TSA broth, 50 µl. Then, 10 µL of each obtained sample was loaded into the wells of a plastic chamber and examined under UV light. The summarized results demonstrating the identified profiles of fluorescence are presented in Figure 2. The titers of bacterial cells grown at EtBr concentration of 1.0 mg/L were evaluated.

The results indicated the pronounced efflux activity in all clinical NTS isolates compared to the negative control strain (Fig. 2, profile 1). The overexpression of efflux activity was detected in 12.12% (6/33) of MDR isolates (profiles 7 and 8), whereas this phenotype was not identified in non-MDR isolates. The lowest efflux activity (profile 2) was found in non-MDR *S. ser. Derby* K89 isolate mentioned above, which is consistent with the EtBrC test results. All other non-MDR isolates (90.9%, 10/11) demonstrated the phenotypes (profiles 3 and 5) that were identified in MDR isolates as well (profiles 4 and 6, respectively).

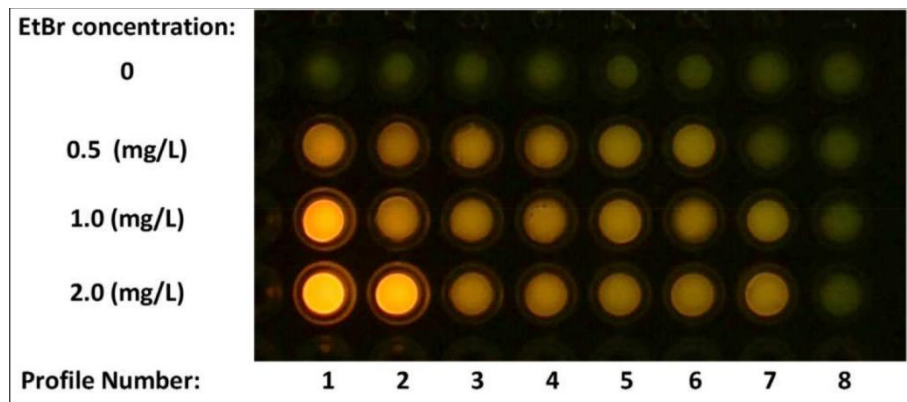


Fig. 2. Fluorescence profiles of NTS isolates in UV light after incubation with range of concentration of EtBr: 1 – *E. coli* ATCC 25922 (negative control); 2 – non-MDR *S. Derby* K89; 3, 5, 7, and 8 – MDR isolates; 4 and 6 – non-MDR isolates.

Thus, the uniform presence of major EP systems and their high activity was revealed in MDR and non-MDR isolates of NTS recovered from patients in Armenia. The results indicated a threatening potential for “awakening” of the MDR phenotype even in non-MDR strains, which is of great concern.

¹ Institute of Molecular Biology of NAS RA

² Yerevan State Medical University after M. Heratsi

e-mail: a_sedrakyan@mb.sci.am

**M. K. Zakharyan, K. A. Arakelova, Z. U. Gevorgyan,
A. M. Sedrakyan**

Efflux Pumps in Non-Typhoidal *Salmonella* Isolates Recovered from Patients in Armenia

Efflux pumps (EPs) in non-typhoidal *Salmonella* (NTS) isolates recovered from patients in Armenia were characterized. The uniform presence of major EPs, outer membrane proteins, and genes involved in regulation of EPs was identified in all NTS isolates, multidrug resistant (MDR) and non-MDR. The results indicated association of TetAR and TetBR EPs with resistance to tetracycline ($p<0.0001$). The high activity of EPs was detected in NTS isolates by Ethidium bromide cartwheel (EtBrC) method.

**Ս. Կ. Զահարյան, Վ. Ավետիկովա, Զ. Հ. Գևորգյան,
Ա. Մ. Սեդրակյան**

**Հայաստանում հիվանդներից անջատված ոչ տիֆոիդ սալմոնելաների
իզոլյատների արտազատման պոմպերը**

Բնութագրվել են Հայաստանում հիվանդներից անջատված ոչ տիֆոիդ սալմոնելաների (ՈՏՍ) իզոլյատների ակտիվ արտազատման (ԱԱ) համակարգերը: Հակաման-բէային դեղամիջոցների նկատմամբ բազմակայունությամբ օժտվածն զգայունություն

ցուցաբերող բոլոր հետազոտված ՈՏՍ իզոլյատների գենոմներում բացահայտվել է հիմնական ԱԱ համակարգերի, արտաքին թաղանթային սպիտակուցների և ԱԱ համակարգերի աշխատանքը կարգավորող գեների միատեսակ առկայություն: Բացահայտվել է TetAR և TetBR ԱԱ համակարգերի կապակցվածությունը տետրացիկլինի հանդեպ կայունության հետ ($p<0.0001$): Բացահայտվել է ՈՏՍ իզոլյատների ԱԱ համակարգերի բարձր ակտիվություն՝ էթիդիումի բրոմիդի ԱԱ մակարդակի զնահատման մեթոդի (EtBr cartwheel method) կիրառմամբ:

**М. К. Захарян, К. А. Аветикова, З. У. Геворгян,
А. М. Седракян**

**Эффлюкс системы изолятов нетифоидных сальмонелл,
выделенных от больных в Армении**

Охарактеризованы эффилюкс системы (ЭС) изолятов нетифоидных сальмонелл (НТС), выделенных от больных в Армении. В геномах всех исследованных изолятов НТС, независимо от фенотипа множественной лекарственной устойчивости, обнаружен идентичный состав основных ЭС, белков наружной мембрани, а также регуляторных генов ЭС. Выявлена ассоциированность ЭС ТетAR и ТетBR с устойчивостью к тетрациклину ($p<0.0001$). С применением метода, основанного на детекции уровня флуоресценции бактериальных суспензий в присутствии этидиум бромида (EtBr cartwheel method), выявлена повышенная активность ЭС в изолятах НТС.

References

1. World Health Organization. 2015. WHO estimates of the global burden of foodborne diseases: foodborne disease burden epidemiology reference group 2007–2015.
2. CDC. Antibiotic Resistance Threats in the United States, 2019; Atlanta, GA: U.S. Department of Health and Human Services.
3. Li X.-Z., Plésiat P., Nikaido H. – Clin. Microbiol. Rev. April 2015. V. 28(2). P. 337-417.
4. SCRA (2020). Statistical Committee of the Republic of Armenia/Socio-Economic Situation of RA/Public Health.
5. Sedrakyan A. M., Mnacakanian A. A., Gevorgyan Z. U. et al. – Reports of NAS RA. 2007. V. 107. P. 87–93.
6. Sedrakyan A. M., Ktsoyan Z. A., Arakelova K. A. – Front. Microbiol. 2020. V. 11. Article 592223. doi: 10.3389/fmicb.2020.592223.
7. Grimont P. A. D., Weill F. X. – WHO Collaborating Centre for Reference and Research on *Salmonella*, Institut Pasteur, Paris, France. 2007.
8. CLSI. – CLSI supplement M100. Wayne, PA: Clinical and Laboratory Standards Institute; 2018.
9. Alcoc B. P., Rapheny A. R. et al. – Nucleic Acids Research. 2020. V. 48. P. 517–525.
10. Martins M., McCusker M. P., Viveiros M. et al. – Open Microbiol. J. 2013. V. 7. P. 72–82.

ЭКОЛОГИЯ

УДК 575.224.23

Член-корреспондент НАН РА Р. М. Арутюнян^{1,2}, Р. Э. Авалян²,
А. Л. Атоянц², Э. А. Агаджанян², Б. К. Габриелян³

Биотестирование водных проб оз. Севан в период цветения воды и после обработки цеолитом с применением модельного тест-объекта

(Представлено 1/X 2021)

Ключевые слова: биотестирование, цветение воды, цеолит, модельный тест-объект.

В настоящее время в связи с интенсивностью техногенных нагрузок на водные ресурсы, а также усилением процесса эвтрофикации (цветения) природных гидроэкосистем возникает практическая необходимость тестирования и оценки загрязненности водной среды с привлечением в качестве биоиндикаторов чувствительных тест-систем [1, 2].

За последнее время в некоторых районах оз. Севан наблюдается цветение воды в связи с массовым распространением сине-зеленых водорослей (цианобактерий). По данным гидро-экологических наблюдений (2019-2021) масштабное цветение воды начиналось в прибрежной части Большого Севана, распространяясь на глубоководные участки. Цветение в основном вызывали виды рода цианобактерий *Dolichospermum/Anabaena*, которые являются токсичными, и в этот период впервые в озере было обнаружено присутствие токсинов микроцистина и анатоксина. Исследования выявили, что вследствие эвтрофикации изменялись физико-химические показатели воды. В частности уменьшилась прозрачность воды и концентрация растворенного кислорода, в то время как концентрации ионов аммония, нитритов и фосфатов увеличились [3, 4].

В связи с этим разработана и реализуется исследовательская программа по изучению и устранению процесса эвтрофикации гидроэкосистемы оз. Севан. Осуществляются работы по развитию механизмов оценки процесса эвтрофикации Севана и методов борьбы с цветением, в результате которого количество кислорода в воде, доступного для рыбы и других

водных обитателей, уменьшается, что приводит к искажению биоразнообразия экосистемы озера [5].

Армения богата запасами минералов природных адсорбентов: цеолитов, диатомитов, перлитов, мела и др. Природные цеолиты и находят все большее применение в промышленности ввиду возможности их использования в различных отраслях. Одной из важных областей их использования является производство дешевых природных сорбентов для охраны окружающей среды, в том числе для очистки воды. Цеолит очень хорошо удаляет из воды аммиак и ионы аммония, снижает жесткость и регулирует кислотность воды (стабилизирует pH), а также предотвращает рост и бесконтрольное распространение водорослей. Применение цеолита позволяет создать полностью экологическую систему фильтрации водоемов [6, 7]. Данный метод очистки широко используется во многих зарубежных странах, однако в Армении в рамках исследовательской программы по водоочистке в качестве адсорбента цеолит применяется впервые.

Среди модельных растительных тест-объектов в качестве биоиндикатора загрязненности окружающей среды следует особо выделить растения *Tradescantia* (клоны 02 и 4430), использование которых позволяет оценить индукцию генетических нарушений под воздействием достаточно низких концентраций ксенобиотиков.

В качестве главного маркерного критерия теста Трад-ВТН (системы волосков тычиночных нитей (ВТН)) выступает изменение окраски соматических клеток ВТН с голубой на розовую (точковые соматические мутации). Под воздействием различных химических веществ, находящихся в водной среде, в голубых клетках ВТН могут происходить мутации, и их цвет меняется на розовый (рецессивные мутационные события (РМС)), а также на белый (бесцветные мутационные события (БМС)). Кроме того, в данном тесте учитываются различные морфологические изменения в ВТН – невыжившие (НВ) и разветвленные (РВ) волоски, а также нарушения в строении цветка – различного рода фасциации, изменения числа тычинок и лепестков венчика (уменьшение). С применением микроядерного теста (Трад-МЯ) учитываются два основных тест-критерия: процент микроядер в тетрагонах и процент тетрагонов с микроядрами.

Целью настоящего исследования являлось биотестирование уровня генотоксичности и кластогенности водных проб оз. Севан в период цветения воды и после обработки цеолитом с применением двух биотестов (Трад-ВТН и Трад-МЯ) модельного тест-объекта *Tradescantia* (клон 02). Материалом исследования служили водные пробы оз. Севан, взятые в водосборных пунктах Личк, Лчашен, Норашен. Эти точки были выбраны в связи с тем, что именно здесь за последнее время чаще всего наблюдалось цветение воды.

Биотестирование проводилось в два этапа. На первом этапе (2020) изучали генетические эффекты в исследуемых образцах в периоды до, во время и после цветения воды (май, июль, октябрь соответственно). На вто-

ром этапе (2021) проводили тестирование тех же образцов во время цветения воды (июнь) и после обработки цеолитом.

Пробы воды и химический анализ элементов были предоставлены лабораторией гидрохимии ИГН НАН РА. В качестве условно фонового образца (контроля) использовали водопроводную воду. Эксперименты проводились в условиях теплицы ЕГУ. В каждом водном варианте было проанализировано 5-10 растений с учетом 20-24 тыс. ВТН. Для микроядерного теста на каждый вариант было просмотрено по 3000 тетрад.

Для выполнения поставленных задач использовались две модельные тест-системы клона 02 традесканции – система волосков тычиночных нитей (тест Трад-ВТН) и микроядерный тест (тест Трад-МЯ). Оба биотеста проводились по стандартным методикам [7, 8]. В исследуемых водных образцах определялись концентрации химических элементов (NH_4^+ , Na^+ , K^+ , Ca^{2+} , Mg^{2+} , Fe^{2+} , Cl^- , F^- , SO_4^{2-} , HCO_3^- , PO_4^{3-} , NO_3^- , NO_2^-). Все полученные результаты были статистически обработаны с применением компьютерной программы *Stastgraphics Centurion 16. 2*. Проводили корреляционный анализ между частотой мутационных событий в ВТН, а также частотой встречаемости микроядер в тетрадах микроспор и концентрацией химических элементов в исследуемых водных пробах.

Полученные данные биотеста Трад-ВТН на первом этапе тестирования (2020) показали достоверное увеличение количества точковых соматических мутаций (PMC), бесцветных мутаций (БМС) и НВ во всех водных образцах. Максимальный уровень на всех этапах эксперимента наблюдался в варианте водной пробы Норащен (где частота PMC достоверно превышала контроль в 5-8 раз при $p < 0.001$ (табл. 1).

Аналогичные результаты были получены при изучении данных двух основных критериев микроядерного теста: процент микроядер в тетрадах и процент тетрад с микроядрами. Наибольшая частота изученных параметров наблюдалась также в варианте Норащен, достоверно превышая контрольный уровень в 2-3. 5 раза ($p < 0.01$; $p < 0.001$) (табл. 2).

Рассматривая особенности проявления генетических эффектов в зависимости от временного периода наблюдений (до цветения воды, во время цветения и после цветения) следует отметить, что в период цветения воды (июль) водный вариант Личк также отличался не только высоким уровнем PMC (генотоксический эффект, достоверно превышающий контроль в 3 раза при $p < 0.001$), количеством НВ (тератогенный эффект, превышающий контроль в 16 раз. при $p < 0.001$), но и процентом микроядер в тетрадах и тетрад с микроядрами (кластогенный эффект, достоверно превышающий показатели контроля в 2.5 раза при $p < 0.01$).

Следует отметить, что в период цветения водный вариант Личк по данным гидрохимического анализа характеризовался более кислой средой (рН 5.9), высокой концентрацией ионов K^+ , Mg^{2+} , Cl^- , Na^+ , SO_4^{2-} , HCO_3^- , наличием органических и токсических веществ, что, возможно, и приводит к повышенному тератогенному эффекту. В период после цветения

(октябрь) в данном образце наблюдалось значительное снижение уровня генетических эффектов по сравнению с образцом периода цветения.

Таблица 1
Индукция генотоксических эффектов в водных образцах
оз. Севан у традесканции (клон 02), I этап (2020)

Водный образец	Соматические мутации		Морфологические изменения
	рецессивные мутации PMC / 1000	бесцветные мутации БМС/1000	невыжившие волоски НВ/1000
Период до цветения воды (май)			
Личк	1.2 ± 0.23 ***	5.4 ± 0.47 **	7.2 ± 0.54 ***
Норашен	2.0 ± 0.32 ***	6.9 ± 0.39 **	6.7 ± 0.59 ***
Лчашен	1.3 ± 0.25 ***	7.1 ± 0.57 **	5.8 ± 0.51 ***
Контроль	0.4 ± 0.19	3.6 ± 0.58	0.4 ± 0.29
Период цветения воды (июль)			
Личк	1.3 ± 0.25 ***	9.6 ± 0.68 **	6.4 ± 0.56 ***
Норашен	2.2 ± 0.38 ***	10.5 ± 0.84 **	5.6 ± 0.61 ***
Лчашен	0.6 ± 0.24	16.4 ± 1.24 **	6.2 ± 0.77 ***
Контроль	0.4 ± 0.19	3.6 ± 0.58	0.4 ± 0.29
Период после цветения воды (октябрь)			
Личк	0.7 ± 0.28 *	16.2 ± 1.4 ***	2.1 ± 0.5 ***
Норашен	3.2 ± 0.59 ***	22.2 ± 1.56 ***	3.3 ± 0.6 ***
Лчашен	0.87 ± 0.33 **	19.6 ± 1.54 ***	3.0 ± 0.61 ***
Контроль	0.4 ± 0.19	3.6 ± 0.58	0.4 ± 0.29

*p<0.05, **p<0.01, *** p<0.001.

В пробах воды Норашен и Лчашен на этой стадии (после периода цветения) не выявлено значительного изменения уровней генотоксичности и кластогенности.

Следует отметить, что во время цветения (июль) во всех вариантах также наблюдался ряд морфологических изменений цветка, таких как уменьшение числа тычинок, количества лепестков венчика, а также сросшиеся тычинки и лепестки, более заметные у варианта Личк (тератогенный эффект). В изученных водных вариантах наблюдалось также достоверное увеличение количества НВ (в 14-16 раз превышающее контроль при p<0.001).

Был проведен корреляционный анализ между уровнем соматических мутаций, процентом микроядер и химическим составом изучаемых водных образцов в зависимости от временного периода.

Таблица 2
Индукция кластогенных эффектов у традесканции (клон 02),
I этап (2020)

Водный образец	Частота МЯ в спорогенных клетках	
	МЯ в тетрадах (%±m)	тетрады с МЯ (%±m)
Период до цветения воды (май)		
Личк	5.3 ± 0.58 **	4.3 ± 0.52 **
Норашен	6.8 ± 0.56 **	6.0 ± 0.53 ***
Лчашен	6.6 ± 0.45 **	5.2 ± 0.40 **
Контроль	2.4 ± 0.28	1.8 ± 0.24
Период цветения воды (июль)		
Личк	6.1 ± 0.90 **	5.6 ± 0.87 **
Норашен	9.0 ± 1.81 ***	8.0 ± 0.72 ***
Лчашен	3.0 ± 0.38 *	2.7 ± 0.36 *
Контроль	2.4 ± 0.28	1.8 ± 0.24
Период после цветения воды (октябрь)		
Личк	4.8 ± 0.39 **	4.4 ± 0.37 **
Норашен	7.3 ± 0.52 ***	5.5 ± 0.45 ***
Лчашен	5.8 ± 0.52 **	4.6 ± 0.47 **
Контроль	2.4 ± 0.28	1.8 ± 0.24

*p<0.05, **p<0.01, ***p<0.001.

Показана положительная достоверная корреляция между уровнем генетических параметров теста Трад-ВТН (PMC, BMC, HB), а также маркерными критериями теста Трад-МЯ и ионами NH_4^+ , Na^+ , K^+ , Ca^{2+} , Mg^{2+} , Cl^- , SO_4^{2-} , HCO_3^- ($p < 0.05$; $p < 0.01$) в изученных образцах (в период до цветения воды).

Корреляционный анализ по данным, полученным на этапах цветения и после цветения воды, показал достоверную положительную корреляцию между уровнем HB и ионами Na^+ , K^+ , Ca^{2+} , Mg^{2+} , F , Cl^- , SO_4^{2-} , HCO_3^- ($p < 0.01$), а также между уровнем тест-критериев микроядерного теста и концентрацией вышеуказанных ионов на этапе после цветения воды ($p < 0.05$; $p < 0.01$).

Таким образом, на первом этапе биотестирования (2020) с использованием двух тест-систем традесканции на примере водного образца Личк показано, что цветение оз. Севан вызывает резкое усиление не только генотоксического (точечные мутации), но также кластогенного (процент микроядер) и тератогенного (невыжившие волоски) эффектов. Это может быть связано с повышением кислотности воды, высокой минерализацией,

а также наличием органических и токсических веществ в водной среде, подверженной процессу эвтрофикации.

На втором этапе биотестирования водных образцов в период цветения воды оз. Севан и после обработки цеолитом, проведенного в 2021 г. (водная проба Норашен была предоставлена только до обработки цеолитом, т.к. здесь не наблюдалось цветения воды), на основании данных двух биотестов традесканции (Трад-ВТН и Трад-МЯ) в период цветения (июнь) показано достоверное увеличение точковых соматических мутаций (PMC), бесцветных мутаций (BMC), HB, а также процента МЯ и тетрад с МЯ во всех исследуемых вариантах по сравнению с фоном в зависимости от образца. Максимальное проявление PMC и HB, а также тест-критериев микроядерного теста (процент МЯ в тетрадах и тетрад с МЯ) наблюдалось в варианте Лчашен и достоверно превысило контрольный уровень по обоим параметрам Трад-ВТН теста в 12.5 и 17 раз соответственно ($p<0.001$) и в 3.5 раза ($p<0.01$) по показателям Трад-МЯ теста (табл. 3).

В тестируемый период после обработки исследуемых водных проб цеолитом наблюдалось достоверное снижение уровня изучаемых тест-маркеров по сравнению с вариантами до обработки (особенно это проявилось в варианте Лчашен). Характерно, что в вариантах Лчашен и Личк снижение генетических эффектов (точковых мутаций и процента МЯ) после обработки цеолитом происходило на одном уровне.

Таблица 3
Генотоксические и кластогенные эффекты водных образцов
бассейна оз. Севан в соматических клетках традесканции
(клон 02) в период цветения воды и после
обработки цеолитом, II этап (2021)

Вариант водной пробы	Тест Трад-ВТН			Тест Трад-МЯ	
	(PMC/1000) ± m	(BMC/1000) ± m	(HB/1000) ± m	МЯ в тетрадах	тетрады с МЯ
Личк, цветение	0.8 ± 0.22*	21.0 ± 1.1 ***	16.0 ± 0.96 ***	6.2 ± 0.54 ***	4.9 ± 0.48 ***
Личк, цеолит	0.6 ± 0.2*	14.4 ± 0.97 ***	7.9 ± 0.72 ***	4.8 ± 0.48 ***	4.0 ± 0.44 ***
Лчашен, цветение	2.5 ± 0.32 ***	33.8 ± 1.2 ***	6.8 ± 0.53 ***	8.4 ± 0.62 ***	6.8 ± 0.56 ***
Лчашен, цеолит	0.6 ± 0.24*	30.0 ± 1.6 ***	5.7 ± 0.86 ***	4.7 ± 0.47 ***	3.9 ± 0.44
Контроль	0.2 ± 0.14	2.7 ± 0.51	0.4 ± 0.19	2.4 ± 0.28	1.8 ± 0.24

* $p<0.05$, ** $p<0.01$, *** $p<0.001$.

Рассматривая особенности проявления генетических эффектов в зависимости от временного периода наблюдений, следует отметить, что после обработки цеолитом наблюдалось достоверное снижение уровня генотоксических эффектов, особенно в варианте Лчашен, где понижение значения PMC было в 4 раза ($p<0.01$), а маркерных критериев Трад-МЯ теста – в 2 раза ($p<0.05$). В связи с этим, по данным биотестирования, можно говорить о положительном действии цеолита на токсичность воды оз. Севан в процессе его эвтрофикации). Корреляционный анализ по данным второго

этапа тестирования проводился в период цветения воды и показал достоверную положительную корреляцию между уровнем РМС, тест-критериями микроядерного теста и концентрацией ионов K^+ , Ca^{2+} , Cl^- , HCO_3^- ($p<0.001$).

Таким образом, результаты тестирования показали повышение уровня генотоксических и кластогенных эффектов во время цветения воды во всех изученных водных пробах. После обработки воды цеолитом наблюдалось достоверное снижение рассмотренных генетических тест-маркеров, особенно этот эффект проявился в варианте Лчашен.

Полученные данные по биотестированию водных образцов оз. Севан в период цветения и после обработки цеолитом свидетельствуют о том, что применение цеолита в качестве природного сорбента целесообразно для снижения уровня токсичности воды оз. Севан в процессе его эвтрофикации.

Работа выполнена в рамках гранта № 1-15/Т13-21 Комитета по науке МОНКС РА по теме «Исследование механизмов эвтрофорирования озера Севан и разработка методов борьбы с явлениями “цветения”».

¹ Президиум НАН РА

² Ереванский государственный университет

³ Научный центр зоологии и гидроэкологии НАН РА

e-mail: roubenm@sci.am

**Член-корреспондент НАН РА Р. М. Арутюнян, Р. Э. Авалян,
А. Л. Атоянц, Э. А. Агаджанян, Б. К. Габриелян**

**Биотестирование водных проб оз. Севан в период цветения
воды и после обработки цеолитом с применением
модельного тест-объекта**

Проведено биотестирование уровня генотоксичности и кластогенности водных проб, взятых из водосборных пунктов оз. Севан (Личк, Лчашен, Норашен) в период цветения воды и после обработки цеолитом с применением тест-системы волосков тычиночных нитей (Трад-ВТН) и микроядерного теста (Трад-МЯ) модельного тест-объекта традесканции (клон 02). Показано достоверное повышение уровня генетических эффектов в водных образцах Личк и Лчашен в период цветения воды. После обработки цеолитом наблюдалось достоверное снижение уровня изученных тест-маркеров.

**Թրթակից անդամ ՀՀ ԳԱԱ Ռ. Մ. Հարությունյան, Ռ. Ե. Ավալյան,
Ա. Լ. Ատոյանց, Է. Ա. Ագաջանյան, Բ. Կ. Գաբրիելյան**

**Սևանա լճից ջրի նմուշների կենսաթեսուավորում ջրի ծաղկման ժամանակ
և ցեղլիսով մշակումից հետո մոդելային թեսու օբյեկտի կիրառմամբ**

Սևանա լճի ջրհավաք ավազանից վերցված ջրի նմուշների գենոտոքսիկության և կլաստոգենության մակարդակի կենսաթեսուավորում (Լիճը, Լճաշեն, Նորաշեն) ջրի ծաղկման ժամանակ և ցեղլիսով մշակումից հետո՝օգտագործելով Տրադեսկանցիա

(կլոն 02) թեստ օբյեկտի առէջարթելերի մազիկների (Տրադ-ԱՍ) և միկրոկորիզների (Տրադ-ՄԿ) թեստ-համակարգերի կիրառմամբ: Ցույց է տրվել ջրի ծաղկման շրջանում Լիճքի և Լճաշենի ջրի նմուշներում գենետիկական էֆեկտների մակարդակի հավաստի բարձրացում: Ցեղլիսով մշակումից հետո նկատվել է ուսումնասիրված թեստ-մարկերների մակարդակի հավաստի նվազում:

**Corresponding member NAS RA R. M. Aroutiounian, R. E. Avalyan,
A. L. Atoyan, E. A. Agajhanyan, B. K. Gabrielyan**

Biotesting of Water Samples from Lake Sevan during Water Bloom and after Treatment with Zeolite Using a Model Test Object

With the application of Trad-SHM (stamen hairs) and Trad-MN (micronuclei in tetrads of microspores) tests of Tradescantia (clone 02) model test object biotesting was carried out on genotoxicity and clastogenicity level of lake Sevan water samples, taken from water points Lichk, Lchashen, Norashen in the period of water blooming and after treatment of samples with zeolite powder. The increase of genetic effects level in the water samples in points of Lichk and Lchashen in the period of water bloom was revealed. The significantly decrease in the level of the test markers studied was observed after treatment with zeolite.

Литература

1. *Матиашов Г. Г., Селиотин В. В., Месропян К. Э. и др.* – Вестник Южного научного центра. 2016. Т.12. № 2. С.43-52.
2. Zhukova A. A., Mastitsky S. E. – 2014. Minsk BSU. 112 p. ISBN 978-985-566-014-0
3. Hambaryan L. R., Stepanyan L. G., Mikaelyan Q. G. – Proceeding of the Yerevan State University. 2020. V. 54 (2). P. 168-176. doi:10.31951/2658-3518-2
4. Hambaryan L., Khachikyan T., Ghukasyan E. – Limnology and Freshwater Biology. 2020. № 4. P. 662-664.
5. Gevorgyan G., Rinke R., Schultze M. et al. – J. Hydrobiology. 2020. P. 1-12. doi: 10.1002/iroh.202002060
6. Shaobin Wang, Yuelian Peng – Chemical Engineering Journal. 2010. V. 156(1). P. 11-24. doi:10.1016/j.cej.2009.10.029
7. Багров В. В., Камрукова А. С., Кострица В. Н. и др. – Журн. «Вода Magazine» 2017. № 6 (118).
8. Ma T. H., Cabrera G. L., Cebulska-Wasilevska A. et al. – Mutation Research. 1994(a). V. 310. № 2. P. 211–220. doi: 0027-5107/94/S07.00
9. Ma T. H., Cabrera G. L., Chen R. et al. – Mutation Research. 1994(b). V. 310. № 2. P. 220–230. doi: 0027-5107/94//S07.00

BOTANY

УДК 581

J. A. Akopian, A. G. Ghukasyan, Zh. H. Hovakimyan

Ecological-Phytocoenotic Assessment and the Issues of Conservation of the Ararat Valley Relic Salt Marshes

(Submitted by corresponding member of NAS RA Zh. H. Vardanyan 13/IX 2021)

Keywords: Ararat valley, salt marshes, ecology, phytocoenosis, conservation

Introduction. In Armenia marshes occupy less than 1% of the total area of the republic, viz. about 30,000 hectares. The marsh vegetation in Armenia occurs at an altitude of 400 to 3000 m a.s.l. and is represented by 755 species of higher plants, of which 338 species are found in the desert-semidesert belt [1]. Salt marshes of Ararat valley with *Juncetea acuti* community, which are considered to be one of the refuges of the ancient Mediterranean hydrohalophytic flora, represent great scientific interest due to their originality and rich floristic composition [1 – 5]. Ararat relict salt marshes are included in the list of Natural monuments of Armenia and identified as an Important Plant Area (IPA) of global conservation concern [6]. Over the past decades, significant changes in the state of the environment and biodiversity have occurred in the salt marshes of the Ararat valley. Taking into account the intensification of anthropogenic pressure and the lack of information about the ecological-phytocoenotic state of Ararat salt marshes and about the rare and endangered plant species growing here, we have undertaken this investigation. The purpose of present study is to provide scientific data on the current state of the Ararat salt marshes for their restoration and conservation.

Materials and methods. Salt marshes have been preserved to the east of the Ararat (Ararat province of the RA). The average air temperature in the area of Ararat town in July is +25.8°C, in January -4.1°C. About 220 mm of precipitation falls annually with a maximum in May. A stable snow cover form not every year. In the vicinity of the city of Ararat, hydrocarbonate thermal mineral springs were found with a water temperature of about 20-25°C, containing biologically active components H_2SiO_3 , HBO_2 , elements Fe, Cu, Mn.

Near the territory of the Natural monument “Salt Marshes” there is a mineral spring “Ttu-Dzhur”. The territory of the salt marshes is located at an altitude of 792–822.5 m a.s.l., it is flat, with small micro-depressions. Monitoring of the hydrogeological state of the habitat revealed that the soils here are sulfate-alkaline with a pH of 7.6-8.0, the salt content in the soil is about 0.2%, in the water is about 0.3% [5]. A low rise of water by 10-15 cm above the soil level is noted in spring on small fragments of about 15-25 m². In the 70-80s of the last century Ararat salt marshes with *Juncetea acuti* community occupied an area about 150 hectares [4]. Current remaining area is about 87.98 hectares (Fig. 1), of which space close to the salt marshes natural condition occupier about 52.75 ha [5]. To carry out monitoring of Ararat salt marshes expeditions were made to Ararat province of Armenia in 2016-2021. Field works were done utilizing methods of unified system of environmental monitoring [7], bio-ecological [8] and phenological methods [9].



Fig. 1. Salt marshes near Ararat town. The total area of salt marshes (dotted shape) is 87.98 ha (8.19 ha small and 79.79 ha large shape) [5].

Wells of different depths (30, 40, 60 cm) were drilled for the level of ground water determination. The botanical inventory of the salt marshes was carried out using the method of taxonomic analysis. Plants species abundance in the phytocoenosis was determined using the method of visual estimation according to the scale of O. Drude [10]. For mapping GPS has been used, from which received coordinates further imported to GIS inside ArcGIS 10.1 [11] program. Morphological features of plant samples will be studied using an

MBC-9 stereo microscope. Plants and habitats will be photographed with Nikon D3400 digital camera.

Results and discussion. Ararat salt marshes are a rich habitat with a great plant diversity often with a close herbaceous cover. The main edificator and the dominant species of Ararat salt marshes with a high frequency of occurrence and abundance is *Juncus acutus* L. The species forms a kind of habitat's micro-relief, consisting of tussocks 80-120 cm in diameter, up to 30 cm high, located at a distance of 100-200 cm from each other, and inter-tussocks spaces with small depressions. Tussocks consist of accumulations of old, dry parts of rhizomes, roots and stems of *Juncus*, as well as the remains of some other plants, which eventually become covered with soil. The tussocks of *J. acutus* are considered as "minimal phytogenic fields" or "edapho-spheres" [4, 12], on which many other plant species settle. According to our observations, on the tussocks of *J. acutus* grow annual, biennial and perennial plants, belonging to the main components of the community: *Microcnemum coralloides* (Loscos et Pardo) Font Quer ssp. *anatolicum* Wagenitz, *Lysimachia maritima* (L.) Gallaso, Banfi & Soldano, *Falcaria falcarioides* (Bornm. et H. Wolff) H. Wolff., *Linum barsegianii* Gabr. et Dittr., *Thesium compressum* Boiss. & Heldr., *Suaeda altissima* Pall., *S. salsa* (L.) Pall., *Cynodon dactylon* (L.) Pers., *Thymelaea passerina* (L.) Coss. & Germ., *Geranium collinum* Steph. ex Willd. and some others.

Besides *J. acutus* the most widespread, background plants on the salt marshes are such species as *Gypsophila perfoliata* L., *Thymelaea passerina* (L.) Coss. et. Germ., *Elytrigia obtusiflora* (DC.) Tzvelev, *Elytrigia repens* (L.) Nevski, *Cynanchum acutum* L., *Cynodon dactylon* (L.) Pers., *Aeluropus littoralis* (Gouan) Parl., *A. pungens* (M. Bieb.) K. Koch, *Alhagi pseudalhagi* (M. Bieb.) Desf. ex B. Keller & Shap. The predominance of listed plant species indicates the ongoing processes of dehumidification of the habitat.

One of the most common species on studied territory is *Cynodon dactylon*. This perennial plant with elongated rhizomes forms an almost closed coverage (80-100%) in many places and occupies large areas of habitat. *C. dactylon* is a natural component of the community, but its expansion leads to clogging of the phytocoenosis and can be considered as a biological threat factor. Camel thorn *Alhagi pseudalhagi*, which does not belong to the natural elements of the *Juncetea acuti* community, also actively grows due to drainage and changes in the level of groundwater in salt marshes. For comparison, in the period from 1973 to 1980, its occurrence on salt marshes was 10% [4]. Currently, camel thorn occupies entire areas, being a factor of expansion and threat to this ecosystem. *A. pseudalhagi* is distinguished by its adaptability to changing environmental conditions, high population density, which excludes the penetration of native plant species into fragments of its habitat.

The relatively common components of the phytocenosis are such species as *Althaea officinalis* L., *Calamagrostis epigejos* (L.) Roth, *C. pseudophragmites* (Haller f.) Koeler, *Carex pachystylis* J. Gay, *Centaurium pulchellum* (Sw.) Druce, *Bassia hyssopifolia* (Pall.) Kuntze, *Cirsium alatum* (S. G. Gmel.)

Bobrov, *Frankenia hirsuta* L., *Geranium collinum* Stephan ex Willd., *Inula aucheriana* DC., *Iris musulmanica* Fomin, *Linum barsegianii* Gabr. et Dittr., *Lotus tenuis* Waldst. & Kit., *Falcaria falcarioides* (Bornm. et H. Wolff) H. Wolff, *Lysimachia maritima* (L.) Galasso, Banfi & Soldano (= *Glaux maritima* L.), *Merendera sobolifera* C.A Mey., *Microcnemum coralloides* (Loscos et Pardo) Font Quer ssp. *anatolicum* Wagenitz, *Petrosimonia brachiata* (Pall.) Bunge, *Plantago lanceolata* L., *P. major* L., *P. tenuiflora* Waldst. & Kit., *Puccinella gigantea* (Grossh.) Grossh., *P. distans*, *Pulicaria vulgaris* Gaertn., *Scorzonera parviflora* Jacq., *Suaeda altissima* Pall., *S. heterophylla* Bunge ex Boiss., *S. salsa* (L.) Pall., *Sphaerophysa salsula* (Pall.) DC., *Teucrium scorodoides* Schreb and some others.

The vascular plants in the *Juncetea acuti* community are represented by three life forms: annuals, perennials and shrubs. Leading role in the vegetation cover belongs to perennial herbs, while other life forms are much less. Shrubs are represented by single specimens of *Tamarix ramosissima* Ledeb. When analyzing the taxonomic composition of the habitat's flora, the predominance of Poaceae family representatives is revealed: 37 species from 20 genera of the Poaceae family were found [13]. Other common plant families (Apiaceae, Asteraceae, Caryophylaceae, Chenopodiaceae, Fabaceae, Frankeniaceae, Geraniaceae, Iridaceae, Juncaceae, Lamiaceae, Linaceae, Malvaceae, Onagraceae, Orchidaceae) include from 1 to 9 species. The species composition of the Cyperaceae family is now significantly depleted. Occasionally such species as *Bolboschoenus maritimus* (L.) Palla, *Scirpoidea holoschoenus* (L.) Soják, *Holoschoenus vulgaris* Link, *Schoenus nigricans* L., *Acorellus pannonicus* (Jacq.) Palla, *Carex diluta* M. Bieb., *Carex pachystylis* J. Gay are met. The Chenopodiaceae species *Salicornia perennas* Willd. and *Salsola soda* L., and such marsh flora species as *Triglochin maritima* L., *T. palustris* L. (Juncaginaceae), *Alisma lanceolata* With. (Alismataceae), *Butomus umbellatus* L. (Butomaceae) are not found.

Edificators and the main components of the community are distributed over 4 layers – from the upper to the lower layer. In some areas, the vegetation is represented only by the lower layer to 5-15(20) cm in height, with the participation of some soil cover plants species such as *Aeluropus littoralis*, *A. pungens*, *Cynodon dactylon*, and by *Microcnemum coralloides* ssp. *anatolicum*, *Petrosimonia brachiata*, *Frankenia hirsuta*, *Crypsis acuteata*, *Linum barsegianii*. Sometimes creeping form of *Phragmites australis* is noted. In wet areas in the lower layer of vegetation, *Lysimachia maritima*, *Merendera sobolifera* and *Carex pachystylis* J. Gay are distributed. *Acorellus pannonicus* (Jacq.) Palla is met on some strongly moistened small fragments. The second layer (50-80 cm) is represented by *Cirsium alatum*, *Inula aucheriana*, *Thymelaea passerina*, *Falcaria falcarioides*, *Gypsophila perfoliata*, *Lythrum salicaria*, *Suaeda altissima*, *S. heterophylla*, *S. salsa*, *Bassia hyssopipholia*, *Teucrium scordioides* and others. In the third layer (1-1.2 m in height) there are such species as *Jucus acutus*, *Iris musulmanica*, while the previously observed large numbers of marsh plants *Carex diluta* M. Bieb., *Scirpoidea holoschoenus*

(L.) Soják, *Schoenus nigricans* L., *Juncus maritimus* Lam. are very rare at present. The upper fourth layer (1.5-2 m height) is represented by *Puccinellia gigantea*, *Althaea officinalis*, *Elytrigia obtusiflora*, *Phragmites australis*, *Typha domingensis*, *Tamarix ramosissima*.

Depending on the micro-relief, the depth of groundwater, humidification and salinity, the composition of the vegetation of the habitat varies. The grassy vegetation in salt marshes is dense, with coverage about 80%-100%. By the end of summer and in autumn, the cover is reduced compared to the spring vegetation, due to dehumidification of the habitat. On relatively lowered fragments with high humidity vegetation groups with *Juncus acutus*, *Althaea officinalis*, *Ononis arvensis* L., *Iris musulmanica*, *Lysimachia maritima*, *Cirsium alatum*, *Lotus tenuis*, *Lythrum salicaria* L., *Plantago maritima*, *P. tenuiflora*, *Trifolium fragiferum* L., *Geranium collinum* Steph. ex Willd., sometimes *Scirpoidea holoschoenus*, *Schoenus nigricans* L., *Carex diluta* M. Bieb., *Orchys palustris*, *Samolus valerandii* L. and some other species are observed.

In the area of Ararat salt marshes 12 rare and endangered, as well as endemic and relict plant species, included in Red Book of Plants of RA [14] were currently recorded: *Cirsium alatum* (S. G. Gmel.) Bobrov, *Inula aucheri*ana DC., *Merendera sobolifera* C. A. Mey., *Juncus acutus* L., *Puccinellia grossheimiana* V. I. Krecz., *Sphaerophysa salsula* (Pall.) DC., *Iris musulmanica* Fomin, *Falcaria falcaroides* (Bornm., H. Wolff) H. Wolff, *Microcnemum coralloides* (Loscos et Pardo) Font Quer ssp. *anatolicum* Wagenitz, *Linum barsegianii* Gabr. et Dittr., *Thesium compressum* Boiss., *Trigonella capitata* Boiss. Such species as *Cirsium alatum*, *Falcaria falcaroides*, *Linum barsegianii*, *Thesium compressum* are known in the flora of Armenia only from this habitat. It should be noted that *Microcnemum coralloides* ssp. *anatolicum*, which is a relic of the Early Miocene, is of particular interest in Ararat salt marshes. The species is included in Annex 6 of the Berne Convention. *Microcnemum* has a disjunctive range, except for Armenia, it is found in Spain, Iran, Anatolia, Syria, where it is also protected as an endangered species.

During the expeditions in June 2019 in the vicinity of Ararat town, another new fragment of salt marsh vegetation with an area of about 1.5 hectare was discovered, located around the mineral spring. The vegetation in this area is represented by all the main species that make up the *Juncetea acuti* community and is distinguished by a higher density. Rare and endangered species *Cirsium alatum*, *Inula aucheri*ana, *Juncus acutus*, *Sphaerophysa salsula*, *Iris musulmanica*, *Falcaria falcaroides* were here registered. *Microcnemum coralloides* ssp. *anatolicum* was not found.

The conducted ecological-phytocoenotic studies confirm the scientific importance of the relic salt marshes in the vicinity of Ararat town because of its originality and rich floral composition. As a result of monitoring during the period 2016-2021, new data on phytocoenotic diversity and the current ecological situation of the habitat were obtained. At present, the extant habitat of Ararat salt marshes with *Juncetea acuti* community occupies more about two times smaller area than in the 1990s before. In the context of the aggravation of

environmental problems, which is the result of the disturbance and degradation of natural ecosystems, salt marshes near Ararat are a territory that requires special environmental attention. Measures aimed at protecting and maintaining the natural state of the territory, as well as preserving the biological diversity of Ararat salt marshes should be assessed from these positions.

Rare and endangered, as well as endemic and relic species of plants growing on Ararat salt marshes are among natural objects of special protection. As a result of the monitoring, it was found that the abundance, vitality and frequency of occurrence of such rare and endangered species as *Inula aucheriana*, *Cirsium alatum*, *Merendera sobolifera*, *Juncus acutus*, *Falcaria falcaroides*, *Microcneumum coralloides* ssp. *anatolicum*, *Linum barsegianii* in the investigated territory is satisfactory. Due to intensive grazing, ignition of vegetation, drainage of marshes, there is a reduction in the number of populations of some rare and endangered species of Armenian flora such as *Thesium compressum*, *Iris musulmanica*, *Frankenia pulverulenta*, *Dianthus cyri*, *Orchis palustris*, *Puccinellia grossheimiana*, *Saussurea salsa*. Aridization, drainage, lowering of the groundwater level negatively affects the wetland flora and vegetation of this ecosystem, leading to a reduction in phytocoenosis the species of the families *Cyperaceae*, *Juncaceae*, *Juncaginaceae*, some *Chenopodiaceae* halophyte species *Salicornia perennas* Willd. and *Salsola soda* L., such marsh flora species as *Triglochin maritima* L., *T. palustris* L. (*Juncaginaceae*), *Alisma lanceolata* With. (*Alismataceae*), *Butomus umbellatus* L. (*Butomaceae*) and some others.

Conclusion. The research results revealed a tendency to decrease the naturalness of plant diversity on the territory of the Ararat salt marshes. The observed progressing desertification processes, drainage, lowering of the groundwater level and other anthropogenic factors impact, lead to a disturbance of the ecological balance of habitat and have a negative influence on the marsh flora and vegetation. This conducts to the dominance of more drought tolerant plant species in the composition of *Jucetea acuti* community, and the appearance of new species previously uncommon for this habitat.

At present, the issues of the conservation of endangered plant communities and habitats have become very urgent in the world. Relic salt marshes of the Ararat valley are a vanishing habitat. Despite the changes taking place, due to the uniqueness and rich floristic composition, preserved salt marshes habitat is of considerable scientific and aesthetic interest. In the context of the aggravation of environmental problems, which is the result of the disturbance and degradation of natural ecosystems, salt marshes near Ararat town are a territory that requires special environmental attention. Measures aimed at protecting and maintaining the natural state of the territory, as well as preserving the plant diversity of Ararat salt marshes should be assessed from this position.

In order to Ararat salt marshes with *Juncetea acuti* community and numerous endangered species of Armenian flora preservation, the following recommendations should be taken into account: reviewing the issue of raising the conservation status of relic salt marshes near Ararat town and improving

protection regime; conducting periodic monitoring and inventory of the state of vegetation and endangered species; ensuring the necessary control over the environmental changes in the habitat; search for new fragments of this community preserved in the Ararat valley; providing ecological education and the local population involvement in the “Ararat salt marshes” Natural Monument protection activities; listing it in the number of objects for the ecotourism organization. The results of present study can be used in organizing measures for the salt marshes of the Ararat valley conservation.

Institute of Botany after A. Takhtajan of NAS RA
e-mails: akopian_janna@inbox.ru, anyaghukasyan@gmail.com,
jannagevorg@mail.ru

J. A. Akopian, A. G. Ghukasyan, Zh. H. Hovakimyan

**Ecological-Phytocenotic Assessment and the Issues of Conservation
of the Ararat Valley Relic Salt Marshes**

The Ararat valley relict salt marshes with *Juncetea acuti* community represent a considerable scientific interest due to their originality and rich floristic composition. Salt marshes of Ararat are considered to be one of the refuges of the ancient Mediterranean hygro-halophytic flora and are included in the list of natural monuments of Armenia. Data on natural conditions, flora composition, ecological and phytocenotic characteristics of the habitat are given in the article. The states of rare and endangered plants species are estimated. The need of the habitat conservation regime regulation is discussed.

Ժ. Ա. Հակոբյան, Ա. Գ. Ղուկասյան, Ժ. Հ. Հովակիմյան

**Արարատյան հարթավայրի ռելիկտային աղակալած ձահիճների պահպանման
խնդիրները և էկոլոգաֆիտոցենոտիկ գնահատականը**

Արարատյան հարթավայրի ռելիկտային աղակալած ձահիճները նշանակալի գիտական հետաքրքրություն են ներկայացնում իրենց յուրօրինակությամբ և հարուստ ֆլորիստիկ կազմով։ Դրանք դիտվում են որպես հինմիջերկրածովային հիգրոհալոֆիտ ֆլորայի ապաստաններից մեկը և ընդգրկված են Հայաստանի բնության հուշարձանների ցանկում։ Եղեկություններ են քերվում բնական պայմանների, ֆլորայի կազմի, բնակմիջավայրի էկոլոգիական և ցենոտիկ բնութագրերի վերաբերյալ։ Տրվում է տարածքում աճող հազվագյուտ և վտանգված բուսատեսակների ներկա վիճակի գնահատականը։ Քննարկվում է տվյալ տարածքի պահպանման ռեժիմի կարգավորման անհրաժեշտությունը։

Ж. А. Акопян, А. Г. Гукасян, Ж. О. Овакимян

**Эколого-фитоценотическая оценка и задачи сохранения реликтовых
засоленных болот Араратской равнины**

Реликтовые ситниково-касатиковые засоленные болота Араратской равнины по своей оригинальности и богатому флористическому составу представляют значительный научный интерес. Они рассматриваются как один из рефугиумов древ-

несредиземноморской гигрогалофитной флоры и включены в список природных памятников Армении. Приводятся сведения о природных условиях, составе флоры, экологическая и ценотическая характеристика местообитания. Даны оценка состояния произрастающих здесь редких и исчезающих видов растений. Обсуждается необходимость урегулирования режима сохранения данного местообитания.

References

1. *Барсегян А. М.* Водно-болотная растительность Армянской ССР. Изд-во АН АрмССР. 1990. 354 с.
2. *Тахтаджян А. Л.* – Тр. Бот. ин-та. Арм. филиала АН СССР. 1941. № 2. С. 1-180.
3. *Тахтаджян А. Л.* – Тр. Бот. ин-та. Арм. филиала АН СССР. 1946. № 4. С. 51-107.
4. *Барсегян А. М.* – Фл., растит., раст. рес. Армении. 1991. Вып. 13. С. 207-220.
5. *Akopian J., Ghukasyan A., Hovakimyan J.* Natural monument of Armenia “Salt marshes” in the vicinity of Ararat town. 2018. Yerevan. Institute of Botany after A. L. Takhtajyan NAS RA. 120 p. “Arman Asmangulyan” Publisher House. ISBN 978-9939-875-14-9.
6. *Asatryan A., Fayvush G.* Important Plant Areas Representing the Rare and Threatened Habitat Types of Armenia. Yerevan. 2013. 78 p.
7. *Hill D., Fasham M., Tucker G. et al.* Handbook of biodiversity methods: survey, evaluation and monitoring. Cambridge University Press. 2005. 589 p.
8. *Serebryakov I. G.* Ecological morphology of plants. M. High School. 1962. 20 p.
9. *Бейдеман И. Н.* Методика изучения фенологии растений и растительных сообществ. Новосибирск. 1974. 156 с.
10. *Drude O.* Handbuch der Pflanzengeographie. 1890. Stuttgart. 582 s.
11. ESRI. ArcGIS Desktop: Release 10. Redlands, CA: Environmental Systems Research Institute, 2012.
12. *Уранов А. А.* В кн.: Проблемы современной ботаники. Т. 1. М.–Л. Наука. 1965. С. 251-254.
13. *Ghukasyan A. G., J. A. Akopian.* – Electronic Journal of Natural Sciences of NAS RA. 2018. № 1 (30). P. 3-13.
14. *Tamanyan K., Fayvush G., Nanagyulyan S. et al.* (eds.). The Red Book of Plants of the Republic of Armenia. Higher plants and Fungi. Second edition. Yerevan. Zangak. 2010. 598 p.

БОТАНИКА

УДК 634.0.11+58.006

Член-корреспондент НАН РА Ж. А. Варданян,
Н. Н. Мурадян, А. А. Григорян

Особенности создания дендроколлекций методом родовых комплексов в ботанических садах Армении и перспективы дальнейшего их обогащения

(Представлено 28/IX 2021)

Ключевые слова: интродукция, дендроколлекция, род, вид, древесное
растение, озеленение.

Многовековая история интродукции растений показала, что при их выращивании в новых условиях существования результаты не всегда удовлетворительны. Поэтому возникла необходимость разработки теоретических методов и практических способов интродукции растений. Среди многочисленных методов интродукции (климатических аналогов – Г. Мейер, агроклиматических или экологических – Г. Селянинов, флорогенетический метод – А. Кормилицын, ботанико-географический – Н. Вавилов и др.) особое место занимает метод эдификаторов интродукции родовыми комплексами Ф. Русанова [1, 2]. Каждый из перечисленных методов имеет свое преимущество и теневые стороны, потому в зависимости от цели интродукции определяется и выбор метода.

В течение нескольких десятилетий деятельности ботанических садов Армении в результате использования традиционных общепризнанных методов созданы многочисленные дендроколлекции иноземных дендрофлор – Кавказа, Северной Америки, Восточной Азии, ЕвроСибири, а также разные экобиоморфные экспозиционные коллекции. Начиная с 1970-х гг. согласно решению СБС СССР специалистами по интродукции древесных растений были начаты работы по созданию дендроколлекций по отдельным родам. Согласно предлагаемому Ф.Н. Русановым методу в конкретном районе или экорегионе для испытания мобилизуются по возможности все виды данного рода [1]. При этом выявляются особенности биологии и экологии представителей рода и возможность их освоения в новых усло-

виях существования. В этом отношении метод родовых комплексов является довольно продуктивным, и его применение создает широкие возможности для изучения вопросов приспособительной эволюции рода, потенциала приспособления и внедрения видов в данном регионе. С другой стороны, разнообразие видов во флорогенетическом отношении отражает историю рода в целом, исторические пути развития отдельных видов в разнообразных климатических условиях. Методом родовых комплексов в Ереванском ботаническом саду целенаправленно исследуются и создаются дендроколлекции нескольких относительно богатых в видовом отношении высокодекоративных представителей родов, а именно: *Syringa*, *Lonicera*, *Spiraea* [3-6], *Philadelphus* [7]. В дальнейшем планируются исследования, а также создание показательной коллекции интродуцированных представителей родов *Berberis*, *Deutzia*, *Cotoneaster* и др.

В данной работе приводится краткое обсуждение результатов исследований по интродукции отдельных родов.

Род *Syringa* L. (семейство Oleaceae). Представители рода сирени – листопадные деревья и кустарники со стволами и ветвями, покрытыми серой корой с многочисленными чечевичками. Цветы душистые в верхушечных и пазушных метельчатых соцветиях. Цветут в мае – июне. Многостороннее исследование интродукции представителей рода *Syringa* с целью создания их экспозиционного коллекционного участка – сирингария в Ереванском ботаническом саду было начато еще в 1960-е гг. [3, 8].

Известно три очага естественного распространения сирени: Восточная Азия, Гималаи и Балкано-Карпатская область. Из 28 распространенных видов сирени 22 встречаются в Китае, в провинциях Хуань, Сычуань и Юннань, а 2 вида – в долинах нижнего течения реки Амур (*S. wolfii*, *S. amurensis*). В Гималаях растут *S. afganica* и *S. emodi*. Из Балкано-Карпатских видов *S. josikaea* растет в Венгрии, *S. vulgaris* – в Болгарии. Ареал распространения последнего вида раньше был более широким, но к настоящему времени сократился и ограничен только Балканами. Теперь этот вид распространен почти повсеместно благодаря большому количеству культурных сортов. Мировой сортимент этой культуры насчитывает более 2300 описанных сортов, при этом две трети получены с участием сирени обыкновенной.

В течение нескольких десятилетий в Ереванском ботаническом саду была собрана коллекция из 20 видов и около 80 сортов сирени. К сожалению, в годы энергетического кризиса в республике наряду с другими видами большой ущерб понесла и коллекция рода *Syringa*, в результате чего многочисленные интродуцированные представители были уничтожены. Однако накопленный опыт и результаты многолетних исследований позволяют рекомендовать для широкого внедрения в озеленение республики, особенно в предгорной и лесной зонах, как красиво цветущие кустарники следующие виды сирени: *S. vulgaris*, *S. villosa*, *S. josikaea*, *S. henryi*, *S. amurensis*, *S. microphylla*, *S. tomentosa*.

Из испытанных в Ереванском ботаническом саду 120 сортов сирени

обыкновенной для массового применения в зеленом строительстве Армении вполне перспективны около 25: *Praecox Neckera*, *Leon Gambetta*, *Marie Legray*, *Lavoisie*, *Florant Stepman*, *Condoreste*, *Capitaine Nestrow*, *Nugode Vries*, *William Robinson*, *Marschal Foch*, *Vastale* и др.

Таким образом, представители рода *Syringa* благодаря своей экологической пластичности и высокой декоративной ценности, несложности выращивания посадочного материала весьма перспективны для культивирования во всех природных зонах республики.

Род *Lonicera* L. (семейство *Caprifoliaceae*). Представители данного рода – прямостоячие, стелющиеся или вьющиеся кустарники, листопадные или вечнозеленые.

Род *Lonicera* L. отличается разнообразием и богатством видового состава (около 200 видов), полиморфностью и широким ареалом, охватывающим области Северного полушария с умеренным и субтропическим, а частично и тропическим климатом и лишь частично тропические районы Малайзии. Наибольшее число (37%) из имеющихся в нашей коллекции видов в природе распространено в районах Китая, Дальнего Востока, Кореи, Японии и Монголии; 20 % – в Средней Азии и Западной Сибири; 11.4% – в Европе; 17.1 % – в Северной Америке, а остальные – на Кавказе и в Средиземноморье [4].

На территории Армении прирастают 4 видаaborигенных жимолостей: *L. caprifolium*, *L. bracteolaris*, *L. caucasica*, *L. iberica* [9].

Большинство представителей этого рода благодаря высокой декоративности используется в зеленом строительстве, некоторые же виды отличаются высокой засухоустойчивостью и перспективны при создании лесомелиоративных и декоративных насаждений в аридных регионах республики. Вьющиеся виды и формы используются преимущественно в вертикальном озеленении, украшая стены, беседки и т.п. Жимолости декоративны в течение всего вегетационного периода, особенно во время цветения и плодоношения. Несмотря на это в ассортименте декоративных растений республики они до сих пор не нашли своего места. Проводимая Л. М. Григоряном научная инвентаризация показала, что в ботанических садах и дендропарках республики собрана довольно богатая коллекция красиво цветущих интродуцированных жимолостей [10]. Высокие декоративные качества большинства видов жимолостей давно привлекали внимание садоводов. Однако в практике озеленения в настоящее время используется всего лишь несколько видов: *L. maackii*, *L. fragrantissima*, *L. tatarica*, *L. henryi*, *L. morrowii*, *L. japonica*, *L. caucasica* и *L. xylosteum*.

Исходя из этих обстоятельств в Ереванском ботаническом саду и его отделениях в 1990-х гг. проведена целенаправленная интродукция представителей этого рода с целью более детального изучения биологических особенностей отдельных представителей в новых условиях произрастания и выявления степени их приуроченности и перспективности применения.

Род *Lonicera* является одним из ценных объектов для интродукции в Армению высокодекоративных растений. Из около 200 видов его миро-

вого генофонда более 80 подлежат интродукции в Армению [4, 5]. Наиболее перспективными очагами для дальнейшей интродукции являются Восточная Азия, Центральная и горная Средняя Азия, Европа, Северная Америка. В настоящее время коллекция этого рода в Армении насчитывает 29 видов, 7 гибридов и 10 форм, в том числе в Ереванском ботаническом саду 25 видов, 3 гибрида и 6 форм.

Род *Spiraea* L. (семейство Rosaceae). Представители рода таволги – листопадные кустарники 1.5-2 м высоты с прямостоячими, раскинутыми, лежачими, поднимающимися или стелющимися ветвями. Соцветия у видов, цветущих весной, сидячие или почти сидячие зонтики или щитковидные кисти; у видов, цветущих летом, простые или сложные щитки. Цветы белые, светло- или темно-розовые, красные до пурпуровых. Цветет с апреля до октября.

О таксономии рода имеются самые разноречивые данные: по [11] в роде *Spiraea* содержится 100 видов, по [12, 13] – 90, по [14] – 80.

Представители рода *Spiraea* L. распространены преимущественно в лесостепной, степной и полупустынной зонах и субальпийском поясе гор Северного полушария – Евразии и Северной Америки. Наибольшее число видов распространено в Азии – 41, Сибири – 16, Гималаях – 13, Северной Америке – 14. На Кавказе встречается лишь 2 вида.

Благодаря большому разнообразию по форме и размеру кустов, срокам и продолжительности цветения, окраске цветков и форме соцветий они нашли широкое применение в практике озеленения: при создании живых изгородей различной высоты, в кустарниковых группах, на каменистых участках, в одиночных посадках, а также для создания садов длительного цветения.

Видовое разнообразие и декоративные особенности данного рода диктовали необходимость целенаправленной интродукции его новых декоративных и устойчивых видов в ботанические сады Армении и создания богатой коллекции для широкого использования в зеленом строительстве республики. Целенаправленная интродукция и адаптация к новым условиям произрастания высокодекоративных видов рода *Spiraea* L. в Ереванском ботаническом саду была начата в 2015 г. [6].

Была проведена инвентаризация интродуцированных видов рода *Spiraea* в ботанических садах Армении, Иджеванском дендропарке и зеленых насаждениях разного типа, уточнен видовой состав, проведен таксономический и ботанико-географический анализ. Было установлено, что виды рода *Spiraea* в коллекциях и насаждениях республики представлены очень ограниченно: *Spiraea chamaedryfolia*, *S. douglasii*, *S. Japonica*, *S. japonica f. little princess*, *S. trilobata*, *S. x vanhouttei*, *S. trichocarpa*, *S. x revirescens*.

В результате проведенных работ по интродукции научная коллекция рода *Spiraea* в ботанических садах значительно обогатилась и в настоящее время составляет 22 вида: *Spiraea alba*, *S. alpina*, *S. betulifolia*, *S. blumei*, *S. chamaedryfolia*, *S. decumbens*, *S. douglasii*, *S. fritschiana*, *S. japonica*, *S. Ja-*

ponica f. little princess, *S. mongolica*, *S. media*, *S. pubescens*, *S. x revirescens*, *S. rosthornii*, *S. Sargentiana* и др. Даны рекомендации для их целевого использования по категориям озеленения, а также для широкого использования в зеленых насаждениях в разных регионах республики [6].

Согласно результатам исследования род *Spiraea* оценивается как ценный и перспективный источник для дальнейшей интродукции новых видов (более 40 видов подлежат интродукции в Армению: *Spiraea chinensi*, *S. gemmata*, *S. lasiocarpa*, *S. menziesii*, *S. palmata*, *S. pyramidata*, *S. Beauverdiana*, *S. decumbens*, *S. cantoniensis* и др.) и широкого использования в озеленении республики.

Род *Philadelphus L.* (семейство *Hydrangeaceae*). Чубушник или садовый жасмин – листопадный кустарник. В различных регионах умеренной зоны Северного полушария распространено около 70 видов [12]. Видовым разнообразием отличаются Северная Америка (40 видов) и Китай (22) [7]. В Армении естественно растет только *Philadelphus caucasicus*, который встречается в северо-восточных лесных формациях [9].

В Армении интродукция представителей рода *Philadelphus*, как и других таксонов, тесно связана с деятельностью ботанических садов и дендропарков [15]. Несмотря на большое разнообразие видов и сортов, *Philadelphus* в садово-парковом строительстве республики используется крайне недостаточно. Наиболее распространенными являются *Ph. coronarius*, *Ph. caucasicus* и *Ph. grandifloras*.

В ботанических садах и дендропарках Армении было интродуцировано около 40 высокодекоративных видов и разновидностей чубушника, большая часть которых в составе коллекции по разным причинам не сохранилась. В роде насчитывалось 128 видов, 8 гибридов, 3 сорта и 2 формы: *Ph. coronarius*, *Ph. grandiflorus*, *Ph. Lewisii*, *Ph. Magdalena*, *Ph. nepalensis*, *Ph. pekinensis*, *Ph. satsumanus*, *Ph. Schrenkii*, *Ph. tenuifolius*, *Ph. verrucosus*, *Ph. x falconerii*, *Ph. x magnificus* и др. [16].

Эти красивые быстрорастущие кустарники засухоустойчивы, морозоустойчивы, хорошо адаптируются, обильно цветут и плодоносят, устойчивы к вредителям и болезням, выдерживают загрязнение воздуха городов и промышленных предприятий. Размножаются семенами, отводками, черенками и корневищами. Обладают естественными декоративными свойствами: окраской листьев, размером цветов, цветовыми оттенками, ароматом – и могут красиво смотреться благодаря искусственной обрезке. Преимущество чубушника в основном заключается в разнообразии сортов, представляющих большой интерес для ландшафтного дизайна. Наибольшей декоративности достигают чубушки в период цветения. В зависимости от вида период их цветения обычно составляет 2 месяца, с начала июня до конца июля. Правильный выбор видов или сортов может значительно продлить период цветения.

Среди древесных растений род *Philadelphus* более других богат душистыми растениями [17], использование которых позволяет создавать в зеленых насаждениях «Ароматные сады» – декоративные экспозиции но-

вого типа. Благодаря высокой пылеустойчивости чубушники используются также в зеленых насаждениях для защиты от пыли жилых микрорайонов, зданий и объектов [18].

Род *Deutzia* Thunb. (семейство *Hydrangeaceae*). Некоторые представители данного рода в ботанических садах Армении давно оценены по достоинству за длительное и декоративное цветение, однако до сих пор еще недостаточно изучены. В составе рода насчитывается около 50 видов лиственных кустарников, произрастающих в дикой природе Мексики, Гималаев, Восточной Азии и Дальнего Востока [12]. Этот декоративный обильно цветущий кустарник по красоте и неприхотливости можно сравнить с такими популярными культурами, как сирень и гортензия. Куст дейции бывает раскидистой или прямостоячей формы высотой от 50 см до 4 м. Именно такое разнообразие и варьирование в росте делает это растение очень привлекательным для дизайна участка. Низкорослую раскидистую дейцию часто используют в дизайне альпийских горок, а также рассаживают вдоль заборов и по бордюрам. Кустарник отлично смотрится и в одиночку на фоне зеленого газона [12].

Дейция цветет на побегах прошлого года. Красивые цветки беловатого, розового, лилового и пурпурного оттенков не имеют запаха и собраны в довольно крупные соцветия типа кисти или шара. В условиях Ереванского ботанического сада дейция зацветает сразу после сирени, но до того как начинают распускаться розы и чубушник, и сад почти без перерыва украшают цветущие кустарники.

Коллекция рода *Deutzia* ботанических садов Армении в 1990-е гг. составляла 20 таксонов [3, 16]: *D. discolor*, *D. gracilis*, *D. x lemoinei*, *D. longifolia*, *D. x magnifica*, *D. x rosea*, *D. rubens*, *D. scabra*, *D. scabra* f. *rubra* и др.

По многим литературным данным представители рода *Deutzia* не особо морозостойкие [12]. 20 видов и разновидностей дейции (*Deutzia discolor*, *D. Gracilis*, *D. grandiflora*, *D. hypoglauca*, *D. x elegantissima* и др.), прошедшие испытание в Ереванском ботаническом саду, несколько труднее приспособиваются к нашим условиям [19]. По сравнению с чубушником плодоношение более слабое, прорастаемость семян неудовлетворительная, но в то же время черенки укореняются хорошо.

Результаты многолетнего интродукционного опыта Ереванского ботанического сада таксонов дейций показывают, что 3 высокоустойчивых вида (*D. parviflora*, *D. amurensis* и *D. glabrata*) вполне перспективны для всех климатических зон республики, а другие, менее устойчивые, можно применять для озеленения в предгорных регионах, в том числе и в г. Ереване, поскольку они отличаются высокой декоративностью, особенно в период массового цветения.

Род *Berberis* L. (семейство *Berberidaceae*). Представители рода барбариса зимостойки, жароустойчивы, нетребовательны к почве, довольно светолюбивы. Отличаются формой и окрасом листьев, размерами, урожай-

ностью. У разных сортов листья бывают зеленые, желтые, пурпурные. Все барбарисы имеют простые, тройчатые или даже пятерные колючки. Цветут барбарисы начиная с конца мая и до начала июля. Цветки мелкие, душистые, золотисто-желтые, собраны в многочисленные кистевидные или щитковидные соцветия. Ягоды красные, пурпурные или черные, кислые, съедобные. Кусты раскидистые, высотой 2-2.5 м. Карликовые формы высотой 30-40 см образуют аккуратный шарик, которым можно украсить рокарий или альпийскую горку. Но главное, барбарисы незаменимы для осенних аранжировок. Многие сорта меняют окраску и становятся фантастически яркими и выразительными.

Содержит 175 видов вечнозеленых, полувечнозеленых или листопадных кустарников. Распространен в умеренных зонах Северного полушария [12]. В Армении встречаются 2 вида – *B. vulgaris* и *B. orientalis* [9]. В ботанических садах и дендропарках Армении интродуцировались 53 вида и разновидностей [16]: *B. amurensis*, *B. brachypoda*, *B. concinna*, *B. canadensis*, *B. duelsiana*, *B. francisci-ferdinandi*, *B. gagnepainii*, *B. Gilgiana*, *B. hookeri*, *B. julianae*, *B. ilicifolia*, *B. integrerrima*, *B. levis*, *B. lycium* и др. Ботанико-географический анализ испытанных видов показал, что особенно хорошо прижилась *Berberis amurensis*, ежегодно обильно цветут и плодоносят *B. thunbergii*, *B. aggregate*, *B. cretica* [5, 20].

Представители рода *Berberis* пригодны для использования в ландшафтном дизайне: живых изгородях, групповых насаждениях, каменистых садах. Высокодекоративные качества барбариса проявляются в яркой листве (желтой, пурпурной, серебристо-окаймленной и пятнистой), ярких, долго остающихся на кустарнике плодах, они хорошо переносят обрезку.

Род *Cotoneaster* Medik. (семейство Rosaceae). Кизильники – листопадные или вечнозеленые кустарники. Около 50-60 видов рода произрастают в Евразии, Северной Африке и Северной Америке [12, 14]. Произрастают от предгорий до альпийского пояса, на каменистых склонах, скалах, осыпях, речных обрывах, лесных опушках. В отличие от предыдущих родов в составе аборигенной дендрофлоры представлен довольно богато – *Cotoneaster integerrimus*, *C. melanocarpus*, *C. Meyeri*, *C. multiflorus*, *C. saxatilis*, *C. suavis* и *C. armenus*. Последний является эндемиком для дендрофлоры Армении [9].

Декоративные кизильники отличаются разнообразием габитуса, обилием цветения и плодоношения, ярко выраженной осенней окраской листьев. Особую ценность как высокодекоративные растения кизильники приобретают в осенний период, когда усыпаны разноцветными округлыми, одиночными, парными или убранными в небольшие щитки плодами. Однако в Армении эти оригинальные растения до сих пор применяются очень мало. В ботанических садах и дендропарках Армении коллекция рода *Cotoneaster* была представлена 32 видами (1985 г.) [16]: *Cotoneaster acutifolius*, *C. adpressus*, *C. baciliaris*, *C. cooperi*, *C. dammeri*, *C. dielsiana*, *C. disticha*, *C. divaricatus*, *C. fovelata*, *C. franchetii*, *C. frigida*, *C. horizontalis* и др.

Кизильники пригодны для озеленения почти всех населенных пунктов республики. В ландшафтном дизайне широко распространен *C. horizontalis*. Известен также и *C. lucida*, который широко используется в озеленении республики. Для дальнейшей интродукции рекомендуются также виды *Cotoneaster mongolica*, *C. melanocarpa* [5].

Таблица 1

Декоративная оценка представителей некоторых родов, интродуцированных в ботанических садах Армении

Род	Число интродуцированных видов и разновидностей	Декоративные качества			Целенаправленное применение в озеленении			
		окраска, величина цветков	обилие и цвет плодов	осенняя окраска листьев	в качестве солитера	для групповых посадок	для живых изгородей	для вертикального озеленения
<i>Syringa</i> L.	20	+	-	-	+	+	-	-
<i>Lonicera</i> L.	46	+	+	-	+	+	-	+
<i>Spiraea</i> L.	22	+	-	+	+	+	+	-
<i>Philadelphys</i> L.	40	+	-	-	+	+	+	-
<i>Deutzia</i> Thunb.	20	+	-	-	+	+	-	-
<i>Berberis</i> L.	53	+	+	+	+	+	-	-
<i>Cotoneaster</i> Medik.	32	+	+	+	+	+	-	+

Таблица 2

Состояние и перспективы интродукции представителей некоторых таксонов по родовым комплексам в ботанических садах Армении

Род	Мировой генофонд (число видов)	Число интродуцированных видов в Армении	Число видов, подлежащих дальнейшей интродукции	Наиболее устойчивые и высокодекоративные виды
<i>Syringa</i> L.	28	20	28	20
<i>Lonicera</i> L.	200	46	80	37
<i>Spiraea</i> L.	90	22	40	19
<i>Philadelphys</i> L.	70	40	47	20
<i>Deutzia</i> Thunb.	50	20	10	15
<i>Berberis</i> L.	175	53	30	50
<i>Cotoneaster</i> Medik.	60	32	13	29

Резюмируя результаты исследования по интродукции вышеуказанных таксонов по методу родовых комплексов в ботанических садах Армении, следует отметить, что большинство представителей изученных родов вполне пригодны для создания показательной богатой коллекции в условиях ботанического сада и перспективны при создании различных композиционных оформлений в зеленом строительстве республики (табл. 1, 2). В составе аборигенной дендрофлоры отсутствуют представители родов *Syringa* и *Deutzia*, очень бедно представлены роды *Spiraea* (2 вида), *Berberis* (2) и *Philadelphus* (1). Что касается остальных родов, то их состав в Армении относительно богат: *Lonicera* – 4 вида, а *Cotoneaster* – 8. В настоящее время целенаправленно исследуется род *Philadelphus*, а в дальнейшем намечаются исследования и по родам *Berberis*, *Deutzia* и *Cotoneaster*.

Институт ботаники им. А. Тахтаджяна НАН РА
e-mail: nelli.muradyan12@gmail.com

**Член-корреспондент НАН РА Ж. А. Варданян,
Н. Н. Мурадян, А. А. Григорян**

**Особенности создания дендроколлекций методом родовых
комплексов в ботанических садах Армении и перспективы
дальнейшего их обогащения**

Обсуждаются результаты интродукции и создания показательных дендроколлекций ряда таксонов (*Syringa*, *Lonicera*, *Spiraea*, *Philadelphus*) методом родовых комплексов, а также создание соответствующих высокодекоративных коллекций из родов *Berberis*, *Deutzia*, *Cotoneaster* в ботанических садах Армении.

**ՀՀԳԱԱ թղթակից անդամ Ժ. Հ. Վարդանյան,
Ն. Ն. Մուրադյան, Ա. Ա. Գրիգորյան**

**Ցեղային կոմպլեքսի մեթոդով դենդրոհավաքածուների ստեղծման
առանձնահատկությունները և դրանց հետագա հարստացման հեռանկարները
Հայաստանի բուսաբանական այգիներում**

Քննարկում են ցեղային կոմպլեքսի մեթոդով մի շարք տարսունների (*Syringa*, *Lonicera*, *Spiraea*, *Philadelphus*) ներկայացուցիչների ներմուծման և ցուցադրական դենդրոհավաքածուների ստեղծման արդյունքները, ինչպես նաև *Berberis*, *Deutzia*, *Cotoneaster* ցեղերի բարձր գեղազարդ տեսակների հետագա ուսումնասիրության և համապատասխան հավաքածուների ստեղծման հեռանկարները Հայաստանի բուսաբանական այգիներում:

**Corresponding member of NAS RA Zh. H. Vardanyan,
N. N. Muradyan, A. A. Grigoryan**

**Features of Creating Dendrological Collections by the Method of Generic
Complexes in the Botanical Gardens of Armenia and Prospects
for Further Their Enrichment**

Results of introduction and creation of dendrological collections of a number of taxa (*Syringa*, *Lonicera*, *Spiraea*, *Philadelphus*) by the method of generic complexes are discussed. Further research and creation of appropriate highly ornamental collections from the genera *Berberis*, *Deutzia*, *Cotoneaster* in the botanical gardens of Armenia are proposed.

Литература

1. *Русанов Ф. Н.* – Бюлл. ГБС. 1971. Т. 71. С. 15-20.
2. *Русанов Ф. Н.* В кн.: Материалы Междунар. симп. по биологии древесных растений. Нитра. 1973. С. 543-546.
3. *Лавчян Э. К.* – Бюлл. Бот. сада АН АрмССР. 1979. № 25. С. 65-73.
4. *Григорян Л. М.* – Изв. с.-х. наук. Ереван. 1994. № 7-12. С. 229-335.
5. *Варданян Ж. А.* Научные основы интродукции древесных растений в Армении. Ереван. Гитутюн. 2012. 398 с.
6. *Мурадян Н. Н.* Оценка рода *Spiraea* L. как источника интродукции высокодекоративных видов для Армении. Автореф. канд. дис. Ереван. 2020. 26 с.
7. *Варданян Ж. А., Григорян А. А.* – Биолог. журн. Армении. 2021. Т. 73. № 1. С. 71-80.
8. *Лавчян Э. К.* Род *Syringa* и его интродукция в Армянской ССР. Автореф. канд. дис. Ереван. 1971. 28 с.
9. *Варданян Ж. А.* Деревья и кустарники Армении в природе и культуре. Ереван. Ин-т ботаники НАН РА. 2003. 367 с.
10. *Григорян Л. М.* Био-экологические особенности представителей рода *Lonicera* L., интродуцированных в Армению. Автореф. канд. дис. Ереван. 1996. 20 с.
11. *Lemée A.* Dictionnaire descriptif et synonymique des genres de plantes phanérogames. V. 6. Brest. Impr. commerciale et administrative. 1935. P. 234-236.
12. Деревья и кустарники СССР. Т. I-VI. М. – Л. 1949-1962.
13. *Соколов С. Я., Связева О. А.* География древесных растений СССР. Деревья и кустарники СССР. Т. 7. М. – Л. Наука. 1965. 265 с.
14. *Rehder A.* Manual of cultivated trees and shrubs. The Macmillan Co. New-York. 1949. P. 327-342.
15. *Ярошенко Г. Д., Григорян Е. А., Лавчян Э. К.* – Бюл. Бот. сада АН Арм. ССР. № 13. 1953. С. 43-49.
16. Анnotated catalog of trees and shrubs of botanical gardens and dendroparks of Armenia. – Бюл. Бот. сада АН Арм. ССР. № 27. 1985. 164 с.

17. *Камалян Н. С.* Душистые древесные растения и перспективы их использования в озеленении. Автореф. канд. дис. Ереван. 1997. 27 с.
18. *Тарасова Ж. Г., Агаджанян Г. В.* – Бюл. Бот. сада АН Арм. ССР. № 26. 1985. С. 71-76.
19. *Лавчян Э. К.* – Бюл. Бот. сада Арм. ССР. 1985. № 26. С. 51-60.
20. *Арутюнян Л. В.* – Бюл. Бот. сада АН Арм. ССР. 1973. № 23. С. 5-50.

ՀԱՅԱՍՏԱՆԻ ԳԵՏՈՒԹՅՈՒՆՆԵՐԻ ԱԶԳԱՅԻՆ ԱԿԱԴԵՄԻԱ
ՀԱЦԻՈՆԱԼԻ ԱԿԱДЕՄԻՅԱ ՆԱՅԿ ԱՐՄԵՆԻԻ
NATIONAL ACADEMY OF SCIENCES OF ARMENIA
ДОКЛАДЫ ԶԵԿՈՒԹՅՈՒՆՆԵՐ REPORTS

Հատոր
Տօմ
Volume 121

2021

№ 4

ԲՈՒԽԱԲԱՆՈՒԹՅՈՒՆ

ՈՒՏԴ 581

Ժ. Հ. Հովակիմյան, Գ. Մ. Ֆայվուշ,
ՀՀ ԳԱԱ թղթակից անդամ Ժ. Հ. Վարդանյան

Հայաստանի դենդրոֆլորայի որոշ հազվագյուտ
ռելիկտային ներկայացուցիչների էկոլոգիական
հարմարվողականությունը *in situ* և *ex situ* պայմաններում

(Ներկայացված է 13/IX 2021)

Բանալի բառեր. հազվագյուտ և վտանգված ռելիկտային ծառաբույ-
սեր, ջրային ռեժիմ, ֆոտոսինթեզ, տրանսպիրացիա, քլորոֆիլ-էկոլո-
գիական հարմարվողականություն:

Հայաստանը տիպիկ լեռնային երկիր է, ունի հարուստ բնական էկոհամակարգեր և կլիմայական, ռելիկտային ու հողային բազմազանություն, որոնք նպաստել են ինքնատիպ ու հարուստ կենսաբազմագանության ձևավորմանը: Մեր մոլորակի բուսական աշխարհի, բույսերի առանձին տեսակների և ընդհանրապես էկոհամակարգերի պահպանման խնդիրը միջազգային բնապահպանական կոնվենցիաների ուշադրության կենտրոնում է: Էկոհամակարգերի, ինչպես նաև առանձին տեսակների *in situ* և *ex situ* պահպանության անհրաժեշտությունը սահմանված է 2010 թ.-ին Այհիշտում ընդունված «Պահպանության և օգտագործման նպատակային խնդիրներում» [1]:

Վերջին տարիներին Կարմիր գրքում ներառված բույսերի և կեն-
դանիների հազվագյուտ ու վտանգված տեսակների բաշխման վերլու-
ծության հիման վրա [2] հայտնաբերվել են կենսաբազմազանության «թեժ կետեր», որոնք բուսաբանական ու բնապահպանական տեսանկ-
յունից հատուկ կարևորություն ներկայացնող տարածքներ են (ԿԲՏ) [3-6]: Դրանցից շատերը մեծ արժեք են ներկայացնում նաև որպես էն-
դեմիկ, ռելիկտ և վտանգված բուսատեսակների պոպուլյացիաներ

կրող և առանձնահատուկ ֆլորիստիկ հարստություն ներկայացնող տարածքներ: Վերջին տասնամյակներին Հայաստանի էկոհամակարգերը և կենսաբազմազանությունը ենթարկվել են մարդածին ինտենսիվ ներգործության (անտառների հատում, ջրային և կենսաբանական ռեսուրսների գերօգտագործում, տնտեսության ձյուղերի զարգացում), որոնց հետևանքով դեգրադացվել են բնական էկոհամակարգերը, տեղի է ունեցել առանձին տեսակների բնական միջավայրի կորուստ, կրծատվել են դրանց արեալները, փոփոխվել է պոպուլյացիաների քանակական և որակական կազմը [2]:

Կենսաբազմազանության մեկ այլ սպառնալիք է կլիմայի փոփոխության ազդեցությունը: Ուսումնասիրությունները ցույց են տվել, որ կլիմայի փոփոխությունը հատկապես կարող է ազդել էկոլոգիական փոքր ամպլիտուդով հազվագյուտ տեսակների վրա, որի արդյունքում որոշ հազվագյուտ և վտանգված տեսակներ կհայտնվեն անհետացման եզրին: Կանխատեսվող ջերմաստիճանի բարձրացման և տեղումների նվազման դեպքում պետք է սպասել կլիմայի չորության և անապատացման պրոցեսների արագացում [7–9]:

Հազվագյուտ և վտանգված բուսատեսակների պահպանության գործում կարևոր դեր է վերապահվում բուսաբանական այգիներին, դենդրոպարկերին, որոնց գործունեության առաջնահերթ խնդիրներից է *ex situ* պայմաններում տեղական ֆլորայի պահպանությունը բույսերի հավաքածուների ստեղծման, ցուցադրման և պահպանման միջոցով [9–11]: Հազվագյուտ ծառաթփատեսակների կենսակառուցվածքային առանձնահատկությունների ուսումնասիրությունը չափազանց կարեվոր է դրանց հարմարվողականության բնույթի պարզաբանման և վերաբերադրության ապահովման համար: ՀՀ բուսաբանական այգիներում հազվագյուտ և անհետացող ծառաթփատեսակների հարմարվողականության հետ կապված՝ այդ տեսակները բնական պայմաններում պահպանելու, դրանց վերականգնումն ապահովելու և մշակության մեջ լայնորեն ներդնելու համար կատարվել են մի շարք հետազոտություններ [9, 10–13] և այլք:

Այդ առումով տարբեր կլիմայական պայմաններում բույսերի ջրային ռեժիմի, տրանսպիրացիայի ինտենսիվութետիկ գործունեության ուսումնասիրությունները չափազանց կարևոր են: Ելնելով դրանից՝ մեր հետազոտության նպատակն է ուսումնասիրել Իջևանի ֆլորիստիկ շրջանում տարածված հազվագյուտ ռելիկտային ծառաբույսերի էկոֆիզիոլոգիական որոշ առանձնահատկություններ և դրանց հարմարվողականության աստիճանը մշակության պայմաններում Երևանի և Վանաձորի բուսաբանական այգիներում: Իջևանի ֆլորիստիկ շրջանի հարուստ և փարթամ բուսականության կազմում

առանձնակի տեղ են գրավում հազվագյուտ ծառաբույսերը, այդ թվում և ռելիկտները, որոնցից Կարմիր գրքում գրանցված են տասնյակ տեսակներ [2]: Հաշվի առնելով կենսաբազմազանության պահպանման գործում վերջիններիս էկոլոգիական հարմարվողականության առանձնահատկությունները ինչպես *in situ*, այնպես էլ *ex situ* պայմաններում՝ մեր կողմից իրականացվել են ՀՀ Կարմիր գրքում ընդգրկված *Corylus colurna L.*, *Taxus baccata L.*, *Staphylea pinnata L.* ռելիկտային ծառատեսակների էկոֆիզիոլոգիական առանձնահատկությունների ուսումնասիրություններ:

Corylus colurna L. (Corylaceae) ՀՀ Կարմիր գրքում գրանցված է որպես «Վտանգված տեսակ» (EN): Հանդիպում է Իջևանի ֆլորիստիկ շրջանում (Սևքար, Գետահովիտ, Ենոքավան, Ոսկեպար): Իջևանի տարածքում է գտնվում «Արջատիվենու» պետական արգելավայրը, որտեղ G1.A7311 էկոհամակարգում այն շատ առատ ներկայացված է (Կադնու-բոխու-արջատիվենու անտառ): Այլ վայրերում արջատիվենին սովորաբար հանդիպում է կադնու-բոխու անտառային համակեցություններում՝ փոքր խմբերով կամ առանձյակներով [7, 13]: Աճում է միջին լեռնային գոտում՝ ծովի մակարդակից 1200-1500 մ բարձրությունների վրա: Գերադասում է հարուստ և խոնավ փուլսը հողեր, զգայուն է օդի հարաբերական խոնավության և հողի հիմնայնության նկատմամբ: Բազմանում է սերմերով, տալիս է բնական վերած: Մնացի արդյունաբերության մեջ օգտագործվում է թարմ, մի փոքր չորացրած, հիմնականում հրուշակեղենի մեջ: Բարձր յուղայնությամբ ուտելի ընկույզներով, գեղեցիկ վարդագույն արժեքավոր բնափայտով ծառ է: Պտուղները հարուստ են A, B1, C վիտամիններով: Ժողովրդական բժշկության մեջ տերևների խառնուրդն օգտագործվում է լյարդի և լեղապարկի հիվանդությունների, իսկ տերևների և ճյուղերի կեղեկի խառնուրդը՝ արյան մեջ խոլեստերինի մակարդակը նվազեցնելու, ինչպես նաև երակների վարիկող հիվանդության բուժման նպատակով [7, 11, 14, 15]: Հայաստանի սահմաններից դուրս տարածված է Բալկանյան թերակղզում, Փոքր Ասիայում, Իրանում, Հիմալայներում, Կովկասի սահմաններում՝ Դաղստանում, Արևելյան և Արևելյան Անդրկովկասում, Թաղիշում:

Taxus baccata L. (Taxaceae) ՀՀ Կարմիր գրքում գրանցված է որպես «Խոցելի տեսակ» (VU): Հանդիպում է Իջևանի (Ախնաբաղի և Ոսկեպարի կենու պուրակներում և հարակից անտառներում) և Զանգեզուրի (Շիկահողի պետական արգելոց) ֆլորիստիկ շրջաններում: Աճում է ստորին և միջին լեռնային գոտիներում՝ ծովի մակարդակից 700-1500 մ բարձրությունների վրա՝ գետերի ափերին, խոնավ անտառային համակեցություններում: Երբեմն ձևավորում է մաքուր (միատարր) կենու պուրակներ (Էկոհամակարգ G3.97B), ավելի հաճախ հանդիպում է

հաճարենու անտառներում՝ եզակի անհատներով (Էկոհամակարգ G4.91) [7, 13]: Ստվերատար է, մեզոֆիլ, լավ է աճում թույլ թթվային և չեղոք ռեսակցիա ունեցող հողերում: Պտուղները քաղցրահամ են, ուտելի թռչունների կողմից, որոնք ել կենու հիմնական տարածողներն են: Բազմանում է սերմերով և կտրոններով: Կարող է օգտագործվել սիրտանոթային համակարգի հիվանդությունների բուժման նպատակով: Մերմերը պարունակում են եթերային և ձարպային յուղեր: Ունի արժեքավոր բնափայտ [16, 7, 12]: Հայաստանի սահմաններից դուրս տարածված է Կովկասում, Եվրոպայում, Միջերկրածովյան ավազանի երկներում, Փոքր Ասիայում և Հարավային Աֆրիկայում:

Staphylea pinnata L. (*Staphyleaceae*) ՀՀ Կարմիր գրքում գրանցված է որպես «Խոցելի տեսակ» (VU), (G1. A324-AM): Հանդիպում է միայն Իջևանի ֆլորիստիկ շրջանում (Իջևան, Բարեկամավան, Սևքար, Բագրատաշեն): Աճում է ստորին լեռնային գոտում՝ ծովի մակարդակից 600-950 մ բարձրությունների վրա, սովորաբար բոխու անտառներում՝ ենթանտառային թփուտներով: Բարեկամավանի շրջակայքում նկարագրված է G1.A324 Էկոհամակարգը (բոխու անտառ՝ ենթանտառում *Staphylea pinnata*), որի կազմում գերակշռում է ենթանտառում [8]: Զերմասեր և խոնավասեր է պահանջկոտ օդի հարաբերական խոնավության նկատմամբ, լավ է աճում փուխր և բերրի հողերում: Բազմանում է սերմերով, անդախտով և արմատային մացառներով: Ծաղկափթությունները պարունակում են մեծ քանակությամբ վիտամին C: Մերմերը պարունակում են պիստակի յուղ հիշեցնող ձարպեր: Արժեքավոր մեղրատու է: Օգտագործվում է որպես դեկորատիվ բույս [7, 12]: Հայաստանի սահմաններից դուրս տարածված է Եվրոպայում, Միջերկրածովյան ավազանում, Փոքր Ասիայում, Կովկասում, Արևմտյան և Արևելյան Անդրկովկասում:

Նյութ և մեթոդ: Ուսումնասիրություններն իրականացվել են 2016-2019 թթ.-ին Իջևանի ֆլորիստիկ շրջանում (ստորին անտառային գոտի, 630-750 մ), Երևանի (կիսաանապատային գոտի, 1200-1250 մ) և Վանաձորի (մեզոֆիլ անտառային գոտի, 1400-1500 մ) բուսաբանական այգիներում: Որպես ուսումնասիրության օբյեկտ ծառայել են *Corylus colurna* L., *Taxus baccata* L. *Staphylea pinnata* L. հազվագյուտ բուսատեսակները: Ուսումնասիրված ծառաթփատեսակներն ընդհանուր առմամբ շերմասեր են, լավ են աճում խոնավ, ստվերոտ, չափավոր տաք վայրերում, ունեն բարեխառն գոտուն բնորոշ կենսամորֆոլոգիական կառուցվածք, որն ել հնարավորություն է տալիս ծառաթփատեսակներին ապահովելու իրենց բնականոն կենսագործունեությունն ու վերաբառությունը [12, 17]:

Մեր կողմից առաջին անգամ ուսումնասիրվել են վերևում նշված տեսակների էկոֆիզիոգիական առանձնահատկությունները (ջրային ռեժիմ, ջրային անբավարարություն, տրանսպիրացիայի և ֆոտոսինթեզի ինտենսիվություն, պլաստիդային պիզմենտների քանակ, ասիմիլացիոն ցուցանիշներ՝ ելնելով բուսական օրգանիզմի ամբողջականության սկզբունքից՝ հաշվի առնելով կլիմայի չորության ինդեքսը [18]: Կլիմայի չորության աստիճանը բնութագրող ցուցանիշը, ըստ Մարտոնի՝ $I=P/(t + 10)$ հարաբերակցությունն է, որտեղ I -ն կլիմայի չորության ինդեքսն է, P -ն՝ տարեկան տեղումների քանակը (մմ), իսկ t -ն՝ միջին ջերմաստիճանը ($^{\circ}\text{C}$) (աղյուսակ 1): Հետազոտություններն իրականացվել են ինչպես բնության մեջ (իջևան քաղաքի շրջակայքում), այնպես էլ Երևանի և Վանաձորի բուսաբանական այգիներում:

Աղյուսակ 1
**2016-2019 թթ. մարտ-հոկտեմբեր ամիսների համեմատական եղանակային
տվյալները (միջին ամսական ջերմաստիճանի և տեղումների քանակ) և
հետազոտվող տարածքների համար հաշվարկված կլիմայի
չորության ինդեքսը**

Ամիսներ	Երևան (1200-1250 մ)			Իջևան (630-750 մ)			Վանաձոր (1400-1500 մ)		
	Միջին ջերմ., $^{\circ}\text{C}$	Տեղումների քանակ	Կլիմայի չորության ինդեքս	Միջին ջերմ., $^{\circ}\text{C}$	Տեղումների քանակ	Կլիմայի չորության ինդեքս	Միջին ջերմ., $^{\circ}\text{C}$	Տեղումների քանակ	Կլիմայի չորության ինդեքս
Մարտ	8.7	26.6	1.4	7.5	40.6	2.3	4.9	43.1	2.8
Ապրիլ	13.5	18.2	0.7	11.0	42.2	1.9	8.6	41.3	2.2
Մայիս	18.1	51.2	1.8	16.2	90.2	3.4	13.6	103.3	4.4
Հունիս	23	27.7	0.8	20.6	78.4	2.5	17.2	96.8	3.5
Հուլիս	27.5	14.2	0.3	23.5	55.8	1.6	19.9	61.4	2.0
Օգոստոս	27.4	6.0	0.1	23.5	22.5	0.6	20.0	32.3	1.1
Սեպտեմբեր	22.5	9.5	0.3	18.5	28.1	0.9	15.5	40.9	1.6
Հոկտեմբեր	14.0	30.4	1.3	12.9	33.7	1.4	10.4	40.9	2.0
Նոյեմբեր	6.7	41.8	2.5	6.7	27.3	1.6	3.6	32.6	2.3
Միջին տարեկան	17.9	25.0	1,0	15.6	46.5	1.8	12.6	54.7	2.4

Աղյուսակի (1) վերլուծությունից պարզ են դառնում, որ որքան փոքր է արիդային ինդեքսը, այնքան մեծ է կլիմայի չորության պայմանները:

Հետազոտությունների իրականացման ժամանակ բոլոր չափումները կատարվել են ժամը 11⁰⁰-13⁰⁰-ընկած ժամանակահատվածում, յուրաքանչյուր չափում արվել է 3 կրկնողությամբ և երեքական տարբերակներով: Ֆիզիոլոգիական հետազոտությունները կատարվել են ընդունված մեթոդներով [19, 20], և բերված տվյալները ներկայացնում են կատարված անալիզների միջին արդյունքները, որոնք ենթարկվել են վիճակագրական մշակման: Ենթափորձային օբյեկտների ինտենսիվ աճման շրջանում որոշվել են բույսերի ջրային ռեժիմի ցուցանիշները (ազատ և կապված ջուր, ջրային անբավարարություն), տրանսպիրացիայի և ֆոտոսինթեզի ինտենսիվությունը, քլորոֆիլի քանակը և ասիմիլյացիոն ցուցանիշները: Ֆոտոսինթեզի ինտենսիվության, ինչպես նաև պլաստիդային պիզմենտների քանակական և որակական փոփոխությունները լուսային էներգիան կլանելու և քիմիականի վերափոխելու գործում կատարում են կարևոր դեր: Այդ նպատակով որոշվել են քլորոֆիլի քանակը, "a" և "b" տեսակների քանակական փոփոխությունները, որն ի վերջո պատկերացում է տալիս կլիմայական փոփոխությունների ընթացքում հազարյուտ տեսակների ֆոտոսինթետիկ ապարատի հարմարվողականության և CO₂ ասիմիլյացներու մասին [21]:

Արդյունքներ և քննարկում: ՀՀ բուսաբանական այգիներում ծառաթփատեսակների էկոֆիզիոլոգիական հարմարվողականության հետ կապված կատարվել են մի շարք հետազոտություններ [22], որոնցում ստացված տվյալները որոշակիորեն համընկնում են նաև մեր կողմից ստացված ցուցանիշների հետ:

Բույսերի էկոֆիզիոլոգիական առանձնահատկությունների պարզաբնանն ուղղված աշխատանքներում առանձնահատուկ ուշադրություն է դարձվում դրանց ջրային ռեժիմին, որը բացատրվում է բուսական օրգանիզմի կյանքում ջրի անփոխարինելի դերով: Ուստի առավել դրական արդյունք ստանալու համար խիստ կարևորվում են ջրային ռեժիմի ուսումնահրությունները, քանի որ ջուրն այն միջավայրն է, որտեղ կատարվում են բույսերի կենսագործունեության ռեակցիաները, նյութերի կլանումը, տեղաշարժը, շրջապտույտը և այլն: Ելնելով այդ հանգամանքից՝ մեր ուսումնասիրություններն ընդունվել են տարբեր կլիմայական պայմաններում աճող հազարյուտ բուսատեսակների ջրային ռեժիմի հարցերը (աղյուսակ 2):

Ուսումնասիրության արդյունքներից պարզվում է, որ, ըստ կլիմայի չորության ինդեքսի և աճելավայրի բարձրության, ջրային ռեժիմի ցուցանիշները բաշխվել են հետևյալ կերպ: Իջևանի և Վանաձորի

Աղյուսակ 2

**Զբային ռեժիմի և տրանսպիրացիայի ինտենսիվության ցուցանիշներն ըստ
աճելավայրի հիպսոմետրիկ բարձրությունների
(2016-2019 թթ. միջին ցուցանիշներ)**

Բարձր., մ	Զրի ձևերը, % թաց քաշից (M,m)					Տրանսպ. ինտ-ր, մգ/գ թաց քա- շից, ժամ
	Ընդհանուր ջուր	Ազատ ջուր	Կապված ջուր	Ազատ/ Կապված	Զբային անբավ.	
<i>Չոնցոլենի փետրատերի (Staphylea pinnata L.)</i>						
Իջևան, 630-750	75,00±0,71	50,00	25,00	2	25,37±0,77	470,58±0,75
Երևան, 1200-1250	66,66±0,64	44,44	22,22	2	24,81±0,68	240,00±0,61
Վանաձոր, 1400-1500	78,43±0,82	54,29	24,14	2	28,50±0,89	692,30±0,75
<i>Կենի հատապտղային (Taxus baccata L.)</i>						
Իջևան, 630-750	79,41±1,29	52,94	26,47	2	4,76±0,89	352,94±1,28
Երևան, 1200-1250	63,07±0,94	42,05	21,02	2	3,84±0,85	193,54±1,13
Վանաձոր, 1400-1500	80,59±0,87	55,73	24,86	2	6,54±0,78	358,20±1,22
<i>Արջատիլենի (Corylus colurna L.)</i>						
Իջևան, 630-750	80,00±0,92	53,34	26,66	2	37,45±1,08	444,89±0,84
Երևան, 1200-1250	61,42±0,73	40,95	20,47	2	35,06±0,69	240,00±1,24
Վանաձոր, 1400-1500	83,67±0,95	57,78	25,89	2	38,65±1,14	461,53±0,86

բուսաբանական այգում, ի տարբերություն Երևանի բուսաբանական այգու, ընդհանուր և ազատ ջրի ցուցանիշն ավելանում է, իսկ կապվածինը՝ նվազում: Դեռ է նշել նաև այն փաստը, որ ավելանում են նաև ջրային անբավարարությունը, ջուր պահելու ունակությունը և տրանսպիրացիայի ինտենսիվությունը, որոնք պայմանավորված են էղաֆիկ, եղանակային պայմանների փոփոխությամբ և արտաքին (լույսի ինտենսիվություն, մթնոլորտային գրւորշիների ձևավանդականություն) ու ներքին (հերձանցքների թիվ, տերևների դիֆուզիոն դիմադրողականություն) պայմանների համալիր ազդեցությամբ: Սա պայմանավորված է նաև այն հանգամանքով, որ բոլոր տեսակները մեզոֆիլ են և ավելի լավ են հարմարված Կովկասյան տարածաշրջանի

համեմատաբար մեզոֆիլ կլիմայական պայմաններին, իսկ Երևանը գտնվում է Հին Միջերկրական շրջանի արիդային հայ-իրանական պրովինցիայի սահմաններում [23]: Բոլոր ցուցանիշները սերտ կապված են միմյանց հետ, և տվյալ էկոլոգիական պայմաններում դրանց ներդաշնակ առկայությունն ապահովում է բույսերի հոմեոստազն ու դինամիկ կենսագործունեությունը:

Ուսումնասիրություններ են կատարվել նաև վերը նշված ծառաբույսերի տերևներում քլորոֆիլի պարունակության և ֆոտոսինթեզի ինտենսիվության հետ կապված (աղյուսակ 3):

Աղյուսակ 3
Քլորոֆիլի պարունակության, ֆոտոսինթեզի ինտենսիվության և ասիմիլյացիոն միջին ցուցանիշներ (2016-2019 թթ.)

Բարձր., մ	Քլորոֆիլ, մգ/դմ ²				Ֆոտ. ինտ. մգ CO ₂ դմ ² /ժամ	Ասիմիլյացիոն թիվ
	a	B	a+b	a/b		
<i>Չոնօղենի փետրատերև (Staphylea pinnata L.)</i>						
Իջևան, 630-750	5,44±0,6	1,70±0,2	7,14	3,20	8,8±0,5	1,48±0,8
Երևան, 1200-1250	4,25±0,4	1,16±0,1	5,41	3,66	6,4±0,2	1,38±0,2
Վանաձոր, 1400-1500	5,25±0,7	1,67±0,4	6,92	3,14	9,2±0,9	1,60±0,7
<i>Կենի հատապտղային (Taxus baccata L.)</i>						
Իջևան, 630-750	4,56±0,5	1,81±0,4	6,37	2,51	8,6±0,3	1,53±0,2
Երևան, 1200-1250	3,18±0,2	1,02±0,1	4,2	3,11	5,4±0,4	1,35±0,3
Վանաձոր, 1400-1500	4,02±0,9	1,72±0,6	5,74	2,33	10,4±0,8	1,82±0,5
<i>Արջատիլենի (Corylus colurna L.)</i>						
Իջևան, 630-750	5,16±0,4	1,62±0,3	6,78	3,18	10,2±0,2	1,36±0,2
Երևան, 1200-1250	4,11±0,3	1,04±0,1	5,15	3,95	6,7±0,5	1,29±0,3
Վանաձոր, 1400-1500	4,94±0,5	1,06±0,3	6,00	4,66	11,9±0,8	1,58±0,5

Հստ արյուսակ 3-ի վերլուծության՝ աճելավայրի բարձրությունը և, համապատասխանաբար, լուսավորության ինտենսիվության բարձրացումը հանգեցնում են ընդհանուր քլորոֆիլի պարունակության նվազման, դա բնական է և բացատրվում է քլորոֆիլի և օ ձևերի և լուսի հարաբերակցությամբ, որի արդյունքում քլորոֆիլի ընդհանուր պարունակությունը, ա/օ հարաբերակցությունը բարձրության հետ կապված նվազում է: Սա կարելի է վերագրել կենսաբանական առանձնահատկությանը, այն բուսի պատասխան ռեակցիան է լուսի բարձր ինտենսիվությանը, քանի որ լինելով ստվերասեր տեսակներ՝ ավելի շատ քլորոֆիլ են կուտակում լուսի ցածր և ավելի քիչ՝ բարձր ինտենսիվության պայմաններում: Կանաչ պիզմենտների պարունակության փոփոխությունները հակառակ ձևով են համահարաբերակցվել բույսերի ֆունկցիոնալ ակտիվության հետ [21]: Մեր փորձի արդյունքները նույնպես վկայում են այն մասին, որ Էջևանի և Վանաձորի բուսաբանական այգում տեղի են ունեցել քլորոֆիլի անկում և ֆոտոսինթեզի ինտենսիվության ու ասիմիլյացիոն ցուցանիշների աճ: Իսկ Երևանի բուսաբանական այգին զբաղեցնում է միջանկյալ տեղ:

Այսպիսով, տարբեր հողակիմայական պայմաններում աճելիս, ըստ կլիմայի չորության ինդեքսի, բույսերի ֆիզիոլոգիական ցուցանիշները փոխվում են հող-բույս-մթնոլորտ համալիրում, և տվյալ վայրի պայմաններին համապատասխան այդ փոփոխությունները կրում են հարմարվողական բնույթ: Ուստի, մեր ուսումնասիրության արդյունքներից պարզ է դառնում, որ, չնայած դրանց բնական աճման վայրի, հողակիմայական պայմանների որոշակի տարբերություններին, հազվագյուտ բուսատեսակները կարող են աճել նաև Երևանի կիսաանապատային գոտու պայմաններում, եթե ապահովեն համապատասխան պայմաններ՝ կանոնավոր ռողոգում և խնամք, իսկ Վանաձորի մեզոֆիլ անտառային գոտում, որտեղ, ի տարբերություն Երևանի բուսաբանական այգու, զբանցվել են ավելի բարձր ցուցանիշներ, կարող են լայնորեն աճեցվել:

Ելնելով հետազոտությունների արդյունքներից, կարելի է եզրակացնել, որ Արջատիլենի (*Corylus colurna L.*), Կենի հատապտղային (*Taxus baccata L.*), Զոնզոլենի փետրատերլ (*Staphylea pinnata L.*) հազվագյուտ ռելիկտային ծառատեսակների էկոֆիզիոլոգիական առանձնահատկությունների ուսումնասիրությունները թույլ են տալիս գնահատել դրանց էկոլոգիական հարմարվողականության աստիճանը և իրականացնել համապատասխան միջոցառումներ այս տեսակների *ex situ* պահպանության համար: Այդ տեսակետից Վանաձորի բուսաբանական այգին միանգամայն նպաստավոր է ուսումնասիրված տեսակների աճեցման և պահպանման համար: Երևանի բուսաբանական այ-

զու պայմաններում նպատակահարմար է դրանք ներառել նախատեսվող ցուցադրական «ռելիկտային պարկի» ստեղծման ծրագրում:

ՀՀ ԳԱԱ Ս. Թալստաջյանի անվ. բուսաբանության ինստիտուտ
e-mails: jannagevorg@mail.ru, gfayvush@yahoo.com,
zh.vardanyan@gmail.com

Ժ. Հովակիմյան, Գ. Մ. Ֆայվուշ,
ՀՀ ԳԱԱ բուսաբանության ինստիտուտի գլուխական հարմարվողականությունը

**Հայաստանի դենդրոֆլորայի որոշ հազվագյուտ ռելիկտային
ներկայացուցիչների էկոլոգիական հարմարվողականությունը
in situ և *ex situ* պայմաններում**

Ուսումնասիրվել են Հայաստանի Հյուսիսարևելյան տարածաշրջանում տարածված և ՀՀ Կարմիր գրքում գրանցված *Corylus colurna* L., *Taxus baccata* L. *Staphylea pinnata* L. հազվագյուտ և վտանգված ռելիկտային տեսակների էկոֆիզիոլոգիական առանձնահատկությունները ինչպես Իջևանի ֆլորիստիկ շրջանում, այնպես էլ Երեւանի և Վանաձորի բուսաբանական այգիներում։ Գնահատվել է ուսումնասիրված ծառատեսակների հարմարվողականությունը, և բացահայտվել են խոցելիության հնարավոր պատճառները *in situ* և *ex situ* պայմաններում։ Նշված շրջաններում էկոֆիզիոլոգիական մի շարք ցուցանիշների (ֆուտոսինթեզի ու տրանսպիրացիայի ինտենսիվություն, ջրային անբավարարություն, քլորֆիլի պարունակություն, ասիմիլյացիա) առանձնահատկությունները պայմանավորված են կլիմայի չորության ինդեքսի՝ դրանց հարմարվողականությամբ։

**Ժ. Օ. Օվակիմյան, Գ. Մ. Փայվուշ,
член-корреспондент НАН РА Հ. Ա. Վարդանյան**

**Экологическая приспособляемость некоторых редких
реликтовых представителей дендрофлоры Армении
в условиях *in situ* и *ex situ***

Исследованы эко-физиологические особенности трех редких реликтовых видов древесных растений (*Corylus colurna* L., *Taxus baccata* L., *Staphylea pinnata* L.), включенных в Красную книгу растений Армении, которые произрастают в естественных условиях северо-востока Армении и в условиях Ереванского и Вандзорского ботанических садов. Оценена приспособленность исследованных видов и выявлены возможные причины их уязвимости в условиях *in situ* и *ex situ*. Целый ряд эко-физиологических показателей (интенсивность фотосинтеза и транспирации, водный дефицит, содержание хлорофилла, ассимиляция) изученных растений определяется индексом аридности климата районов исследования, что выявляет их приспособленность к условиям произрастания.

**Zh. H. Hovakimyan, G. M. Fayvush,
corresponding member of NAS RA Zh. H. Vardanyan**

**Ecological Adaptability of Some Rare Relict Representatives of Armenian
Dendroflora in *in situ* and *ex situ* Conditions**

The eco-physiological features of three rare relict species of woody plants included in the Red Book of Plants of Armenia (*Corylus colurna* L., *Taxus baccata* L., *Staphylea pinnata* L.), growing in natural conditions in the North-East of Armenia and in the conditions of Yerevan and Vanadzor botanical gardens are investigated. The adaptation of the studied species was assessed and the possible reasons for their vulnerability to *in situ* and *ex situ* conditions were identified. A number of eco-physiological indicators (intensity of photosynthesis and transpiration, water deficit, chlorophyll content, assimilation) of the studied plants are determined by the climate aridity index of the study areas, which determines their adaptability to growing conditions.

Գրականություն

1. The Fifth National Report of the Convention on Biological Diversity of the Republic of Armenia. Yerevan. 2014. 126 p.
2. Tamanyan K., Fayvush G., Nanagulyan S. et al. (ed.). The Red Book of Plants of the Republic of Armenia. Yerevan. Zangak. 2010. 598 p.
3. Asatryan A., Fayvush G. Important Plant Areas representing the rare and threatened habitat types of Armenia. Yerevan. 2013. 78 p.
4. Fayvush G. M., Baloyan S. A., Vardanyan Zh. H. et al. – Takhtajania, 1. 2011. P. 185-189.
5. Fayvush G., Tamanyan K., Kalashyan M. et al. – Ann. Naturhist. Mus. Wien. 2013. B 115. P. 11-20.
6. Таманян К. Г., Файвуш Г. М. – Флора, растительность и растительные ресурсы Армении. 2009. Вып. 17. С. 73-78.
7. Fayvush G. M., Aleksanyan A. S. Habitats of Armenia. Yerevan. Institute of Botany of NAS RA. 2016. 357 p.
8. Fayvush G., Ghazaryan H., Jenterejyan K. et al. In: Fourth National Communication on Climate Change. Yerevan. UNDP Armenia, 2020. P. 101-117.
9. Варданян Ж. А. – Бюлл. ГБС. 1987. Вып. 146. С. 72-77.
10. Vardanyan Zh. A. Scientific basis for the introduction of woody plants in Armenia. 2012. Yerevan. Gitutyun. 398 p.
11. Григорян А. А. В кн.: Состояние и охрана флоры и растительного покрова Армении. Ереван. 1984. С. 93-102 (на арм.яз.).
12. Григорян А. А., Варданян Ж. А., Пайтян Ю. Е. и др. В кн.: Тезисы докладов Всесоюзн. совещания по семеноведению и семеноводству интродуцентов. Баку. 1981. С. 40-41.
13. Vardanyan Zh. A. 2003. Trees and shrubs of Armenia in nature and culture. Yerevan. 2003. 367 p.
14. Mehdiyeva N. P., Fayvush G., Alizade V. M. et al. *Corulus avellana* L., *Corulus colurna* L. Ethnobotany of the Caucasus. Springer. 2017. P. 689-692.
15. Мулкиджсанян Я. И., Цатурян Г. М. – Изв. АН АрмССР. Биол. науки, 1965. Т. 18. № 2. С. 41-46.

16. *Batsatsashvilli K., Mehdiyeva N. P., Fayvush G. et al.* – *Corulus avellana L., Corulus colurna L. Ethnobotany of the Caucasus*. Springer. 2017. Р. 225-232.
17. *Петровская-Баранина Т. П.* Физиология адаптации и интродукции растений. М. Наука. 1983. 152 с.
18. *Агаханянц О. Е.* Аридные горы СССР. М. Мысль. 1981. 270 с.
19. *Salnikov A. I., Maslov I. L.* Physiology and biochemistry of plants: workshop. Perm. Publishing house of FGBOU VPO Perm State Agricultural Academy. 2014. 300 p.
20. *Mezhunts B. Kh., Navasardyan M. A.* Method for determining the content of chlorophylls a, b and carotenoids in plant leaf extracts. 2010. Patent for Invention. № 2439 A. Yerevan.
21. *Казарян В. В., Давтян В. А.* – Доклады НАН РА. 2011. Т. 111. № 4. С. 391-395.
22. *Григорян А. А., Варданян Ж. А., Балаян Дж. В.* – Бюлл. Бот. сада АН Арм. ССР. 1985. Вып. 27. С. 1-164.
23. *Тахтаджян А. Л.* Флористические области Земли. Л. Наука. 1978. 248 с./

БОТАНИКА

УДК 581.331.2:582.579.2

А. М. Айрапетян, А. Г. Мурадян

Новые данные к морфологии пыльцы *Gladiolus kotschyanus* Boiss. (Iridaceae) флоры Армении

(Представлено чл.-кор. НАН РА Ж. А. Варданяном 27/X 2021)

Ключевые слова: *Gladiolus kotschyanus*, подвиды, морфология пыльцы.

Введение. Представители рода *Gladiolus* L. – многолетние травянистые растения с мечевидными листьями, произрастающие главным образом в Африке, на о. Мадагаскар, в Европе, на Кавказе, в Малой, Средней и Центральной Азии, а также в Сибири [1]. Из 9 видов данного рода, характерных для флоры Армении, полиморфный вид *G. kotschyanus* Boiss. представлен двумя подвидами – *G. kotschyanus* subsp. *kotschyanus* и *G. kotschyanus* subsp. *distichus* Gabrielian. Подвид *G. kotschyanus* subsp. *kotschyanus* произрастает в Ширакском, Ахурянском, Лорийском, Апаранском, Иджеванском, Севанском, Дарелегисском, Зангезурском и Арагацском флористических районах на высоте 1800-2700 м над ур. м. на субальпийских лугах, пастбищах, заболоченных местах. Вне пределов Армении встречается на Кавказе, в Анатолии, с.-в. Ираке, Иране [1]. Подвид *G. kotschyanus* subsp. *distichus* Gabrielian – эндемик Армении, произрастает в Арагацском (г. Арагац), Севанском (г. Бугда), Гегамском (Гегамский хр.), Дарелегисском (с. Гнишик), Зангезурском (с. Горгайк) флористических районах на высоте 2200-2500 м над ур. м. в верхнем горном поясе на влажных лугах [1].

В работе «Местообитания Армении» [2] вид *G. kotschyanus* включен в категорию E5.42 – высокотравные сообщества влажных лугов с доминированием *Filipendula ulmaria* (L.) Maxim. и ряда других видов, которые в Армении представлены в среднем и верхнем горных поясах преимущественно в поясе лугостепей, на влажных лугах, в травостое. Описание морфологии пыльцы рода *Gladiolus* в целом (на уровне СМ) дано в 10-м томе «Флоры Армении». Краткие сведения по пыльце вида *G. kotschyanus* приводятся в двух литературных источниках [3, 4].

В настоящей работе впервые приводятся результаты исследований морфологии пыльцы подвидов *G. kotschyanius* subsp. *kotschyanius* и *G. kotschyanius* subsp. *distichus* на уровне светового (СМ) и сканирующего электронного (СЭМ) микроскопов.

Материал и методика. Материалом для настоящих исследований послужила пыльца, полученная из гербария Института ботаники НАН Армении (ERE). Изучение особенностей морфологии пыльцы проводились с применением СМ, а также СЭМ.

Для исследования на уровне светового микроскопа (AmScope) пыльцевые зерна были обработаны двумя основными методами – методом окрашивания основным фуксином [5] и упрощенным ацетолизным методом [6]. При этом, как и в предыдущих исследованиях [7], после обработки каждым из вышеуказанных методов нами выявлены некоторые различия по общей форме, размерам пыльцевых зерен (в данном случае большого экваториального диаметра), а также ширины борозды. Оказалось, что при окрашивании фуксином пыльцевые зерна становятся более округлыми, а борозды – более широкими, в то время как после обработки ацетолизом пыльца более продолговатая, а борозда выглядит значительно уже. Объяснением этому может служить дегидратация пыльцы после обработки ацетолизом, подобное явление мы отмечали также при изучении (с помощью СЭМ) неацетолизованной пыльцы, обработанной 70% спиртом.

На уровне СМ пыльца исследовалась при увеличении x200, x400 и x1000, измерения проводились на 10 пыльцевых зернах по каждому из изученных образцов. Данные по размерам пыльцевых зерен по каждому из подвидов *G. kotschyanius* флоры Армении (на уровне СМ) представлены в табл. 1, а сведения об особенностях структуры и скульптуры (на уровне СМ и СЭМ) – в табл. 2.

Микрофотографии пыльцы на уровне сканирующего электронного микроскопа (JEOL JSM-7000) были получены в Центре эколого-ноосферных исследований НАН РА (Ереван, Армения) методом вакуумного напыления золотом сухих неацетолизированных пыльцевых зерен. По каждому подвиду на уровне СЭМ проведен подсчет числа шипиков и перфораций на 5 мкм² поверхности пыльцевого зерна (на 5 участках по каждому из изученных образцов).

Палинологическая терминология, используемая в наших исследованиях, в основном соответствует общепринятой терминологии [8-10].

Изученные образцы: *G. kotschyanius* Boiss.: АрмССР, Ехегнадзорский р-он, между сс. Хачик и Гнишик, увлажненные травянистые склоны слева от дороги, 2400-2500 м над. ур. м. Leg. Б. Аревшатян, Торосян (ERE, 146831); Armenia, Aragatsotn province, old pass track E. of Spitak pass, above Sipan, 40°44'01"–07" N 44°16'16"E 19.06.2007. Leg. K. Tamanyan, H. Ter-Voskanyan, E. Vitek 07-0860 (ERE, 196862); Armenia, Vayots Dzor prov., Vajk distr., Djermuk, Kechut village, gorge with mineral fountain, around fountain, 2058 m s. m; 39°49'03" N/45°38'11"E 19.06.2004. Leg. E. Vitek, K. Ta-

manyan, G. Fayvush, M. Oganesyan, A. Ter-Voskanyan (ERE 183064); *G. kotschyanus* subsp. *distichus* Gabrielian: АрмССР, Сисианский р-он, окр. с. Горгайк, около болота. 22.06.1980. Leg. Г. Файвуш, К. Таманян (ERE, 145305); Holotypus. Армения, Севанский р-н, окрестности с. Агашен, г. Бугда, субальпийское высокотравье, 2300 м над ур. м. 8.8.1967. Leg. E. Gabrielian (ERE, 145367).

Описание пыльцевых зерен.

Род *Gladiolus* L.

G. kotschyanus Boiss. (табл. 1, 2; фототабл. I, II). Пыльцевые зерна (п. 3.) дистально-1-бороздные, лодочковидные, килеватые, киль обычно широкий, округлый или округло-угловатый (фототабл. I, 4; II, 4); в очертании с полюса п. з. широкоэллиптические, в очертании с экватора – двояковыпуклые; полярная ось (п. о.) у *G. kotschyanus* subsp. *kotschyanus* 3.2-44.8 мкм, а у *G. kotschyanus* subsp. *distichus* – 32.9-44.9 мкм; большой экваториальный диаметр (б. э. д.) у *G. kotschyanus* subsp. *kotschyanus* 61.2-65.7 мкм, а у *G. kotschyanus* subsp. *distichus* – 55.0-58/2 мкм; малый экваториальный диаметр (м. э. д.) у *G. kotschyanus* subsp. *kotschyanus* и *G. kotschyanus* subsp. *distichus* соответственно 41.9-46.7 мкм и 35.8-41.6 мкм. Борозда у обоих подвидов длинная, достигает концов пыльцевых зерен, от широкой до очень широкой, с наличием оперкулума, представленного двумя полосами скульптированной экзины на поверхности борозды, перемежающимися участками бороздной мембранны (фототабл. I, 1, 4; фототабл. II, 1, 4, 5); скульптура мембранны борозды у пыльцы обоих видов нерегулярно разнобородавчатая, бородавки часто расположены небольшими группами (СМ СЭМ) (фототабл. I, 1, 4, 5; фототабл. II, 1, 4, 7). Экзина тонкая, у *G. kotschyanus* subsp. *kotschyanus* 1.6 мкм толщины, столбчатый слой четко выражен, столбики длинные, тонкие, равномерно расположенные (фототабл. I, 8); у подвида *G. kotschyanus* subsp. *distichus* толщина экзины в пределах 1.1 мкм, столбчатый слой почти незамечен. На уровне СМ у обоих подвидов скульптура общей поверхности п. з. и на бороздных оперкулумах густо мелкогранулярная; на уровне СЭМ скульптура экзины, а также поверхности бороздных оперкулумов перфорированно-шипиковая, шипики конические, с заостренными, иногда слабо закругленными концами, количество шипиков и перфораций на единицу площади поверхности пыльцевого зерна соответственно 18-19 и 32-33 у *G. kotschyanus* subsp. *kotschyanus*, 33-34 и 50-52 – у *G. kotschyanus* subsp. *distichus*.

Заключение. Исследования показали, что пыльцевые зерна у обоих изученных подвидов вида *Gladiolus kotschyanus* флоры Армении (*G. kotschyanus* subsp. *kotschyanus* и *G. kotschyanus* subsp. *distichus*) дистально-1-бороздные, лодочковидные, борозды характеризуются наличием 2-полосного оперкулума, перемежающегося участками бороздной мембранны; скульптура экзины, а также поверхности бороздных оперкулумов перфорированно-шипиковая (СЭМ). Установлено, что основным отличием между указанными подвидами (на уровне СМ) является длина большого экваториального диаметра, которая несколько больше у подвида *G.*

kotschyanus subsp. *kotschyanus*, а на уровне СЭМ – также и количество шипиков и перфораций на единице площади поверхности пыльцевого зерна, которых у подвида *G. kotschyanus* subsp. *distichus* примерно вдвое больше, чем у *G. kotschyanus* subsp. *kotschyanus*.

Сравнительный анализ полученных нами данных по размерам пыльцевых зерен в целом у вида *G. kotschyanus* с данными, приведенными в литературе [3, 4], показал, что пыльцевые зерна у образцов, собранных на территории Армении, по своим размерам несколько мельче таковых (приблизительно на 10-15%), отмеченных в вышеуказанных работах.

Таблица 1

Некоторые палиноморфологические данные по виду *Gladiolus kotschyanus* Boiss. при различных методах обработки пыльцы на уровне СМ¹

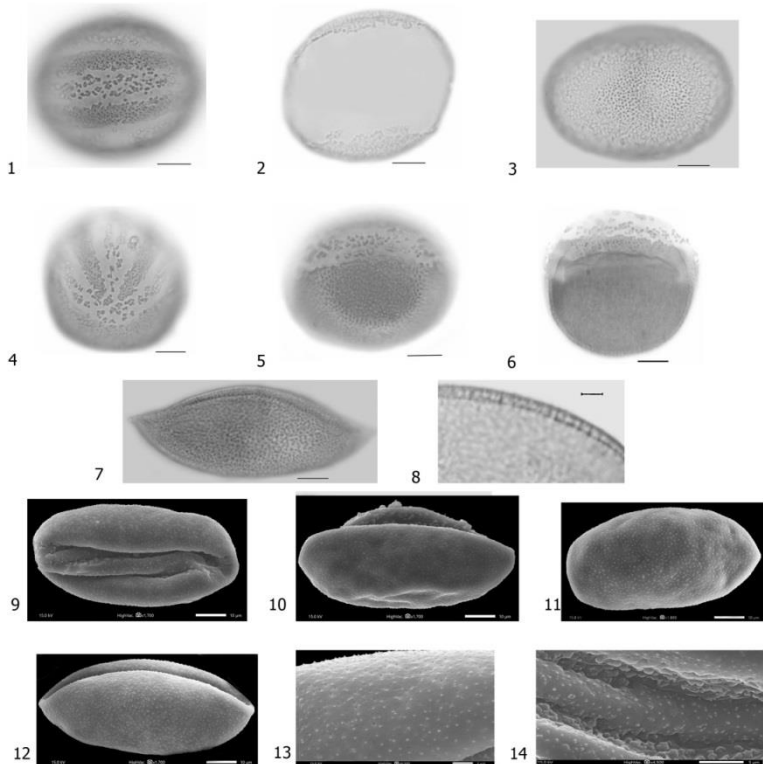
Вид	Полярная ось, мкм		Б. э. д., мкм		М. э. д., мкм	
	фуксин	ацетолиз	Фуксин	ацетолиз	фуксин	Ацетолиз
<i>G. kotschyanus</i> subsp. <i>kotschyanus</i>	28.9-54.5/44.8	23.1-50.5/34.2	52.9-71.2/61.2	60.6-81.7/65.7	34.2-52.4/46.7	33.3-53.9/41.9
<i>G. kotschyanus</i> subsp. <i>distichus</i>	37.7-48.5/44.9	23.5-42.4/32.9	46.1-60.9/55.0	45.2-71.1/58.2	38.7-48.4/41.6	28.9-42.7/35.8

Таблица 2

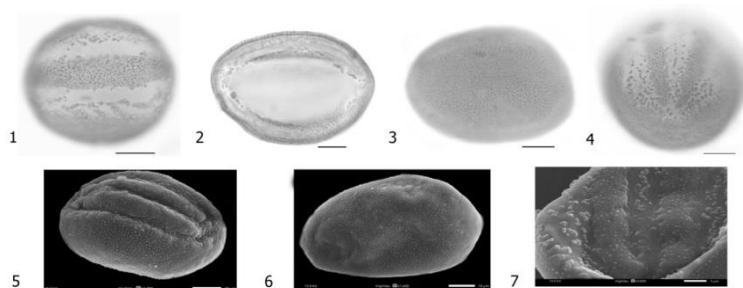
Особенности структуры и скульптуры экзины пыльцевых зерен вида *G. kotschyanus* Boiss.

Вид	СМ		СЭМ		
	Толщина экзины, мкм	Скульптура экзины	Скульптура экзины	Кол-во шипиков на 5 мкм ²	Кол-во перфораций на 5 мкм ²
<i>G. kotschyanus</i> subsp. <i>kotschyanus</i>	1.1-2.4/1.6	Гранулярная	Перфорированно-шипиковая	12-25/18.5	17-49/33
<i>G. kotschyanus</i> subsp. <i>distichus</i>	0.6-1.6/1.1	- // -	- // -	25-43/34	25-77/51

¹ После косой линии в таблицах приведены усредненные данные, полученные при измерении 10 пыльцевых зерен.



Фототаблица I. Пыльцевые зерна подвида *G. kotschyanus* subsp. *kotschyanus*.
1-6 – фуксин: 1-2 – дистальный полюс (1 – борозды с 2-полосным оперкулумом), 3 – проксимальный полюс, 4 – п. з. со стороны м. э. д., борозды с 2-полосным бороздным оперкулумом, 5-6 – латеральная сторона п. з., 7-8 – ацетолиз: 7 – латеральная сторона п. з., 8 – экзина, столбчатый слой (СМ); 9 – дистальный полюс, 10, 12 – латеральная сторона, 11 – проксимальный полюс, 13 – скульптура экзины, 14 – скульптура бороздной мембранны (СЭМ) (масшт. линейка: 1-7, 9-12 – 10 мкм, 8 – 3 мкм, 13 – 2 мкм, 14 – 5 мкм).



Фототаблица II. Пыльцевые зерна подвида *G. kotschyanus* subsp. *distichus*.
1-4 – фуксин: 1-2 – дистальный полюс, 3 – проксимальный полюс, 4 – п. з. со стороны м. э. д., борозды с 2-полосным оперкулумом (СМ); 5 – п. з. со стороны б. э. д., 6 – проксимальный полюс, 7 – скульптура борозды и 2-полосной бороздной мембранны (СЭМ) (масшт. линейка: 1-6 – 10 мкм, 7 – 5 мкм).

Благодарности. Приносим свою благодарность коллективу Центра экологого-ноосферных исследований НАН РА (Ереван, Армения) за со-действие при проведении исследований на сканирующем электронном ми-кроскопе.

Институт ботаники им. А. Тахтаджяна НАН РА
e-mail: alla.hayrapetyan.63@gmail.com, all.muradyan.1991@mail.ru

А. М. Айрапетян, А. Г. Мурадян

**Новые данные к морфологии пыльцы *Gladiolus kotschyanus* Boiss.
(Iridaceae) флоры Армении**

С помощью светового (СМ) и сканирующего электронного (СЭМ) микроскопов изучена морфология пыльцы двух подвидов вида *Gladiolus kotschyanus* Boiss. (сем. Iridaceae) флоры Армении. Показано что основным отличием на уровне СМ между указанными двумя подвидами являются размеры пыльцевых зерен и, в частности длина большого экваториального диаметра (61.2-65.7 мкм у *G. kotschyanus* subsp. *kotschyanus* и 55.0-58.2 мкм у *G. kotschyanus* subsp. *distichus*), а на уровне СЭМ – количество шипиков и перфораций на единицу площади поверхности пыльцевого зерна (соответственно 18-19 и 32-33 у *G. kotschyanus* subsp. *kotschyanus*, 33-34 и 50-52 – у *G. kotschyanus* subsp. *distichus*).

Ա. Մ. Հայրապետյան, Ա. Հ. Մուրադյան

**Նոր տվյալներ Հայաստանի ֆլորայի (Iridaceae) *Gladiolus kotschyanus* Boiss
ծաղկափոշու մորֆոլոգիայի վերաբերյալ**

Լուսային (ԼՄ) և սկանավորող էլեկտրոնային (ՍԷՄ) մանրադիտակների օգնությամբ ուսումնասիրվել է Հայաստանի ֆլորայի *Gladiolus kotschyanus* Boiss. (Iridaceae ընտ.) տեսակի երկու ենթատեսակների ծաղկափոշու մորֆոլոգիան: Ցույց է տրված, որ ԼՄ-ի մակարդակով նշված երկու ենթատեսակների միջև հիմնական տարրերությունը համարվում են ծաղկափոշու չափերը, մասնավորապես մեծ հասարակածային տրամագիծի երկարությունը (61.2-65.7 մկմ *G. kotschyanus* subsp. *kotschyanus* ենթատեսակի մոտ և 55.0-58.2 մկմ *G. kotschyanus* subsp. *distichus*-ի մոտ), իսկ ՍԷՄ-ի մակարդակով՝ փշիկների և ծակոտիների քանակը ծաղկափոշու մեկ միավոր մակերեսի վրա (համապատասխանաբար 18-19 և 32-33 *G. kotschyanus* subsp. *kotschyanus* ու 33-34 և 50-52 *G. kotschyanus* subsp. *distichus* ենթատեսակների մոտ):

A. M. Hayrapetyan, A. H. Muradyan

**New Data to the Pollen Morphology of *Gladiolus kotschyanus* Boiss.
(Iridaceae) of the Flora of Armenia**

Pollen morphology of two subspecies of the species *Gladiolus kotschyanus* Boiss. (family Iridaceae) of flora of Armenia was studied using light (LM) and scanning

electron (SEM) microscopies. The main difference between these two subspecies under LM is the size of pollen grains, and, in particular, the length of the large equatorial diameter (61.2-65.7 μm in *G. kotschyanus* subsp. *kotschyanus*, and 55.0-58.2 μm in *G. kotschyanus* subsp. *distichus*), and under SEM – the number of spines and perforations per unit surface area of the pollen grain (respectively, 18-19 and 32-33 in *G. kotschyanus* subsp. *kotschyanus*, 33-34 and 50-52 in *G. kotschyanus* subsp. *distichus*).

Литература

1. Габриэлян Э. Ц., Оганесян М. Э. В кн.: Флора Армении. Тахтаджян А. Л. (ред.). Т. 10. 2001. С. 146-161.
2. Файвуши Г. М., Алексанян А. С. Местообитания Армении. Ереван. 2016. 357 с.
3. Dönmez E. O., Işık S. – Grana. 2008. V. 47. P.15-38.
4. Aktürk S., Toroğlu S., Dinçer S. et al. – Global Journal of Medicinal Plant Research. 2016. V 4. № 4. P. 1-8.
5. Смольянинова Л. А., Голубкова В. Ф. – ДАН СССР. 1950. Т. 75. № 1. С. 125-126.
6. Аветисян Е. М. – Бот. журн. 1950. Т. 35. № 4. С. 385-387.
7. Мурадян А. Г. – Биолог. журн. Армении. 2021. Т. 73. Вып. 6. С. 52-55.
8. Эрдтман Г. Морфология пыльцы и систематика растений. М. 1956. ИЛ. 486 с.
9. Куприянова Л. А., Алешина Л. А. Палинологическая терминология покрытосеменных растений. Л. Наука. 1967. 84 с.
10. Бобров А. Е., Куприянова Л. А., Литвенцева М. Б. и др. Споры папоротникообразных и пыльца голосеменных и однодольных растений флоры европейской части СССР. Л. 1983. 207 с.

ФИЗИОЛОГИЯ

УДК 612.8; 615.919; 616.858

Т. К. Арутюнян

Соотношение возбудительных и тормозных синаптических процессов в нейронах базолатеральной амигдалы при активации инфралимбической коры

(Представлено чл.-кор. НАН РА Л. Р. Манвеляном 3/X 2021)

Ключевые слова: инфрапаримбическая кора мозга (*Infralimbic cortex*), базолатеральная амигдала (*basolateral amygdala*).

Введение. Болезнь Паркинсона (БП) – медленно прогрессирующее хроническое нейродегенеративное заболевание, характеризующееся как моторными, так и немоторными проявлениями. Немоторные проявления включают в себя психические расстройства. Последние проявляются в виде деменции, депрессии, когнитивных нарушений. Диагностика психических расстройств важна для планирования лечебных и реабилитационных программ. Заболевания с нарушениями движений достаточно трудно диагностировать [1]. Ошибок при постановке диагноза можно избежать, если когнитивные дисфункции будут включены в диагностические критерии [2].

В целом когнитивные нарушения, обнаруживаемые при двигательных расстройствах, относятся к категории «подкорковой деменции». Тонкие, специфические когнитивные нарушения часто могут быть обнаружены у пациентов с заболеваниями, сопровождающимися двигательными расстройствами [3]. В частности, базолатеральная амигдала (basolateral amygdala (BLA)) участвует в модуляции тревожности, наличие которой является одним из факторов риска развития БП [4]. Значительные патологические изменения при БП, включая атрофию и образование телец Леви, проявляет миндалина [5]. Баланс между возбуждающими и тормозными постсинаптическими токами в конечном итоге определяет состояние возбудимости эфферентных нейронов BLA [6-9].

В настоящей работе проведены исследования соотношения возбудительных и тормозных процессов в нейронах BLA, активированных инфрагиппокампальной корой мозга (Infralimbic cortex (IL)) у интактных крыс.

Материал и методы. Проводили электрофизиологические исследования на 7 крысах-самцах линии Альбино (250 г) в серии экспериментов на интактных крысах. Исследование проводилось в соответствии с принципами Базельской декларации и рекомендациями руководства ARRIVE [10]. В стереотаксическом аппарате производили трепанацию черепа от брегмы до лямбды и вскрывали твердую мозговую оболочку. После краниотомии раздражающий электрод вживляли в ипсолатеральную IL (AP+3.24; L±2.5; DV 5 мм) в соответствии с координатами атласа Паксиноса и Ватсона [11], а стеклянные микроэлектроды с диаметром кончика 1-2 μ M, заполненные 2M NaCl, вводили в BLA (AP-2.28, L±5, DV 8.7 мм) для экстраклеточной регистрации спайковой активности одиночных нейронов. Осуществляли высокочастотную стимуляцию IL посредством прямоугольных толчков тока (длительностью 0.05 мс, амплитудой 0.12–0.18 мВ, силой тока 0.32 мА и частотой 100 Гц в течение 1 с). Операции осуществляли на наркотизированных уретаном животных (уретан 1.5 г/кг в/б). Была зарегистрирована импульсная активность 105 нейронов.

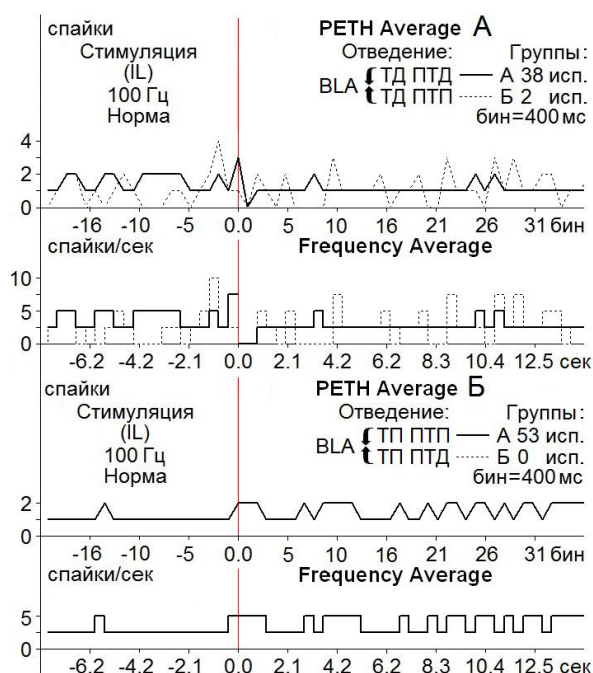


Рис. 1. Усредненные перистимульные (PETH Average) гистограммы и гистограммы частоты (Frequency Average) депрессорных, депрессорно-возбудительных (А, группы А, Б) и возбудительных (Б, группы А, Б) постстимульных проявлений активности нейронов BLA при ВЧС (100 Гц, 1 с) IL в норме. Для групп указано количество испытаний (исп.).

Активность проявлялась в виде тетанической потенциации (ТП) и депрессии (ТД) с посттетаническими – ПТП и ПТД. Проводили программный математический анализ импульсной активности нейронов в режиме online. Использовали построения комплексных усредненных и суммированных перистимульных временных гистограмм (РЕТН) числа потенциалов действия с разностной кривой и гистограмм частоты с вычислением средней частоты потенциалов действия. Однородность двух независимых выборок контролировалась t-критерием Стьюдента. Учет критических значений в сравнении с таковыми нормального распределения при уровнях 0.05, 0.01 и 0.001 показал, что в большинстве случаев спайкинга статистически значимое изменение достигало как минимум уровня 0.05.

Результаты и обсуждение. Проведен анализ импульсной активности одиночных нейронов BLA при ВЧС IL в норме (105 нейронов, n=7). Помощью анализа на основе усредненного количества спайков (РЕТН), с пересчетом в межимпульсные интервалы и частоты в Гц (Frequency Average), в нейронах BLA в ответ на ВЧС IL тетаническая депрессия в обеих последовательностях в норме определялась порядка 3.0- и 1.0-кратного снижения престимульной активности, при скучном выявлении ТД ПТП (2 против 38) (рис. 1 А, группы А, Б). Тетаническая потенциация, сопровождаемая посттетанической потенциацией, оказалась в пределах 1.0-кратного повышения частоты потенциалов (рис. 1 Б, группа А), при отсутствии ТП ПТД вообще. Иными словами, депрессорные постстимульные проявления активности нейронов BLA оказались более выраженным, чем возбудительные. При оценке относительной степени выраженности вышеотмеченных эффектов на примере диаграмм усредненной частоты спайков, выведенных на основе растера пре- и постстимульных депрессорных, депрессорно-возбудительных и возбудительных проявлений активности нейронов BLA в норме, с указанием средних цифровых значений в реальном времени 20 с до и после стимуляции включая время ВЧС, получены значения, представленные в виде дисковых диаграмм на рис. 3 (на основе рис. 2). Исходя из полученных данных значения ТД в ТД ПТД и уровни ТП в ТП ПТП нейронов BLA на ВЧС IL (рис. 2 А-В; 3 А), в сравнении с престимульным уровнем активности, определялись в пределах 1.87-кратного понижения и 1.55-кратного повышения частоты потенциалов. Как видно, указанные значения отличались незначительно, с некоторым превалированием депрессорных.

Престимульная частота активности нейронов BLA на ВЧС IL, предшествующая депрессорным и возбудительным постстимульным эффектам, достигала 5.06 и 4.30, с превалированием депрессорных (рис. 2, А, 3 Б). Постстимульная частота активности BLA на ВЧС IL, сопровождающая указанные эффекты, исчислялась в пределах 2.70 и 6.67, соответственно, что свидетельствует о значительном превалировании возбудительных эффектов. Чрезвычайно скучно проявлялись посттетанические разнонаправленные депрессорные эффекты (ТД ПТП), всего лишь 2 из 40, а таковые возбудительные (ТП ПТД) отсутствовали – ни одного из 53. По-видимому,

назначение BLA в качестве чувствительного центра долговременной эмоциональной памяти диктует необходимость позднего возвращения постстимульного синаптического эффекта к престимульному уровню, с одной стороны, и к превалированию защитных депрессорных эффектов, с другой.

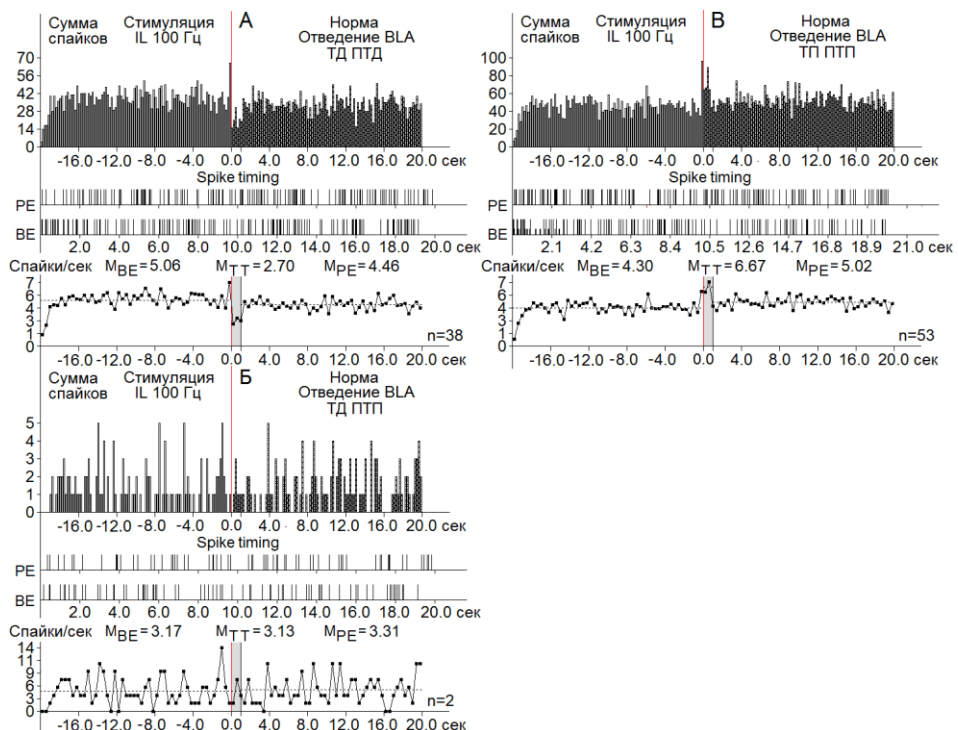


Рис. 2. Гистограммы суммы спайков пре- и постстимульных депрессорных проявлений активности (А), депрессорно-возбудительных (Б), возбудительных (В), в реальном времени 20 сек (до и после стимуляции) нейронов BLA, вызванных ВЧС IL в норме. Здесь: диаграммы частоты спайков, представленных в гистограммах, с усредненными значениями (M) для временных отрезков до стимуляции (BE – before event), на время тетанизации (TT – time tetanization) и после стимуляции (PE – post event). Справа от диаграмм – количество испытаний (n).

Заключение. Анализ выраженности депрессорных и возбудительных эффектов на примере диаграмм усредненной частоты спайков выявил незначительное превалирование депрессорных эффектов над возбудительными. Показаны скучное проявление разнонаправленных депрессорных эффектов и отсутствие разнонаправленных возбудительных эффектов. Престимульная частота активности нейронов BLA при ВЧС IL, предшествующая депрессорным эффектам, оказалась выше таковой, предшествующей возбудительным. Постстимульная частота, сопровождающая возбудительные эффекты, достигала значительного превалирования по сравнению с таковой, сопровождающей депрессорные.

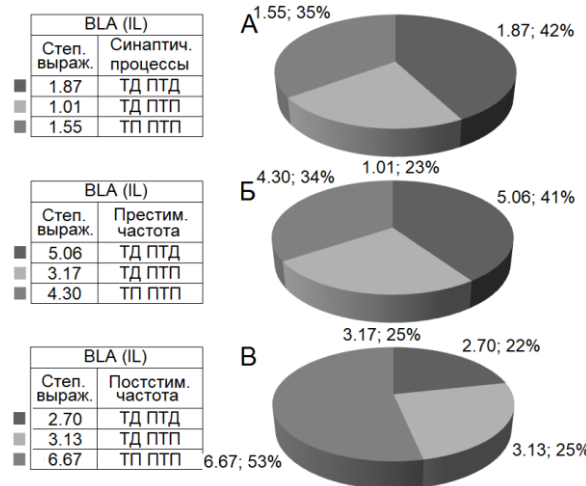


Рис. 3. А-В – цифровое и процентное соотношение степени выраженности (по усредненной частоте) возбудительных и тормозных синаптических постстимульных эффектов (А), а также частоты пре- и постстимульной активности (Б, В) в одиночных нейронах BLA на ВЧС ИЛ в норме. Обозначения: степ. выраж. – степень выраженности, престим. – престимульная, постстим. – постстимульная.

Институт физиологии им. Л. Орбели НАН РА
e-mail: tigran.med@gmail.com

Т. К. Арутюнян

Соотношение возбудительных и тормозных синаптических процессов в нейронах базолатеральной амигдалы при активации инфрагиппокампальной коры

Проведен анализ импульсной активности одиночных нейронов базолатеральной амигдалы (BLA) при высокочастотной стимуляции инфрагиппокампальной коры (IL). Исследовалась частота потенциалов действия и степень выраженности возбудительных и депрессорных эффектов. Установлено, что депрессорные и возбудительные эффекты оказались почти равными. В нейронах BLA предстимульная частота депрессорных эффектов превышала этот показатель у возбуждающих эффектов, а постстимульная частота возбудительных эффектов превышала этот показатель у депрессорных.

S. Կ. Հարությունյան

Բազոլատերալ ամիգդալի նեյրոններում գրգռիչ և արգելակիչ սխնապտիկ գործընթացների հարաբերակցությունը ինֆրալիմբիկ կեղևի ակտիվացման պայմաններում

Իրականացվել է բազոլատերալ ամիգդալայի (BLA) մեկական նեյրոնների իմպուլսային ակտիվության վերլուծություն՝ ինֆրալիմբիկ կեղևի (IL) նեյրոններ բարձր

հաճախականությամբ խթանման դեպքում: Վերլուծվել են գործողության պոտէնցիալների հաճախականությունը և գրգռիչ և արգելակիչ էֆեկտների արտահայտվածության աստիճանը: Արգելակիչ և գրգռիչ էֆեկտները զրեթե հավասար են: BLA ներոններում նախկինության հաճախականությունը արգելակիչ էֆեկտներում գերազանցում էր այդ ցուցանիշը գրգռիչ էֆեկտներում: Հետևյան հաճախականությունը գրգռիչ էֆեկտներում գերազանցում էր այդ ցուցանիշը դեպքետրային էֆեկտներում:

T. K. Harutyunyan

The Ratio of Excitable and Inhibitory Synaptic Processes in Basolateral Amygdala Neurons by Activation of Infralimbic Cortex

The pulse activity of single basolateral amygdala (BLA) neurons was analyzed with high-frequency stimulation of the infralimbic cortex (IL). The frequency of action potentials was analyzed. The degree of severity of excitatory and depressor effects was also analyzed. Depressor and excitatory effects were almost equal. The prestimulus frequency of BLA neurons in depressor effects exceeded that in excitatory effects. The poststimulus frequency in excitatory effects exceeded that in depressive effects.

Литература

1. *Pillon B., Dubois B., Agid Y.* – Neurology. 1996. V. 46(2). P. 329-34. doi:10.1212/wnl.46.2.329.
2. *Hughes A. J., Daniel S. E., Kilford L. et al.* – J Neurol Neurosurg Psychiatry. 1992. V. 55(3). P. 181-4. doi: 10.1136/jnnp.55.3.181.
3. *Cummings J. L.* – Br J Psychiatry. 1986. V. 149. P. 682-697.
4. *Y. N. Sun, L. Yao, L.-B. Li et al.* – Neuropharmacology. 2018. V. 15(137). P. 275-285. doi:10.1016/j.neuropharm.2018.05.016.
5. *Harding A. J., Stimson E., Henderson J. M. et al.* – Brain. 2002. V. 125. P. 2431-2445.
6. *Rainnie D. G., Asprodini E. K., Shinnick-Gallagher P.* – 1991. J. Neurophysiol. 1991. V. 66. P. 986-998.
7. *Rainnie D. G., Asprodini E. K., Shinnick-Gallagher P.* – J. Neurophysiol. 1991. V. 66. P. 999-1009.
8. *Sajdyk T. J., Shekhar A.* – J. Pharmacol. Exp. Therapeut. 1997. V. 283. P. 969-977.
9. *Sajdyk T. J., Shekhar A.* – Brain Res. 1997. V. 764. P. 262-264.
10. *Kilkenny C., Browne W., Cuthill I. C. et al.* – The ARRIVE guidelines 06 July 2010.
11. *Paxinos G., Watson C.* The rat brain in stereotaxic coordinates, 5th ed. Elsevier. Academic Press. 2005. 367 p.

ՀԱՅԱՍՏԱՆԻ ԳԵՏՈՒԹՅՈՒՆՆԵՐԻ ԱԶԳԱՅԻՆ ԱԿԱԴԵՄԻԱ
ՀԱЦԻՈՆԱԼ ԱԿԱДЕՄԻՅԱ ՆԱՅԿ ԱՐՄԵՆԻԱ
NATIONAL ACADEMY OF SCIENCES OF ARMENIA
ДОКЛАДЫ ԶԵԿՈՒԹՅՈՒՆԵՐ REPORTS

Հատուր
Տօմ
Volume 121

2021

№ 4

ԲԱՆԱՍԻՐՈՒԹՅՈՒՆ

Ա. Ս. Սահակյան

Ազաթանգեղոսի խմբագրությունների տիպարանություն

(Ներկայացված է ՀՀ ԳԱԱ թղթ. անդամ Լ. Հ. Աբրահամյանի կողմից 25/X 2021)

Բանալի բառեր՝ Ազաթանգեղոս, պատմություն, վարք, հունարեն, ասորերեն, արարերեն, լատիներեն, բնագիր, խմբագրություն, տիպարանություն:

Մայր Ազաթանգեղոսի բովանդակային (մասամբ էլ բնագրային) հենքի վրա ստեղծվել են երկու հայկական (հուն. «Վարք» և Օքրիդայի «Վարք») և մեկ ասորական խմբագրություններ, որոնք ունեն ակնհայտ եկեղեցաբանական, եկեղեցա-քաղաքական, դավանաբանական և առհասարակ գաղափարաբանական բնույթ: Բացի այդ, եղել են նաև այլ տիպի խմբագրություններ, որոնք չեն դիտարկվել Ազաթանգեղոսի այլալեզու տարբերակներում, և որոնց պեղումը արխիվներից և միջնադարյան վանական հավաքածուներից հատկապես հաջողվել է ազաթանգեղագետ Ծերար Գարիտին: Վերջինիս հայաստանյան «թղթակից» Արամ Տեր-Ղևոնյանն իր հոդվածներից մեկում ի մի է բերել գրանցված ազաթանգեղյան խմբագրությունները (հայերենը ներառյալ՝ 17 միավոր, ինը լեզվով ([1], էջ 494-495) և բաժանել երկու խմբի՝ հայերեն՝ նրանից արված թարգմանություններով, և վարքային խմբագրություններ:

Իրականում 20 միավորից շատ են, եթե չանտեսենք հայերեն հայմափորքները և հիսուսյան Անտոն Բոնուկիի (XVIII դ. I կես) լատիներեն գրած «Ս. Գրիգորի վարքը» ([2], էջ 950) և նրա հայերեն ([2], էջ 950-951) ու արարերեն ([1], էջ 349-354) թարգմանությունները: Եվ այսպես, դրանք բաժանվում են ոչ թե երկու, այլ չորս տիպի խմբագրությունների, և ահա թե ինչպես:

Վերը նշվեց նույն տիպի երեք խմբագրությունների մասին. հուն. և Օքրիդայի վարքեր, որոնք թարգմանվել են հայերեն նախօրինակներից,

և ասորական եկեղեցա-քաղաքական խմբագրություն, որի տիպին է պատկանում նաև վերոնշյալ լատինական վարքը՝ իր լրիվ հայերեն և համառոտ արաբերեն թարգմանություններով։ Որովհետև այն ասորականի նման հայերեն նախօրինակ չունեցող միանգամայն ինքնուրույն լատիներեն շարադրանք է, որը կոչված է ցույց տալու, որ ս. Գրիգորը կայտողիկե կամ ընդհանրական տիեզերական եկեղեցու հետևորդ է եղել, բայց հայ եկեղեցին իր հետագայում շեղվել է ճշմարիտ դավանաբանական ուղուց։ Այն կարելի է կոչել լատինական վարք [3]:

Իսկ ամենաառաջին տիպը մայր Ազարանգեղոսն է և նրանից բխող թարգմանական խմբագրությունները՝ Վրացերեն և հունարեն [4], վերջինից էլ արաբերեն [5]։ Այս հունարեն թարգմանության հիման վրա X դ. ստեղծվել է Մետափրաստյան համառոտ խմբագրությունը, իսկ նրանից թարգմանվել են բազմալեզու տարբերակներ՝ լատիներեն, վրացերեն, սլավոներեն, արաբերեն, վերջինից էլ՝ եթովպերեն։ Եթե սրանց էլ ավելացնենք հայերեն հայսմավուրբային տարբերակները, կունենանք մի ընդհանուր անվամբ տոնացուցային խմբագրության տիպ, որը խիստ գործառնային է, ունի արարողակարգային բնույթ, ուղղված է տոնական լսարանին և բարձրաձայն ընթերցվում է, եթե անգամ լսարանը դատարկ է, ինչը հաճախ է լինում մեր ժամանակներում, որովհետև այդ ընթերցմամբ սրբին է հղվում հերթական խընդրանքը՝ բարեխտուելու մեղավոր հոգիների համար։

Ստեղծվել են նաև ընդհանուր ճանաչողական բարեխոսական նպատակի միտված խմբագրություններ, որոնք, որպես կանոն, հենվում են մեկից ավելի աղբյուրների վրա և կոչված են ընթերցողական նյութ մատուցելու բարեպաշտ քրիստոնյաներին աշխարհի տարբեր մասերում տառապող և սքանչելազործող հավատակիցների վերաբերյալ։ Խմբագրության այդ տիպին են պատկանում արաբական վարք կոչվածը՝ գտնված Ն. Մատի և լրացված Ա. Տեր-Ղևոնյանի կողմից, Լաֆոնտենի գտած հունարեն համառոտ վարքը ([6], էջ 125-145), Գարիտի կոպտական դրվագը և արաբերեն համառոտ վարքը ([7], էջ 221)՝ հավանաբար կոպտերենի միջնորդությամբ թարգմանված հունարենից՝ ըստ նույն Գարիտի ([8], էջ 51-71):

Հետաքրքիր է, որ արաբերեն վարքի (Ն. Մատի) թարգմանիչը, եթե հունարեն մեկ բնագրից չի թարգմանել, ուրեմն ինքն է հունարեն մի քանի բնագրերից քաղել և կազմել նոր կոմպիլատիվ խմբագրությունը, դրա համար էլ նրանում նկատվում են հուն։ Ազարանգեղոսի, հուն։ Վարքի և Օքրիդայի վարքի հետքերը։ Կրկին կուզեինք չբացառել հնարավորությունն այն բանի, որ այդ գործը կատարել է մի անհայտ հույն խմբագիր վերոնշյալ աղբյուրների համարմամբ։ Որովհետև, ինչպես արաբ, այնպես էլ հույն խմբագրին հետաքրքիր չեն այն եկեղեցա-

բանական ենթատողային գաղափարները, որոնք առանձին-առանձին կյանքի են կոչել դրանց հայերեն նախօրինակները: Հույն կամ արաբ խմբագրին հասու չեն տեղական հայկական անցյալի քաղաքական միտումները, որոնք չեն ընկալվի, եթե օտար խմբագիրները ապրեին անզամ VII դարում, երբ ստեղծվել են հայերեն թաղկեդրնական և միակամական խմբագրությունները և թարգմանվել հունարեն հենց հայերի նախաձեռնությամբ: Այլազգի խմբագիրները ազաթանգեղյան այդ տարբեր գրվածքները կարևորում էին սրբախոսական տեղեկատվական իմաստով՝ որպես ճանաչողական լրացուցիչ նյութ, որը և հանգեցնում էր գրչական-տեղեկատվական խմբագրությունների ստեղծման:

Նույն երևույթը ենթադրել ենք նաև հայերեն մայր Ազաթանգեղոսի հունարեն թարգմանության հետագա ճակատագրում, երբ հերթական գրիչը Օքրիդայի «Վարքի» կորած վիպական սկզբնամասը ներմուծում է հուն. Ազաթանգեղոսի բնագիր՝ ճոխացնելով վերջինս և աղբյուր դառնալով Սիմեոն Մետոն Մետափրաստեսի խմբագրության համար:

Հենց այս տեսակետից էլ կարելի է հասկանալ ու մեկնաբանել այն առանձնահատկությունները, որոնցով աչքի են ընկնում, ասենք, հուն. համառոտ վարքում, Գևորգ Ասորու մոտ, նեստորական Պատմության կամ արաբերեն համառոտման մեջ եղած ազաթանգեղյան նյութերը: Դրանք կարևորում են միայն սրբի անձն ու նրա սրանչելագործությունները, այսինքն՝ այն տեղեկատվությունը, որը հուսադրում ու վեհացնում է ընթերցողին՝ նրան տալով բարեխոսի մի նոր կերպար: Եվ հենց այս միտումն է, որ Ազաթանգեղոսին համաշխարհային գործառույթներ է տվել, ս. Գրիգորին պանծացրել տիեզերական եկեղեցում և աշխարհի բազում ազգերին հայաշխարհի մասին գիտելիքներ մատուցել:

Պատկերացնել կարելի է, թե աստուծո հույսով առօրյա տառապանքների մեջ ապրող հույնը, հարեշը, կոպտը կամ արաբը, կարդալով ս. Գրիգոր հայի վարքը, ինչպես է ի դեմս նրա ձեռք թերել մի նոր ու գորավոր բարեխոսական հենարան և ինչպես է ըստ էության ըմբռնել սրբին, որ արարական համառոտման մեջ կամ անհայտ մի այլ տարբերակում դուրս է թողել բնագրի ավելորդ շեղումները և կիզակետ դարձել մեն մի հերոս Գրիգորին՝ հենց նրան իսկ դիտելով հայոց թագավորի խոզացման պատճառ: Սա նշանակում է, որ ոչ թե հայկական ինչ-որ բնագրից է ծագում նման տեղեկությունը, թեկուզ Ազաթանգեղոսի սկզբնական փուլում՝ առանձին պատմվող Գրիգորի վարքում, հենց այդպես էլ պետք է լիներ, այլ, որ այուժետային բնական պատումը վերազարթնում է, եթե շեշտը դրվում է նրա բնական ֆունկցիոնալ նշանակության վրա, այն է՝ ընթերցողի բարեպաշտական պահանջ-

ների իրագործումը: Ոչինչ, որ կփոխվի այուժեն, կաղավարվի բնագիրը, ոչինչ, որ միակ պատմական տեղեկությունը կմնա ս. Գրիգորի պատրիարք լինելը Հայաստանում, կարևոր նոր ճանաչվող սքանչելի սրբի համոզկերությունն է ընթերցողի համար և վերջինիս նորովի հուսավառումը: Ահա՝ ս. Գրիգորի նախնական ու վերջնական առաքելությունը քրիստոնյա աշխարհում, ահա՝ դեպի ուր է ձգում սուրբն իր վարքի այլալեզու ընթերցողների գանգվածային ընկալումների մեջ գոնե մինչև XVIII դարը:

Այսու հերթական անգամ հաստատվում է մշակութային զարգացման պատմության օրինաչափ կրկնություններից մեկը, որն ուղեկցել է ողջ Հին աշխարհն ու միջնադարը. որևէ մշակութային կենտրոնում պատվիրվող և ստեղծվող տեքստը (բառիս նշանագիտական լայն առումով) այդ իսկ կենտրոնում ընկալվում է մեկ կերպ (= լիարժեք, ամբողջովին, ենթատողային իմաստներով և այլն), նույնալեզու մշակութային ծայրամասում ընկալվում է այլ կերպ (առավել աղքատացած, տերևաթափ եղած), իսկ ահա այլալեզու մշակութային տարածքներում ընկալվում է միազիծ, միանշանակ, այուժետային մերկությամբ ու բացարձակ բարոյախոսական եզրահանգմամբ: Դրա համար էլ մշակութային կենտրոններում տվյալ տեքստի կրած փոփոխություններն ունեն գաղափարական միտումնավոր բնույթ, իսկ ծայրամասերում կրած փոփոխումները՝ կենցաղային-բարոյախոսական ու հումանիստական բնույթ, մի տեսակ ընթերցողաբավ, առօրեական պահանջներին բավարարող բնույթ:

Մենք քննարկեցինք միայն գաղափարաբանական հասուկ միտումներ ունեցող խմբագրությունները և ցույց տվինք, որ Ազարանգեղոսի միտումնավոր խմբագրությունները օտար միջավայրում թարգմանվելուց հետո աստիճանաբար զրկվում են իրենց սկզբնական միտումներից և վերածվում զուտ ընթերցողական ճանաչողական սրբախոսության, իսկ ի սկզբանե օտար լեզուներով ստեղծված խմբագրությունները լինում են կամ միտումնավոր (№ 2 տիպի), կամ էլ պարզապես տեղեկատվական ճանաչողական:

Այսպիսով, քսանից ավելի ազարանգեղյան առանձին միավորների դասակարգումն ըստ խմբագրական բնույթի՝ մեզ հանգեցրեց հետևյալ տիպերին.

1. Մայր Ազարանգեղոս և նրա թարգմանական տարբերակներ
2. Եկեղեցարքական խմբագրություններ. հուն. «Վարք» և Օքրիդայի «Վարք», ասորական և լատինական «Վարք»-եր
3. Տոնական-արարողակարգային խմբագրություններ. Մետաքրաստյան և հայսմավուրքային վարքեր
4. Ճանաչողական-տեղեկատվական խմբագրություններ:

Խմբագրական բնույթի տակ հասկանում ենք որևէ երկի տարբերակի ուրույն պատմաֆունկցիոնալ դերը, նշանակությունը, այն, ինչը հարկադրել է խմբագրին ստեղծելու տվյալ խմբագրությունը, այն նպատակը, որով կյանքի է կոչվել կոնկրետ պատմական տարածաժամանակային միջավայրում:

Հետևաբար՝ արժե ըստ այդմ բնորոշել ամեն մի խմբագրական տիպ առանձին-առանձին:

№ 1-ը մայր Ազարանգեղոսն է, որի պատմաֆունկցիոնալ արժեքը դրսուրպել է այն բանում, որ V դ. 30-ական թվականներին հայ եկեղեցին, սեփական սրբազն դարձաբանական պատմությունն ու վարդապետությունը վավերացնելու նպատակով, ստեղծել է Ազարանգեղայ Պատմությունը: Այն, ինչպես ոմանք ենթադրել են, հայ եկեղեցու ներսում V-VIII դարերի ընթացքում անցնելով որոշ խմբագրական փուլերով կամ, ինչպես մենք ենք կարծում, նույն դարերի ընթացքում ենթարկվելով որոշ պաշտոնական խմբագրական փոփոխումների, ձեռք է բերել վերջնական ավարտուն և ընդհանրական բնույթ, որովհետև նշանական խմբագրական փոփոխումներն արվել են նույն տրամաբանությամբ, ծառայել են նույն նպատակին, ինչ ունեցել է V դարի I կեսի հեղինակային հանձնախումբը (Սահակ, Մաշտոց, Կորյուն և Եզնի⁹կ): Հետևաբար՝ հետազայի հավելումները կոչված են եղել պարզապես խորացնելու և զարգացնելու սկզբնական հեղինակային նպատակադրումը, որն իրավամբ ներկայացնում է հայ եկեղեցու պաշտոնական տեսակետը բոլոր ժամանակներում, քանի նա կա: Այդ պատճառով էլ ճիշտ կլինի այն կոչել պաշտոնական խմբագրություն կամ մայր Ազարանգեղոս:

Ինչ վերաբերում է վերջինիս այլակզու թարգմանություններին, ապա դրանք պետք է կոչել հենց այդպես. ոչ թե առանձին խմբագրություն, այլ թարգմանական տարբերակներ, որովհետև դարերի ընթացքում դրանք ձեռք են բերել գրչական տարբերություններ մայր Ազարանգեղոսի հետ միասին: Այլակզու տարբերակները վկայում են, որ մայր Ազարանգեղոսը ընկած է համաշխարհային ազարանգեղյան նույթի հիմքում:

№ 2 տիպը, որ կոչվում է եկեղեցաքաղաքական խմբագրություն, պատմաֆունկցիոնալ տեսակետից բնորոշվում է իբր այլընտրանքային: Եվ իրոք, այդ տիպին պատկանող երկու խմբագրությունները, որոնք պահպանվել են միայն հունարեն թարգմանություններով և հայտնի են հուն. «Վարք» և Օքրիդայի «Վարք» անուններով, ցույց են տալիս, որ VI դ. վերջին ստեղծված հայ քաղկեդոնական եկեղեցին իր կարձատև կյանքի ընթացքում հասցը է ունենալ սեփական Ազարանգեղայ Պատմությունը՝ իբր այլընտրանք եղածի, իսկ VII դ. 30-ա-

կան թվականներին հայ Եկեղեցին, ժամանակավորապես ընդունելով միակամական բնույթ, ստիպված էր ըստ այդմ մայր Ազարանգեղոսի փոխարեն ներկայացնել նոր խմբագրություն:

Իսկ նոյն տիպին պատկանող երկու այլ խմբագրություններ, ստեղծվելով միանգամից օտար լեզուներով՝ առողերեն և լատիներեն, պատմաֆունկցիոնալ առումով նշանակալի են այնու, որ առաջինը կարևոր է հայ-ասորական միջեկեղեցական քաղաքական հարաբերությունների նոր փուլը (VIII դ. I քառ.), իսկ երկրորդը փորձել է ստեղծել Ազարանգեղոսի նոր խմբագրություն հայ կաթողիկե Եկեղեցու տեսակետից (XVIII դ.), իհարկե, հենվելով նախորդ դարերում ձևավորված պատկերացումների ու Կղեմես Գալանոսի պատմական շարադրանքի դրույթների վրա:

Ինչպես տեսնում ենք, Եկեղեցաքաղաքական տիպի խմբագրություններն օգնում են բացահայտելու հայոց պատմական անցյալի նոր դրվագներ, հարստացնում են պատմությունը միջազգային Եկեղեցական հարաբերությունների նոր էջերով: Ուստի № 2 տիպի խմբագրությունները պետք է գնահատել իբրև պատմականորեն ամենատեղեկատվական բնագրերը:

№ 3 տիպի խմբագրությունները, որ կոչում ենք տոնական-արարողական, ունեն ընդգծված պատմաֆունկցիոնալ ուղղություն, այն է՝ ամբողջ բնագիրը հարմարեցնել սրբի հիշատակի օրվա բարձրաձայն ընթերցման: Ուստի այս խմբագրությունների՝ մետափրաստյան թե հայսմավուրքային, տարածման գլխավոր պատճառը Եկեղեցիների տոնական տարվա պահանջների բավարարումն է:

№ 4 տիպը ակնհայտորեն կրում է ընթերցարանային բնույթ, դրա համար էլ այն կոչել ենք Ճանաչողական-տեղեկատվական: Այն պատմաֆունկցիոնալ ամենացածր արժեքով է օժտված նախորդ տիպերի հետ համեմատած: Այս տիպի խմբագրություններին, ինչպես երևում է պահպանված բնագրերից, հատուկ է Ազարանգեղոսի պատմություն ստեղծած մշակութային կենտրոնից՝ հայ Եկեղեցու կաթողիկոսարանից, հեռու լինելը թե՝ տարածքով, թե՝ լեզվով: Այն կախված չէ, սակայն, ժամանակա-տարածքային որոշակի միջավայրից, ըստ Էռլիքյան այն դուրս է պատմական հանգամանքներից և բոլոր ժամանակների համար է, քանի դեռ աշխարհում կլինի քրիստոնեությունը:

Մատենադարան
e-mail: artsruni.sahakyan@gmail.com

Ա. Ս. Սահակյան

Ազաթանգեղոսի խմբագրությունների տիպաբանություն

Ազաթանգեղոսի խմբագրությունների տիպաբանությունը տրվում է ըստ այն հատկանիշի, թե նրանց պատմաֆունկցիոնալ նշանակության որ կողմն է գերակշռում տվյալ քննագրում։ Ազաթանգեղյան բոլոր խմբագրությունները բաժանվում են չորս տիպի։ Այդ քառասության տիպաբանական սանդղակում յուրաքանչյուր նախորդ տիպ, իր գերակշիռ հատկանիշից բացի, պարունակում է նաև հաջորդող տիպերի բոլոր հատկանիշները։ Եվ ընդհակառակը, յուրաքանչյուր տիպ գուրկ է սանդղակում իրեն նախորդող տիպերի հատկանիշներից։

Ա. Ս. Սաակյան

Типология редакций Агафангела

В основу классификации разноязычных редакций Агафангела положено их историко-функциональное значение, доминирование того или иного признака. Все разноязычные редакции подразделены на четыре типа. В этой четырехступенчатой градации каждый тип помимо своего доминантного качества содержит в себе еще иrudименты особенностей следующих типов, и, наоборот, каждый следующий тип лишен характерных признаков прежних типов.

Ա. Ս. Sahakyan

Typology of Editions of Agathangelos

The typology of editions of Agathangelos is given based on the dominant feature of the historical-functional meaning of the source. The editions of Agathangelos could be classified into four types. In the four-level typological scale of editions of Agathangelos in different languages each previous type, besides its own dominant feature, also contains the features of next types. And the opposite, each type is devoid of the features of its previous types.

Գրականություն

1. *Տէր-Ղնոնդյան Ա.*, Հոդվածների ժողովածու, Երևան, 2003, 698 էջ։
2. *Անասյան*, Հայկական մատենագիտություն, հատ. Ա., Երևան, 1959, 1230 էջ։
3. Պատմութիւն կենաց... ս. Գրիգորի... ի յԱնտոնէ Մարիա Բոնուկիհէ, Վենետիկ, 1737, 222 էջ։
4. La version grecque ancienne du livre Armenien d'Agathange. Ed. crit. par Guy Lafontaine, Louvain-la-Neuve, 1973, 362 p.

5. *Տէր-Ղևոնյան Ա.*, Ազաթանգեղոսի արաբական նոր խմբագրությունը,
Երևան, 1968, 120 էջ:
6. *Lafontaine G.* – Le Museon, 1973, № 86, 1-2, p. 125-145.
7. *Garitte G.* – Le Museon, 1941, № 54, 1-4, 1941, p. 221.
8. *Garitte G.* – Le Museon, 1952, № 65, 1-2, p.51-71 (վարքի հայերեն
թարգմանությունը՝ [1], էջ 55-59).